

# Regulation of Gene Expression

---

❖ Hans Geiselmann

[hans.geiselmann@univ-grenoble-alpes.fr](mailto:hans.geiselmann@univ-grenoble-alpes.fr)

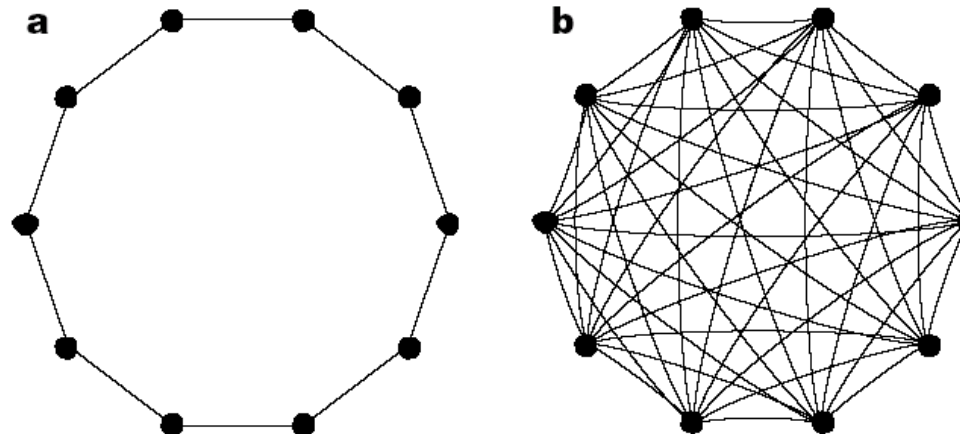
# Régulation globale de l'expression génique

---

- ❖ Les connexions régulatrices dans un réseau de régulation, Topologie, aspect globaux
- ❖ Modules et motifs
  - Fonctionnalité des motifs
  - Analyse de la dynamique d'un motif
- ❖ Réseaux de régulation
  - Décision développementale (phage  $\lambda$ )
  - Réseaux artificiels
- ❖ Robustesse

# Topologie d'un réseau

- ❖ La connectivité même d'un réseau affecte profondément son fonctionnement

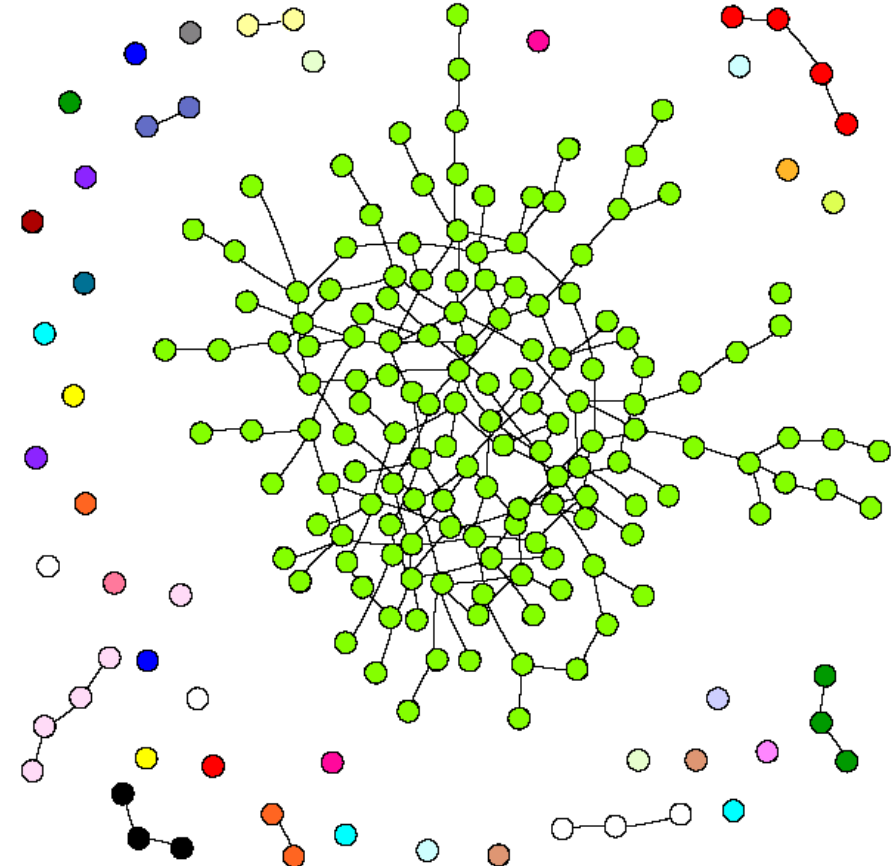


Connexions régulières

Réseau complètement  
connecté

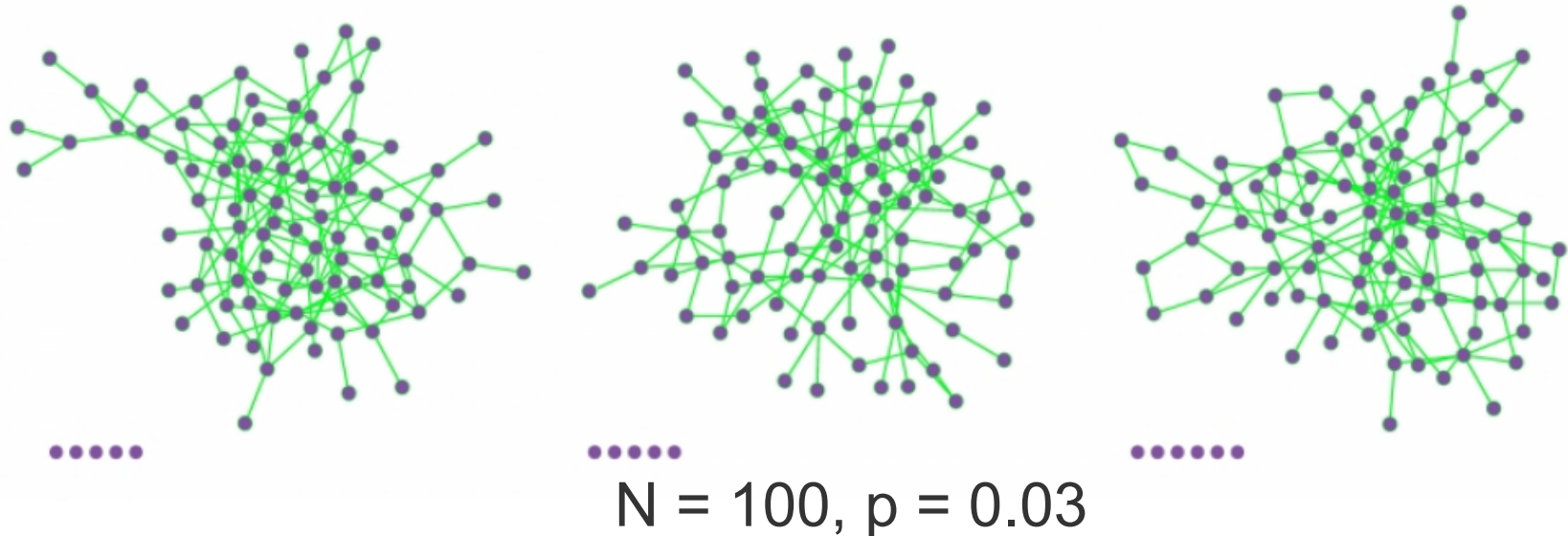
# Topologie d'un réseau

- ❖ Un réseau connecté au hasard produit une composante géante fortement connectée



# Random networks

- ❖ Start with N nodes
- ❖ Select a node pair and connect with probability p
- ❖ Do this for all  $N \cdot (N-1) / 2$  node pairs



# Random networks

---

- ❖ Average number of links:

$$\langle L \rangle = \frac{p \cdot N \cdot (N-1)}{2}$$

- ❖ Average degree:  $\langle k \rangle = \frac{2 \cdot \langle L \rangle}{N} = p \cdot (N-1)$

- ❖ The degree distribution is binomial

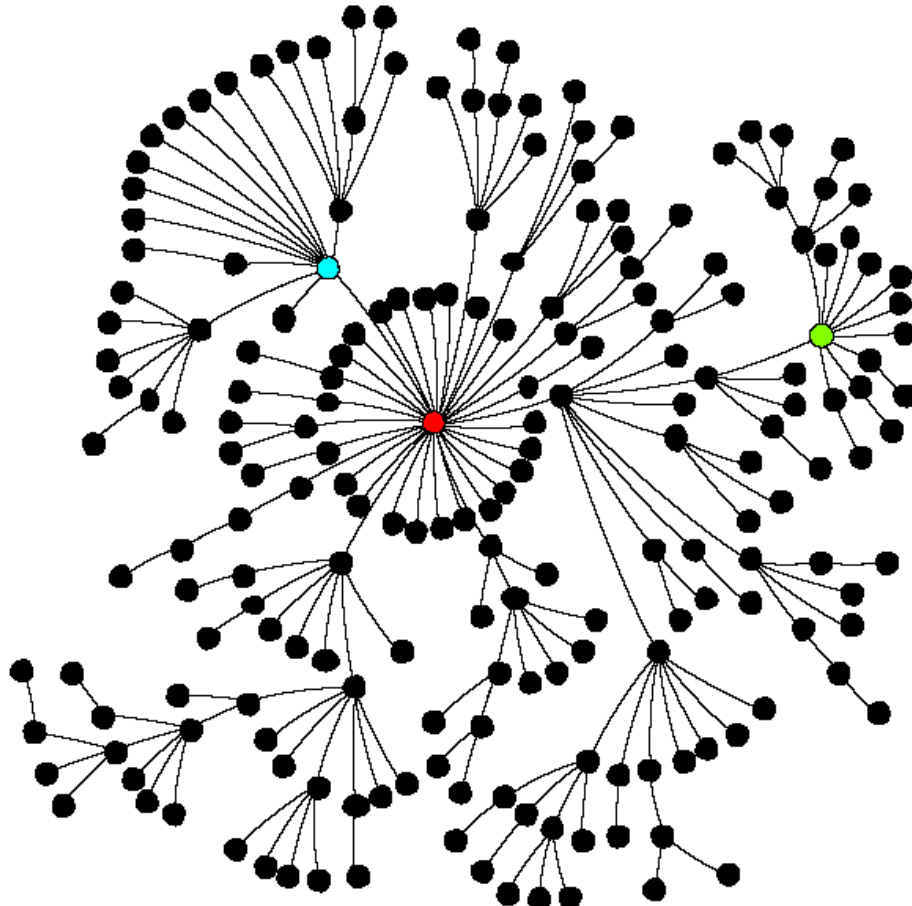
- ❖ For  $N \gg k$ , the distribution is Poisson

$$p_k = e^{-\langle k \rangle} \cdot \frac{\langle k \rangle^k}{k!}$$

# Topologie d'un réseau

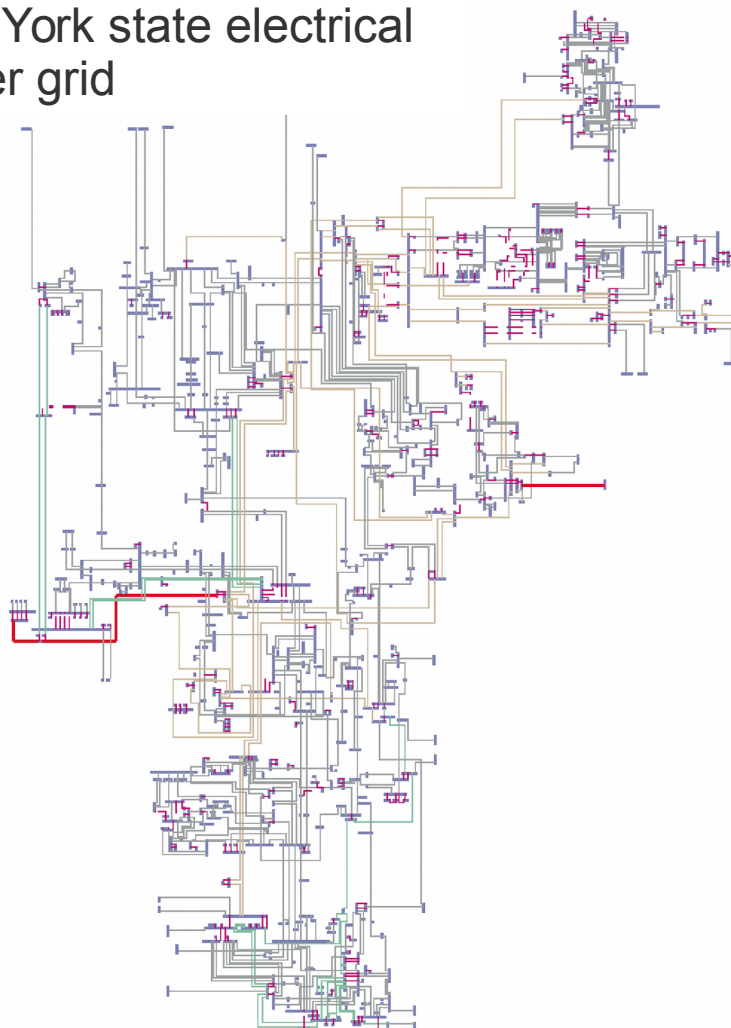
❖ **Scale-free graph**, grown by attaching new nodes at random to previously existing nodes.

The probability of attachment is proportional to the degree of the target node; thus richly connected nodes tend to get richer, leading to the formation of hubs and a skewed degree distribution with a heavy tail.

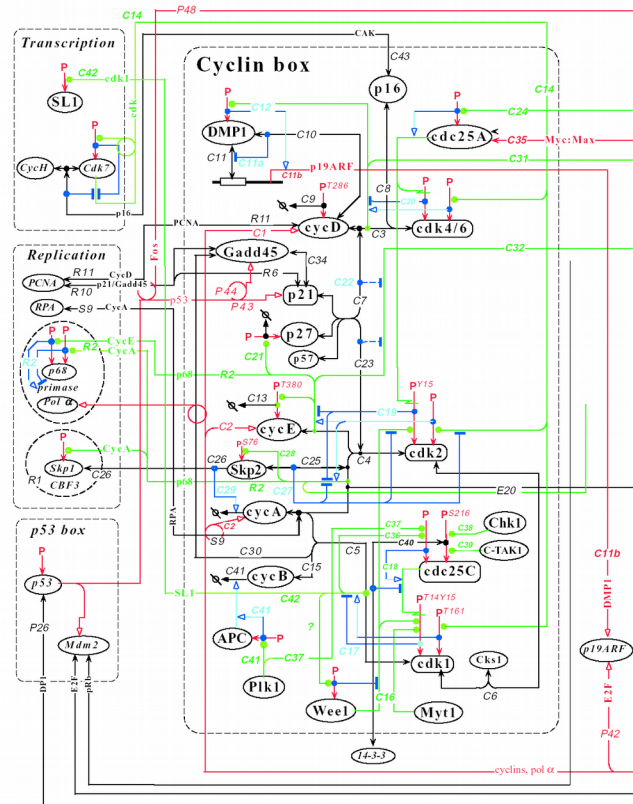


# Engineering and biology

## New York state electrical power grid

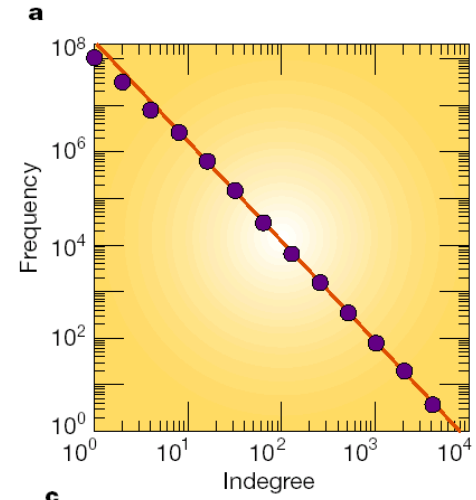


## Part of the cell cycle network

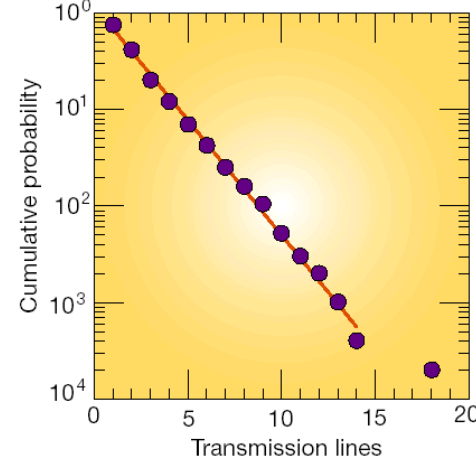


# Degree distributions of real networks

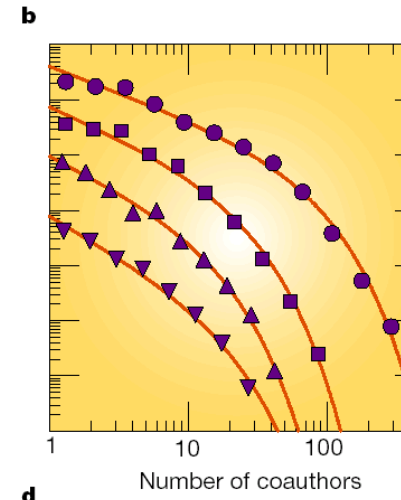
Internet  
Metabolism



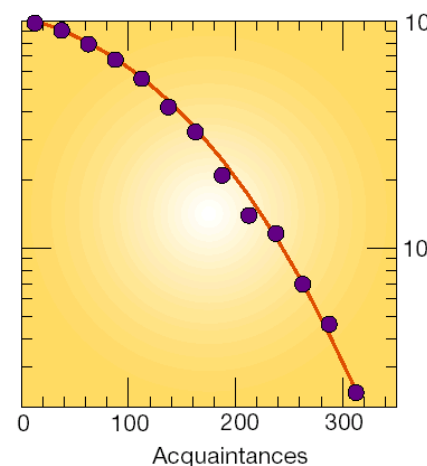
Powergrid of  
the Western US  
and Canada



Co-authorship



Acquaintances



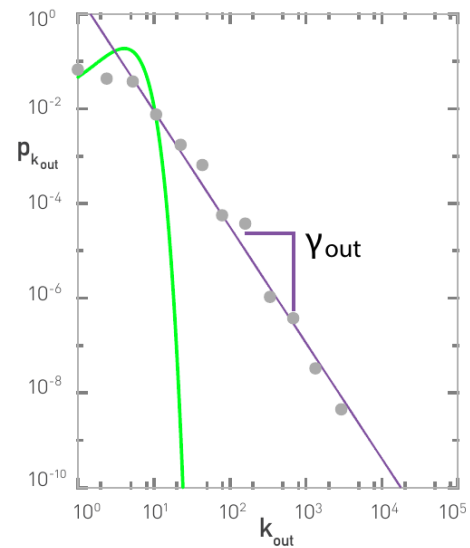
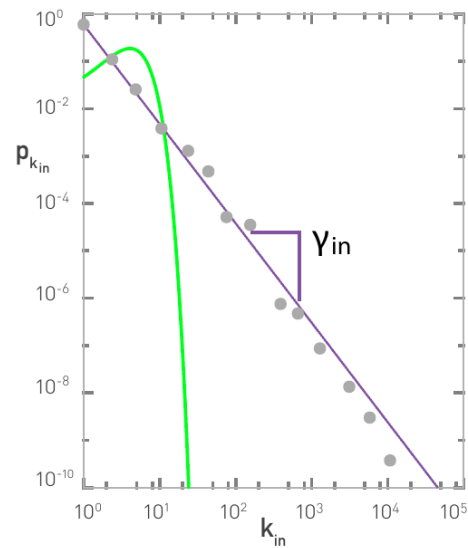
# Scale-free networks

❖ Power law distribution:  $p \propto k^{-\gamma}$

$$\log(p_k) \propto -\gamma \log(k)$$

❖ The internet  
is scale-free

Poisson in green



# Why scale-free?

---

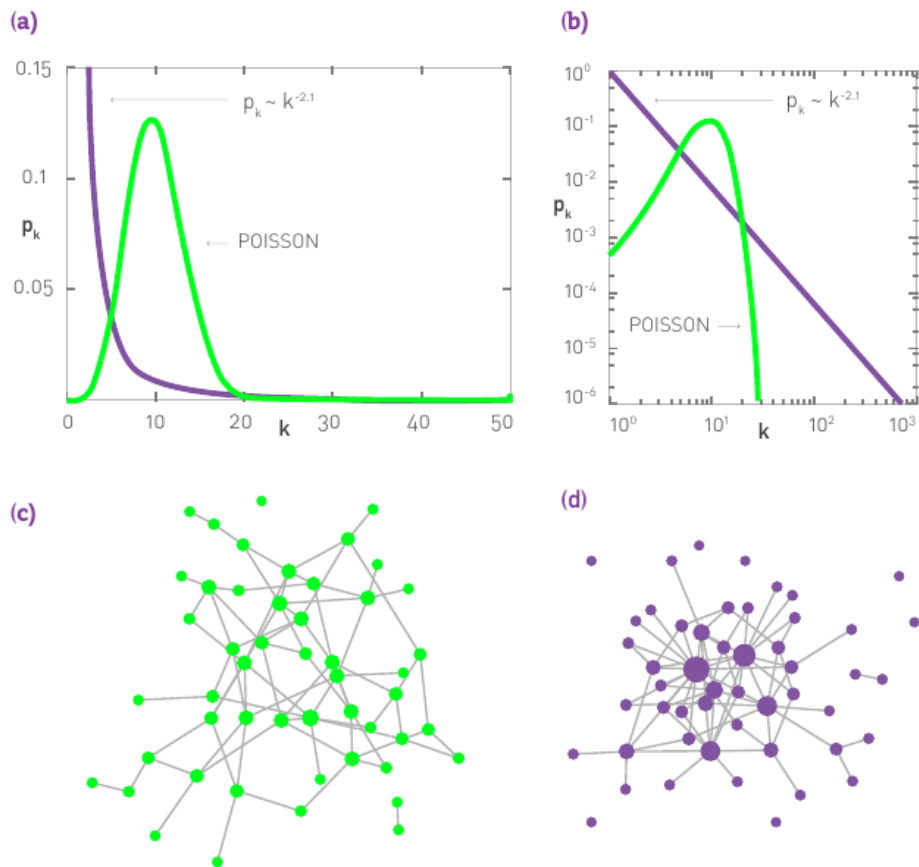
- ❖ The Poisson distribution, for example, has defined moments
- ❖ The moments of scale-free networks

$$\langle k^n \rangle = \int_{k_{min}}^{k_{max}} k^n \cdot p(k) dk = C \cdot \frac{k_{max}^{n-\gamma+1} - k_{min}^{n-\gamma+1}}{n-\gamma-1}$$

For  $k_{max} \rightarrow \infty$ ,  $\langle k^n \rangle$  diverges for  $n-\gamma+1 \geq 0$

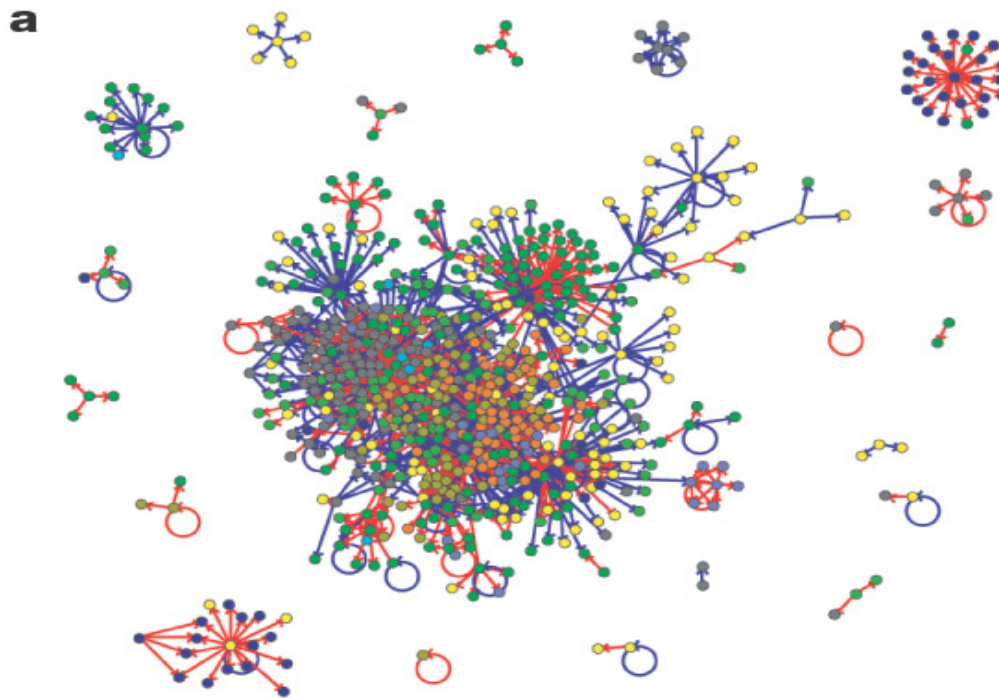
# Scale-free networks

- ❖ Scale-free versus random network
  - Major difference for “hubs”
- ❖ Internet: probability of a node with 100 connections
  - Poisson:  $10^{-94}$
  - Scale-free:  $4 \cdot 10^{-4}$



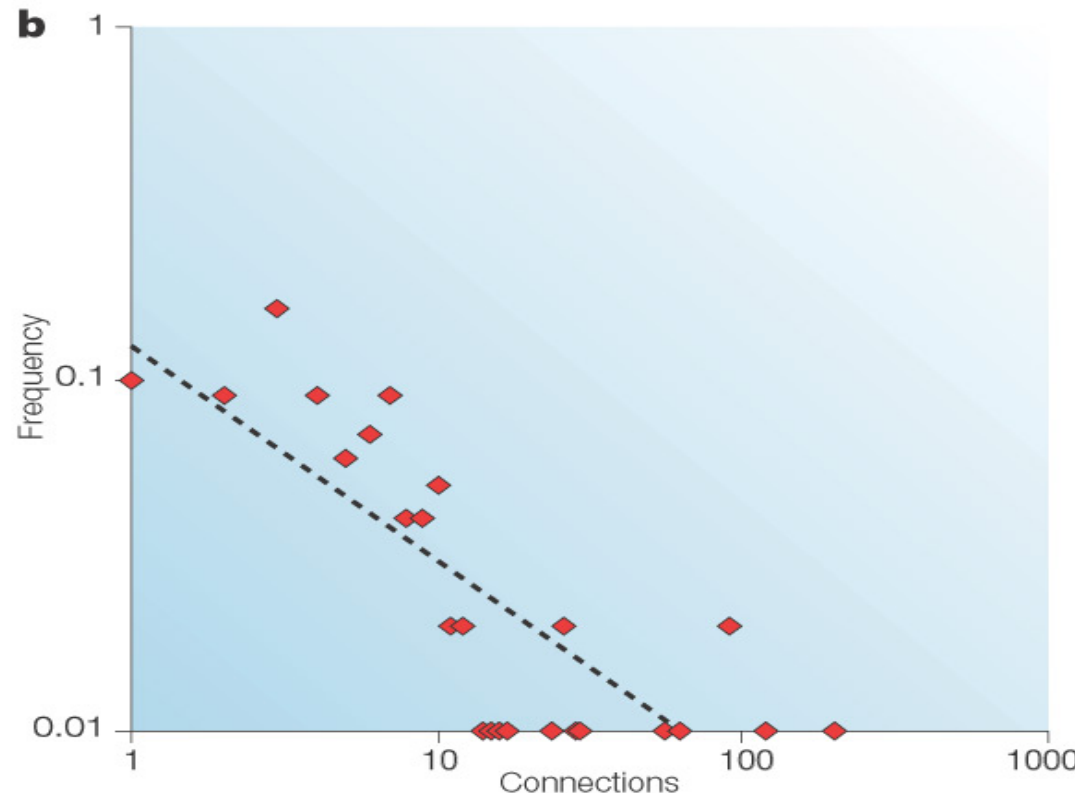
# Caractéristiques de réseaux de régulation transcriptionnelle

## ❖ Le réseau d'*Escherichia coli*



# Caractéristiques de réseaux de régulation transcriptionnelle

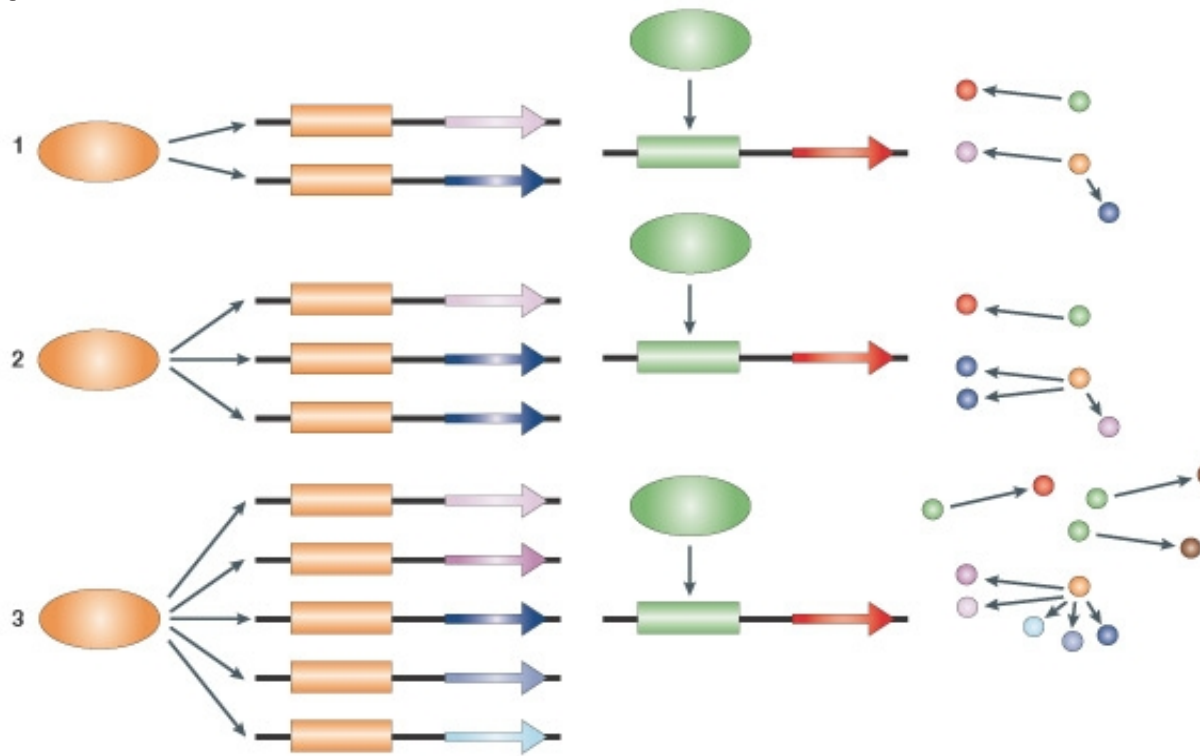
- ❖ Le réseau d'*Escherichia coli* est “scale-free”



# Le principe de Mathieu appliqué aux réseaux de transcription

## ❖ On ne prête qu'aux riches

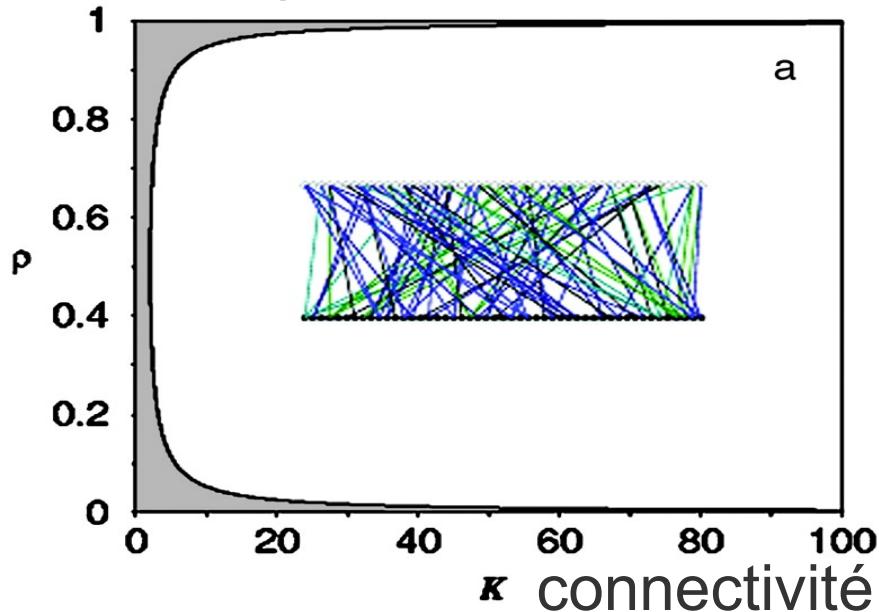
The ‘Matthew principle’: Matthew 13:12, “...for whosoever hath, to him shall be given, and he shall have more abundance:but whosoever hath not, from him shall be taken away even that he hath...”



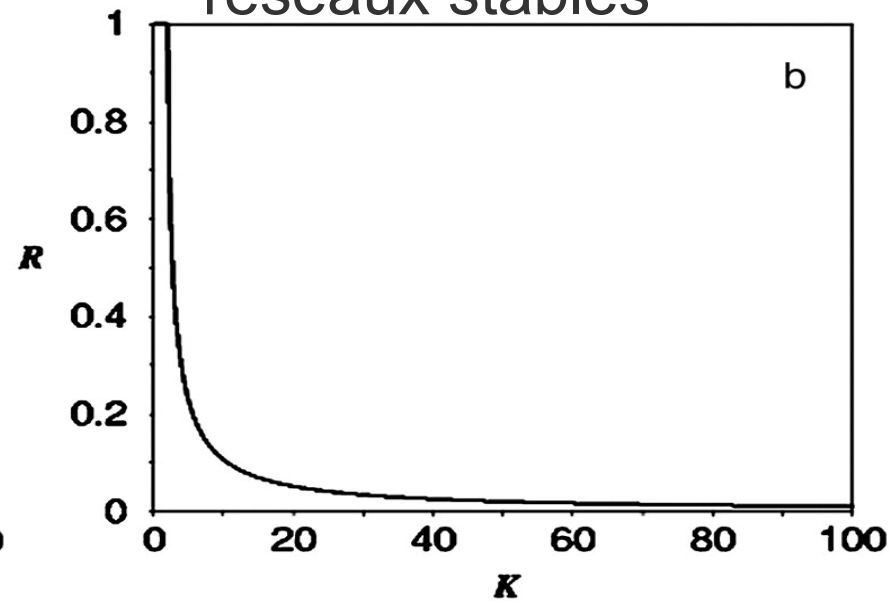
# Robustesse d'un réseau aléatoire

- ❖ Un réseau aléatoire est chaotique
- ❖ Seulement un jeu très particulier de paramètres conduit à un comportement stable

Probabilité de changement d'état

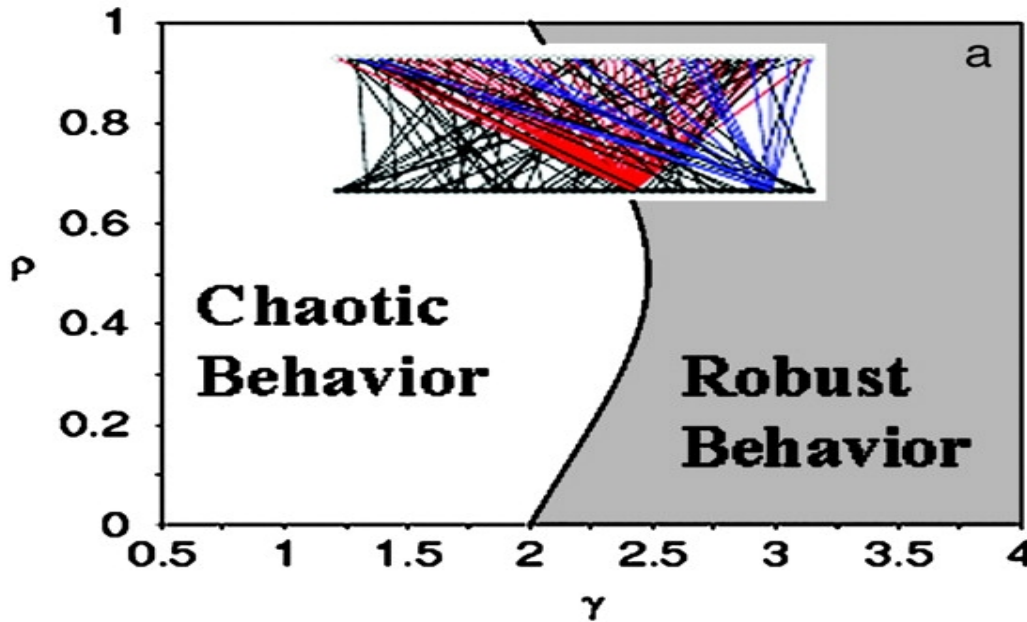


Fraction de réseaux stables



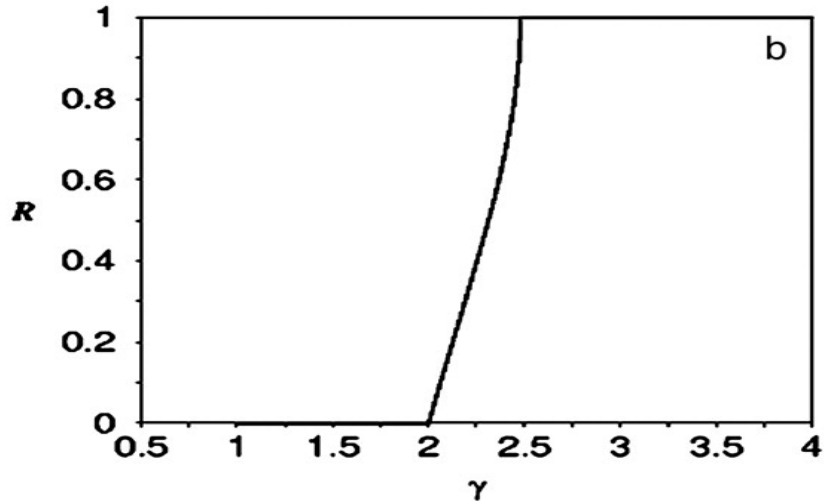
# Robustess d'un réseau aléatoire

- ❖ Un réseau aléatoire “scale-free” est robust

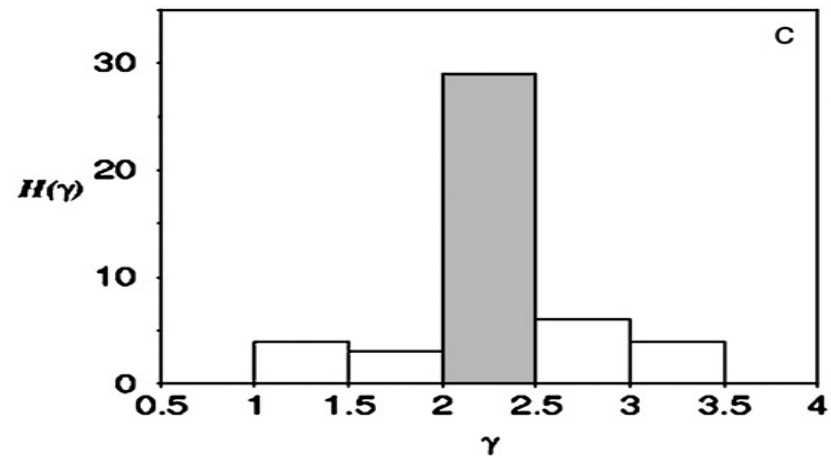


# Robustess d'un réseau aléatoire scale-free

- ❖ Un réseau aléatoire “scale-free” est robust



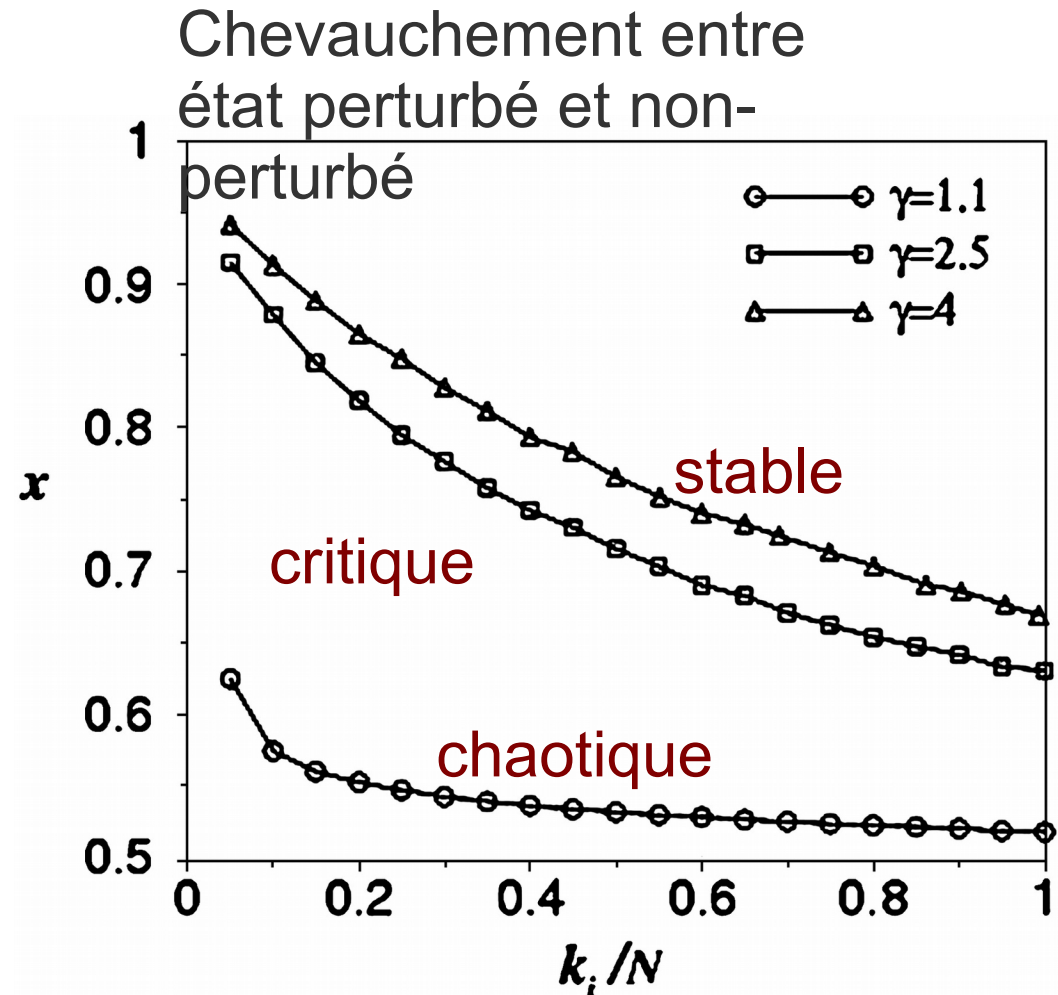
Transition entre chatotique  
et stable



La plupart des réseaux  
naturel sont scale-free avec  
un exposant entre 2 et 2.5

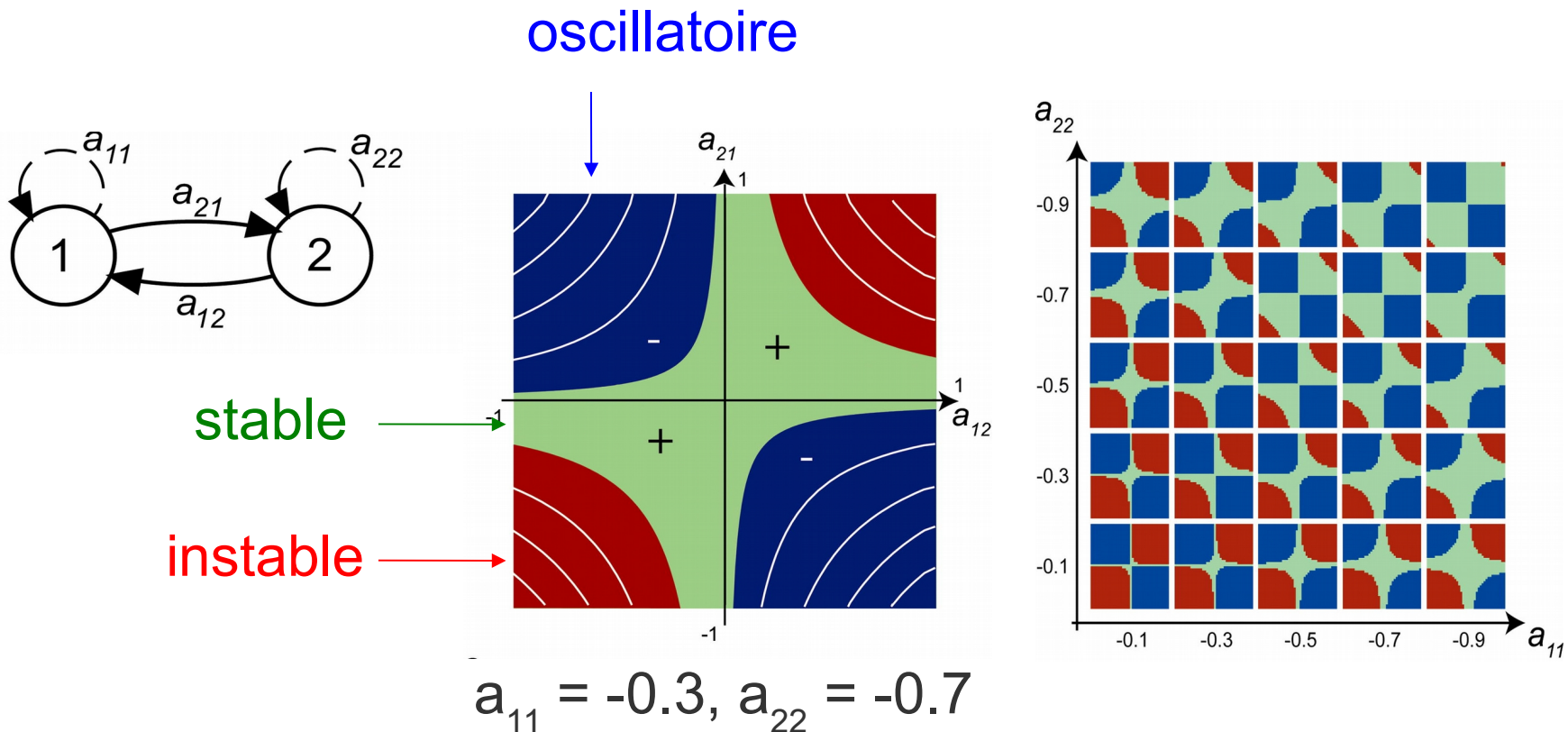
# Stabilité dynamique d'un réseau aléatoire

- ❖ Un réseau aléatoire “scale-free” est stable
- ❖ Plus la connectivité est grande, plus le réseau est instable



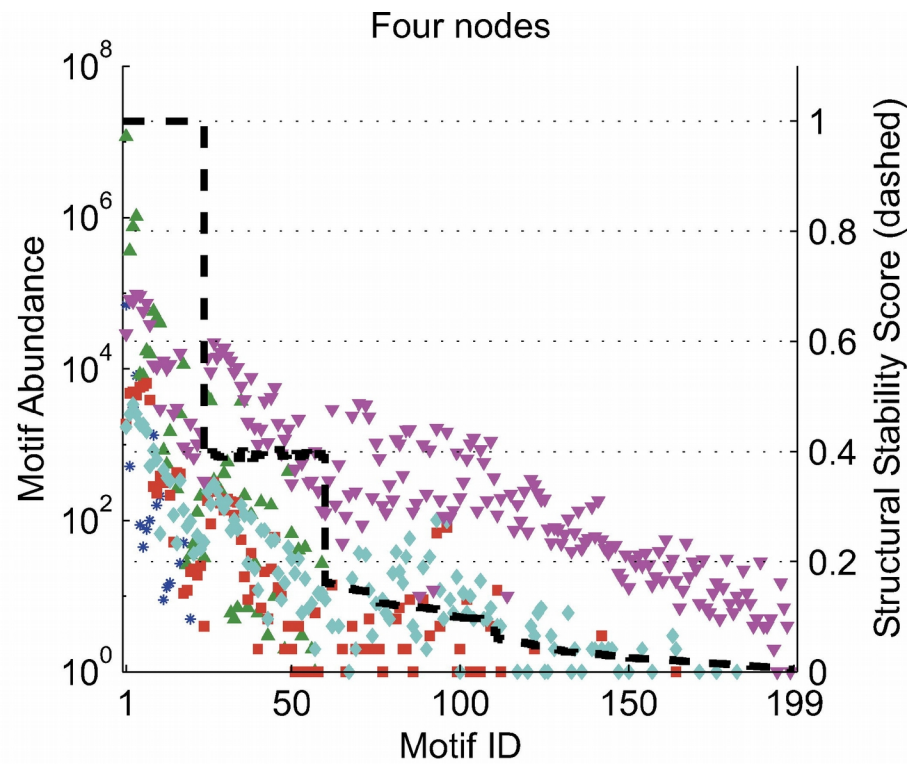
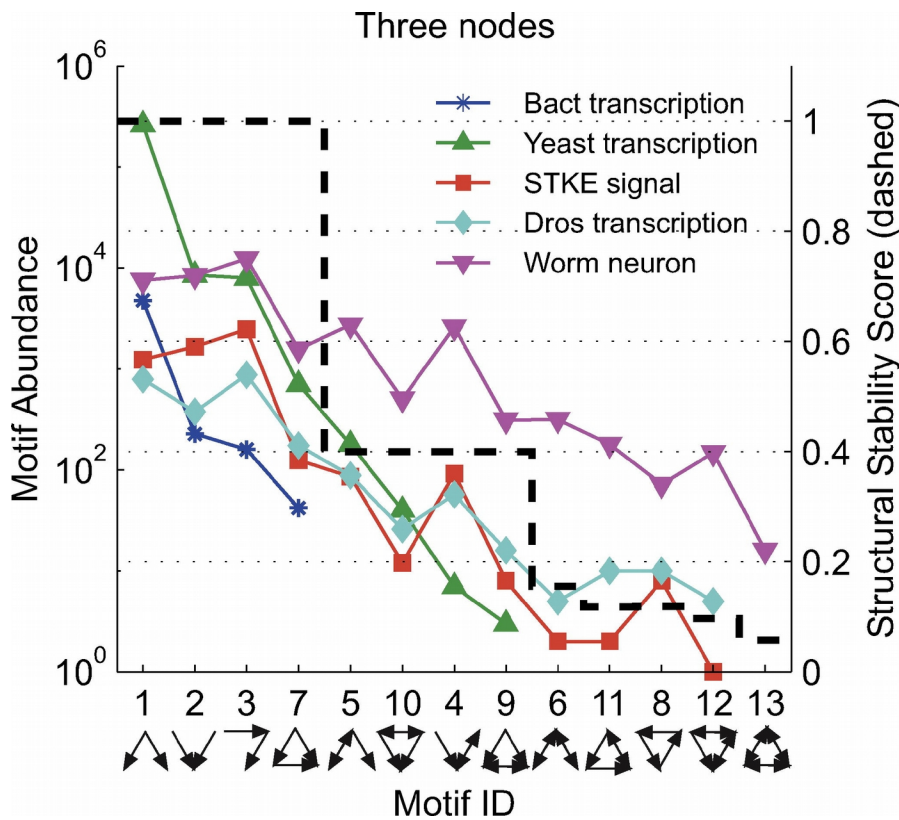
# Dynamique d'un module

- ❖ Même un module simple peut avoir une dynamique complexe



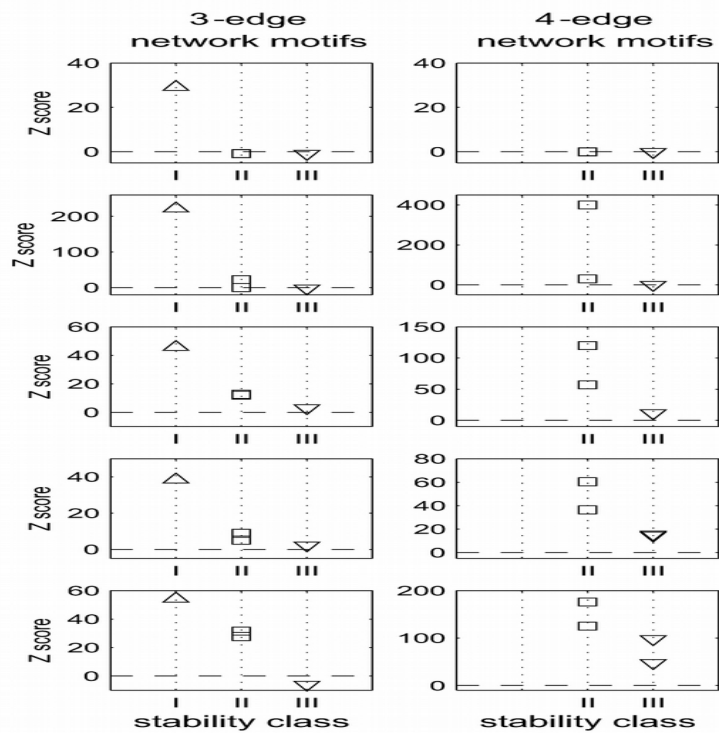
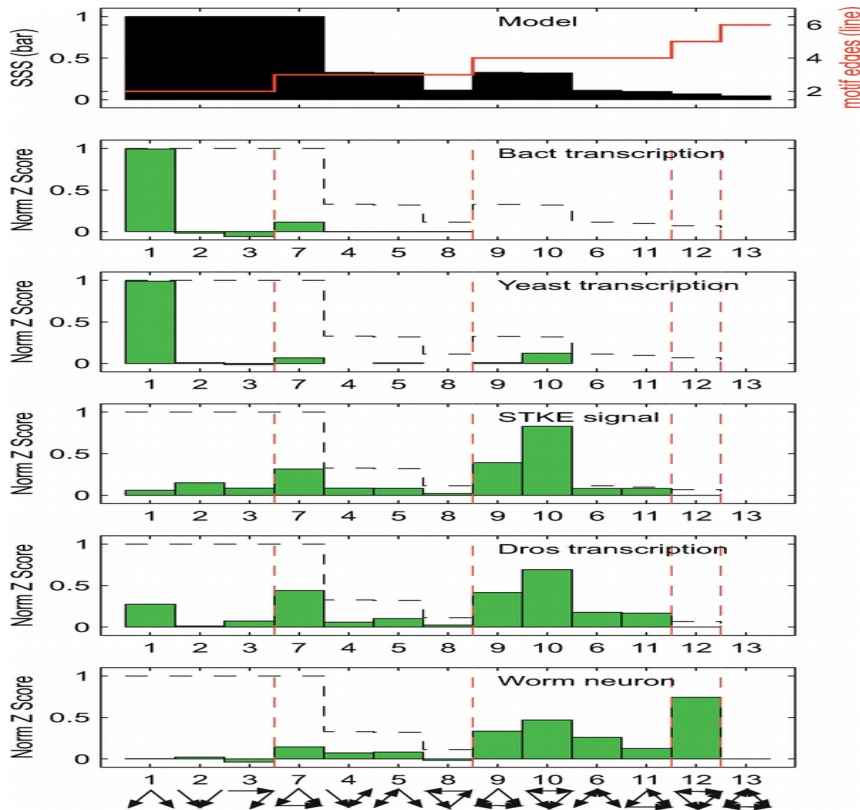
# L'abondance d'un motif est corrélé avec son SSS

- ❖ SSS: structural stability score (probabilité de retourner vers l'état stable après une perturbation)

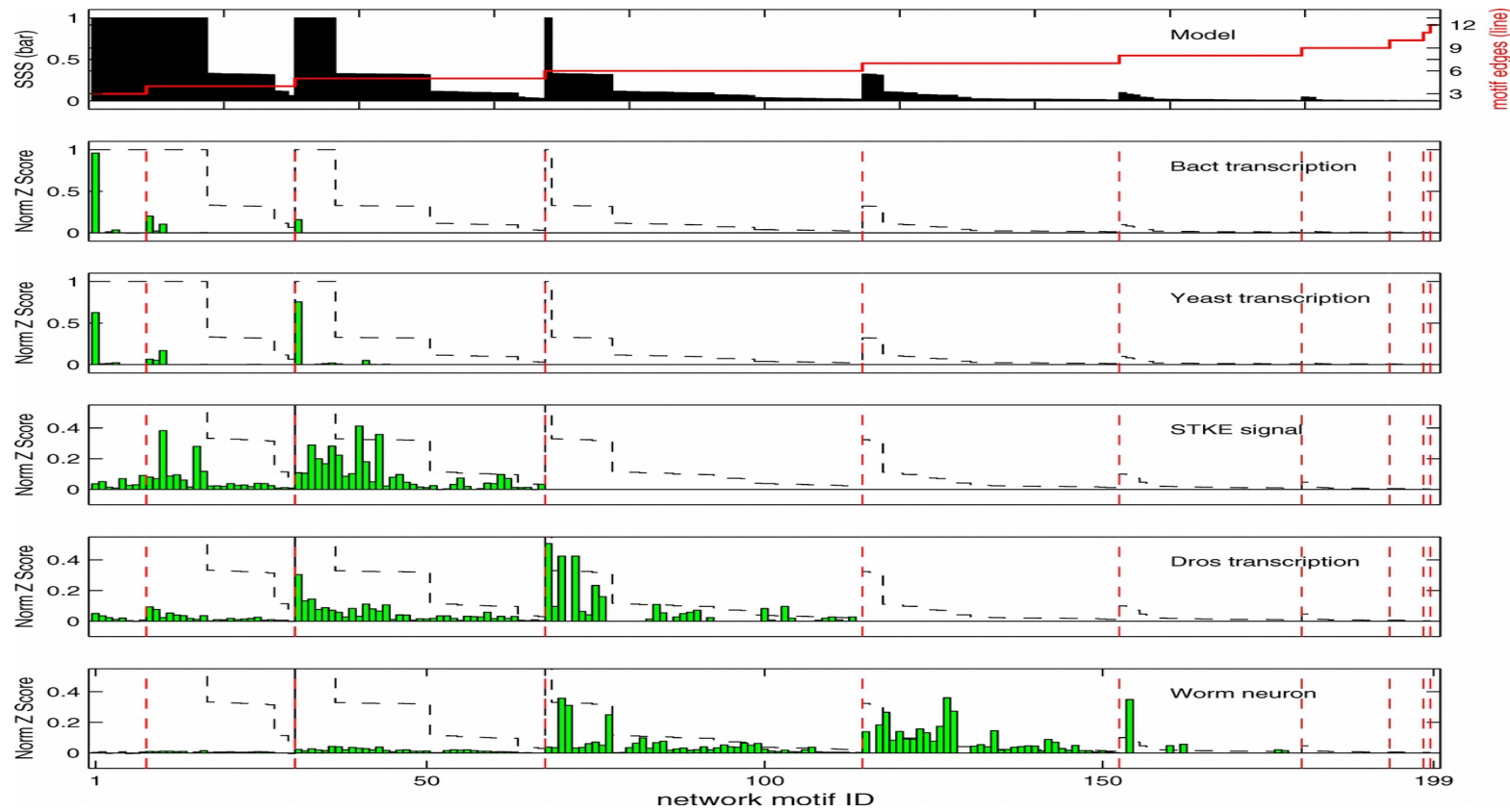


# Le motif le plus stable est préféré

- ❖ Pour un nombre de noeuds et de connexions donné, le motif le plus stable est sur-représenté



# Le motif le plus stable est préféré (4 noeuds)



# Le motif le plus stable est préféré

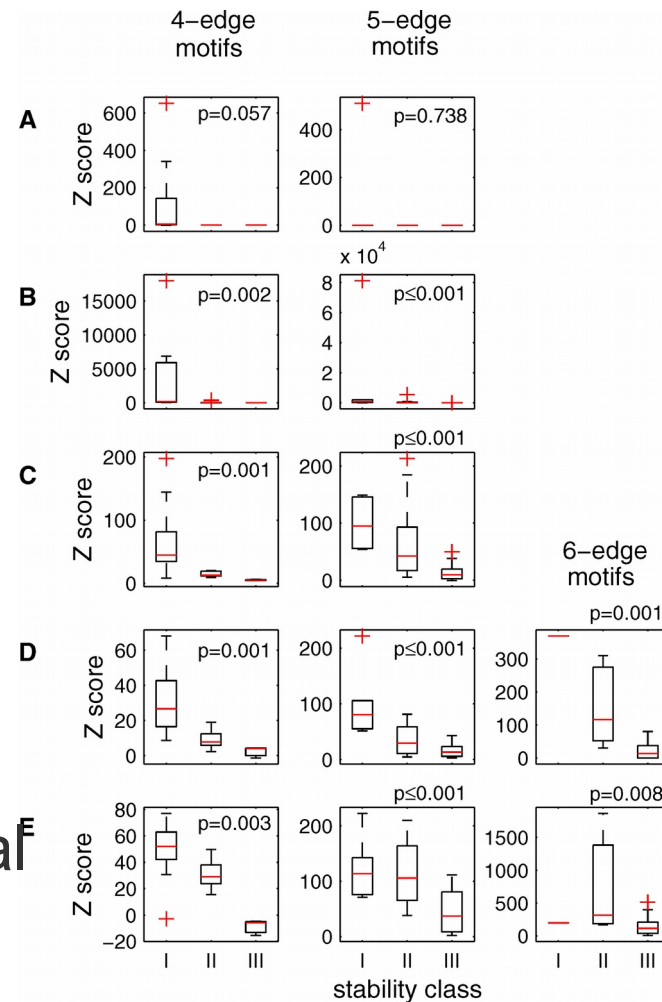
bactéries

levure

Transduction du signal

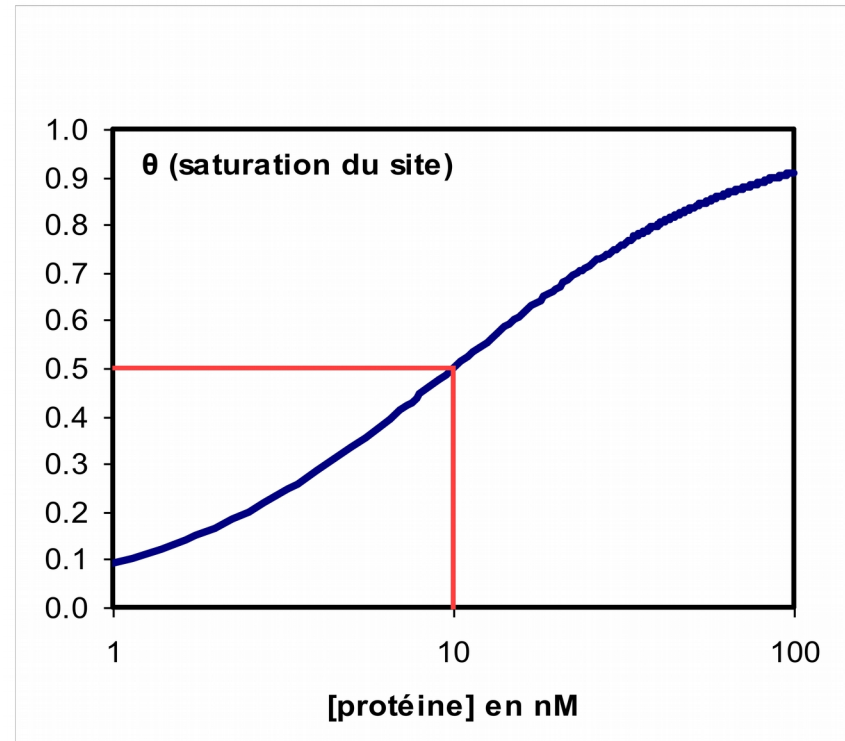
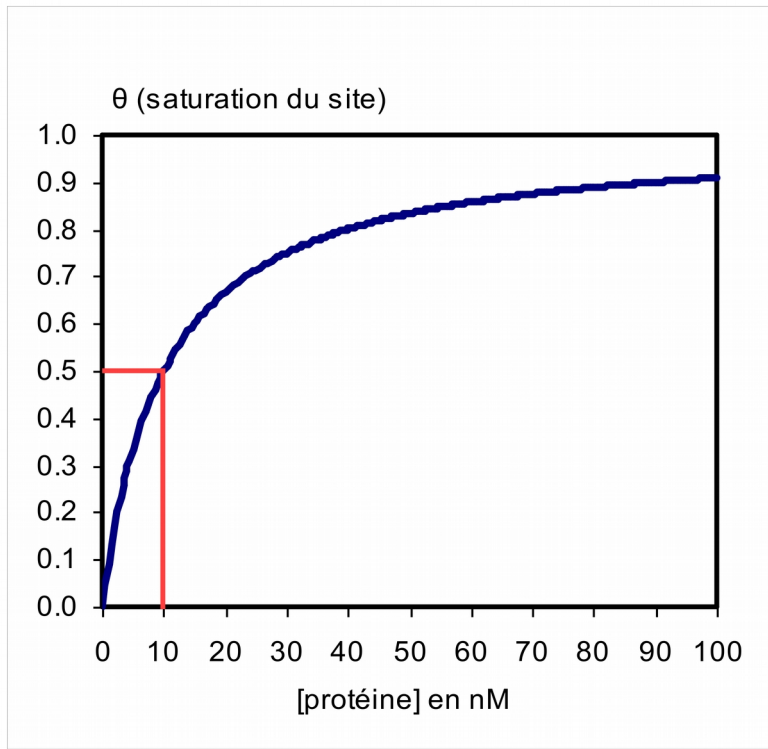
Développement de  
*D. melanogaster*

Développement neuronal  
de *C. elegans*



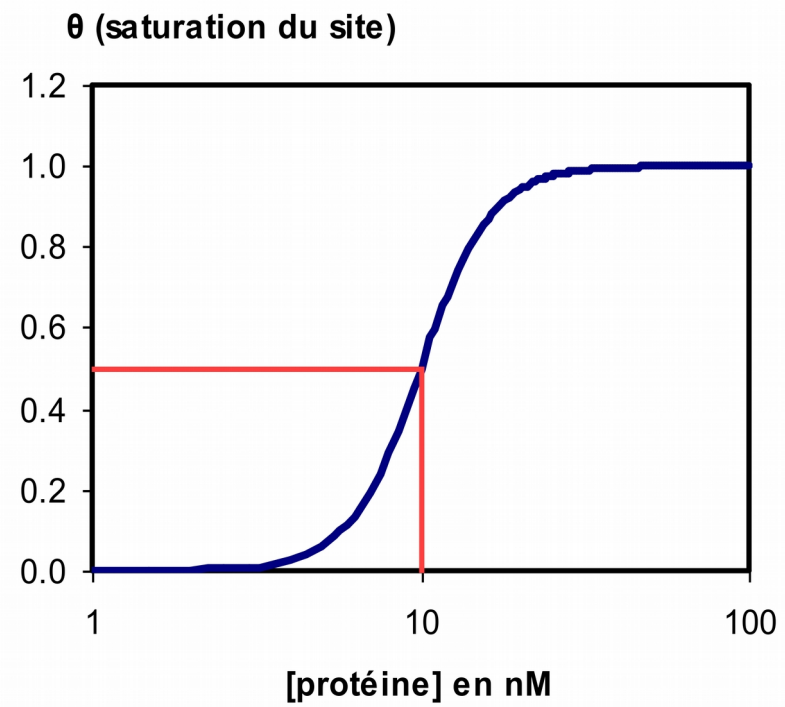
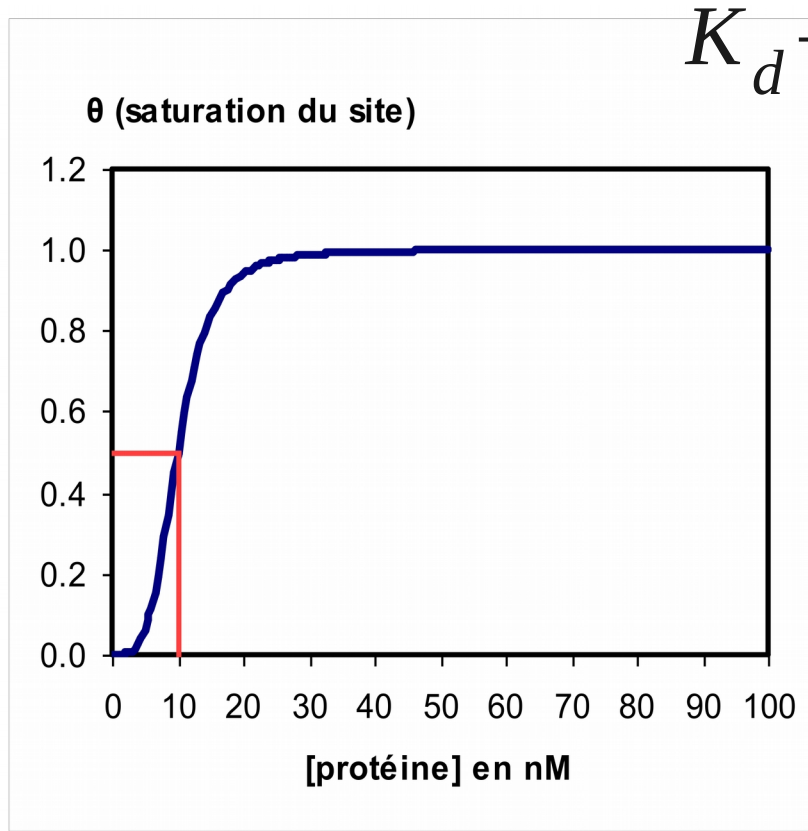
# La liaison simple à l'ADN

$$\theta = \frac{[P]}{K_d + [P]}$$



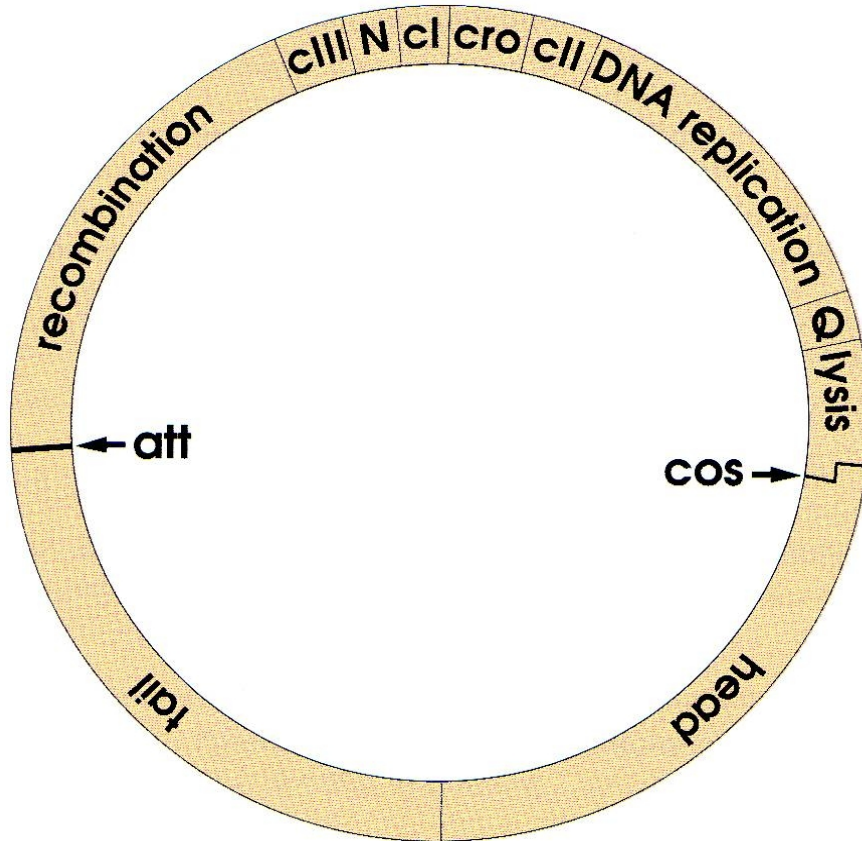
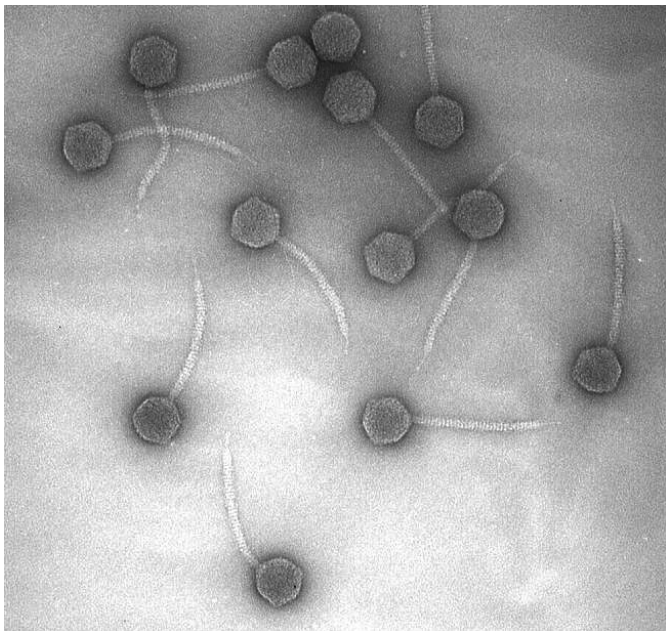
# La liaison coopérative à l'ADN

$$\theta = \frac{[P]^n}{K_d + [P]^n}$$



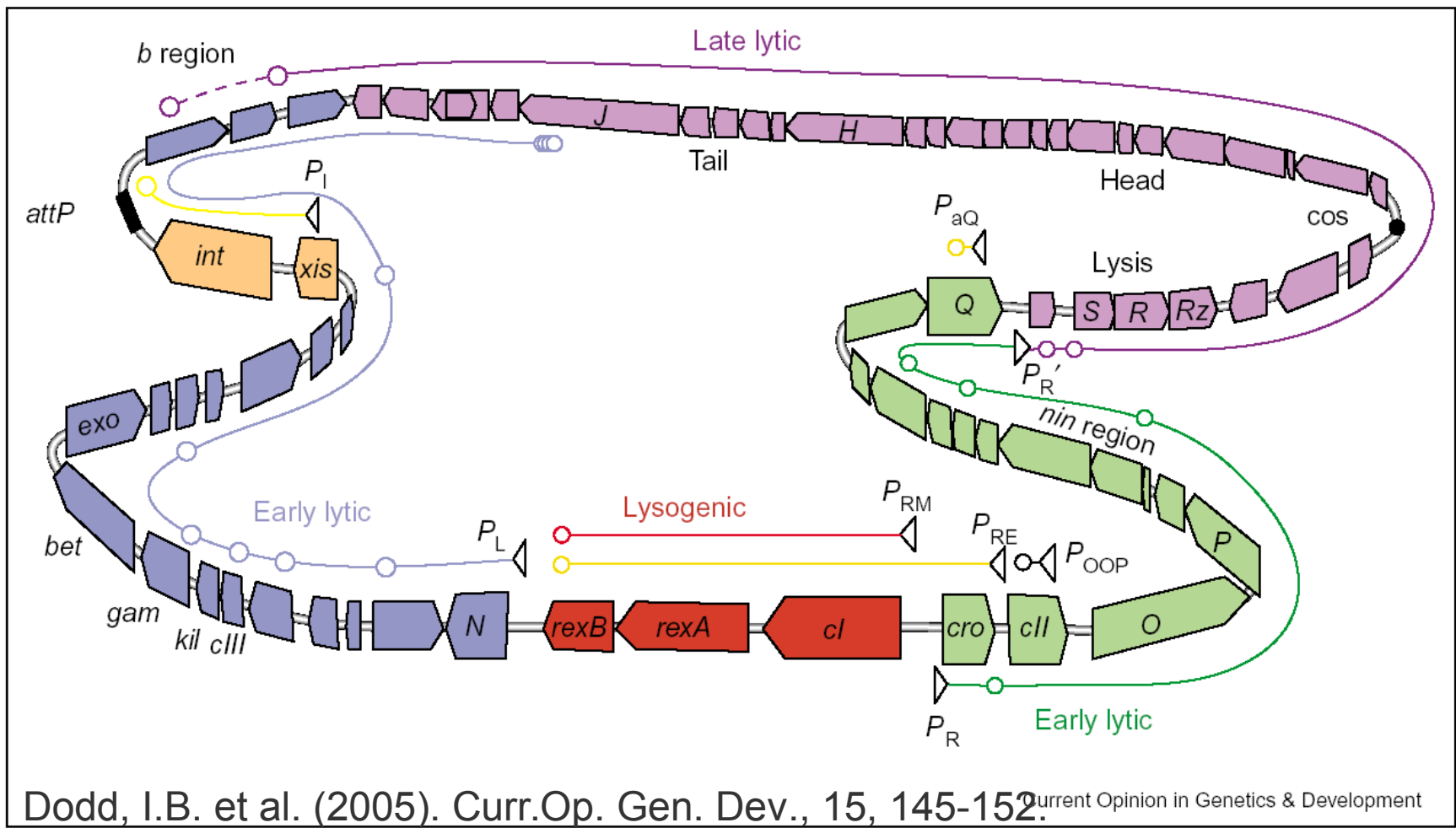
# Le bactériophage $\lambda$

- Génome circulaire
- Lyse ou lysogénie

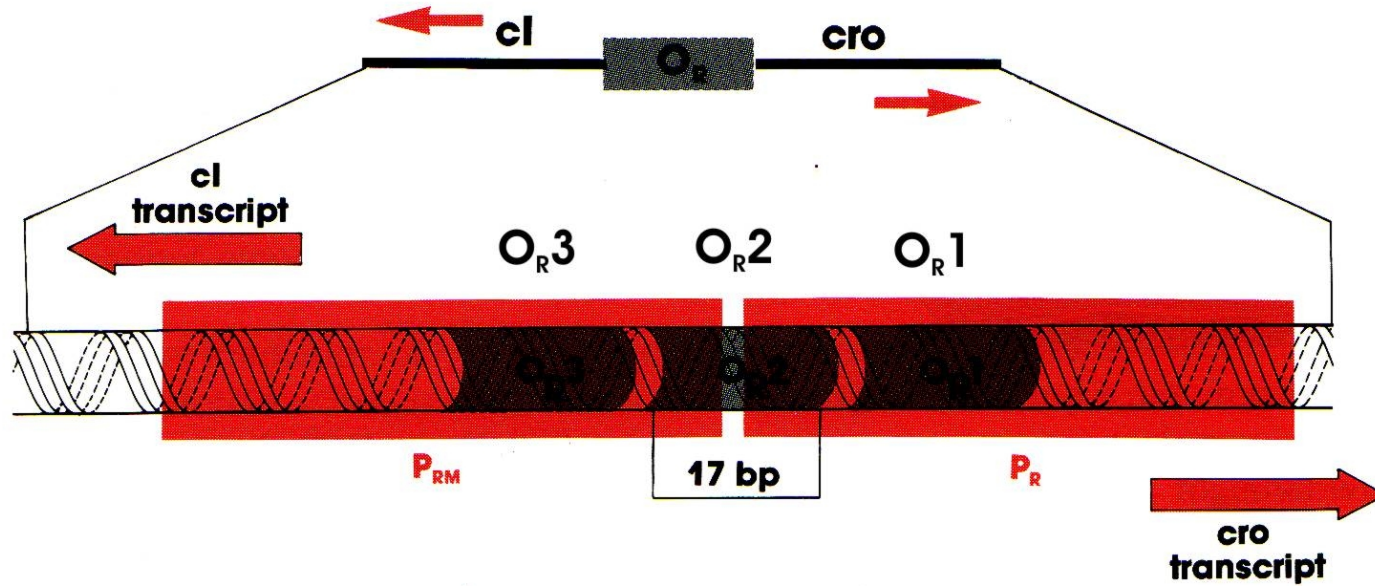


Ptashne, M. (1992). A genetic switch. Cell Press and Blackwell Scientific.

# Le génome de $\lambda$



# La région de contrôle



Ptashne, M. (1992). A genetic switch. Cell Press and Blackwell Scientific.

# Liaison de Cro sur les opérateurs

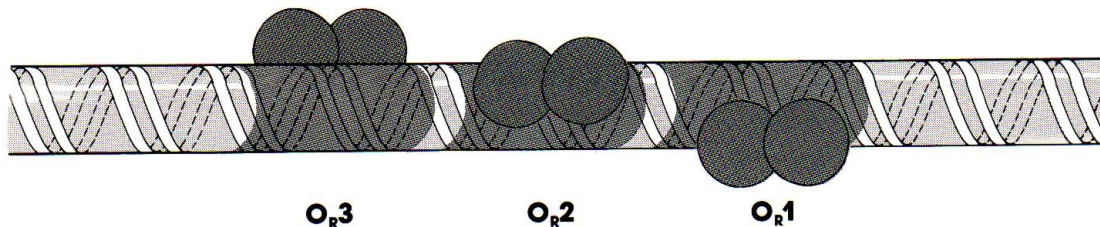
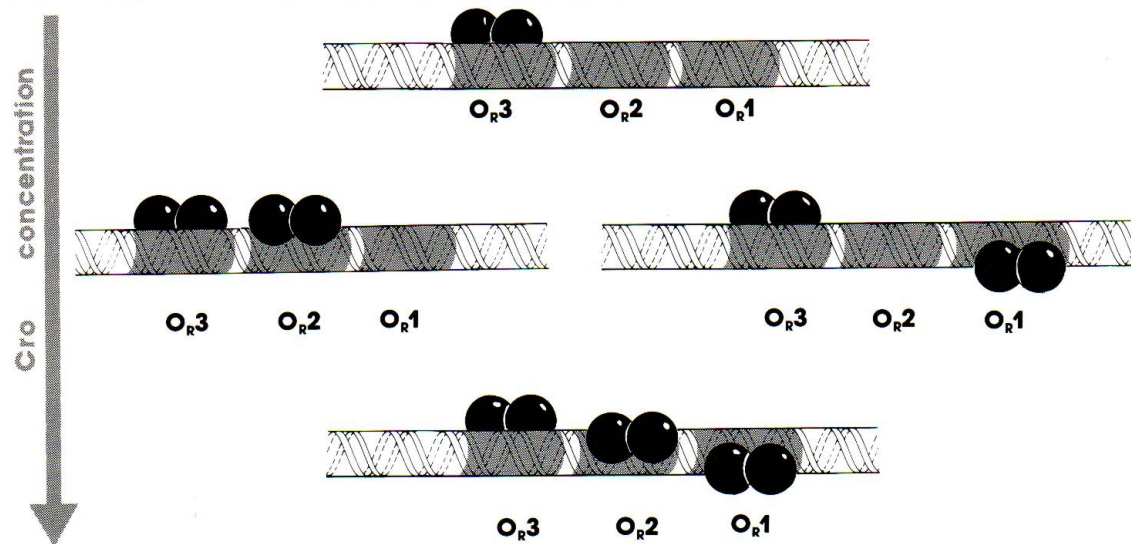
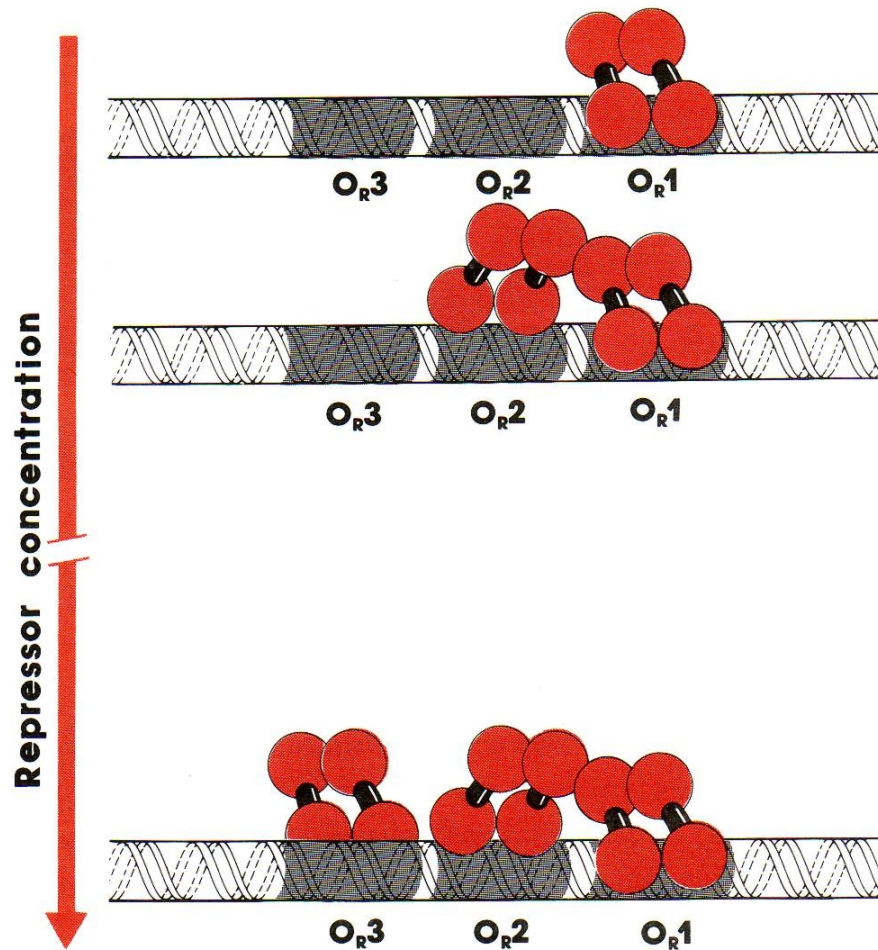


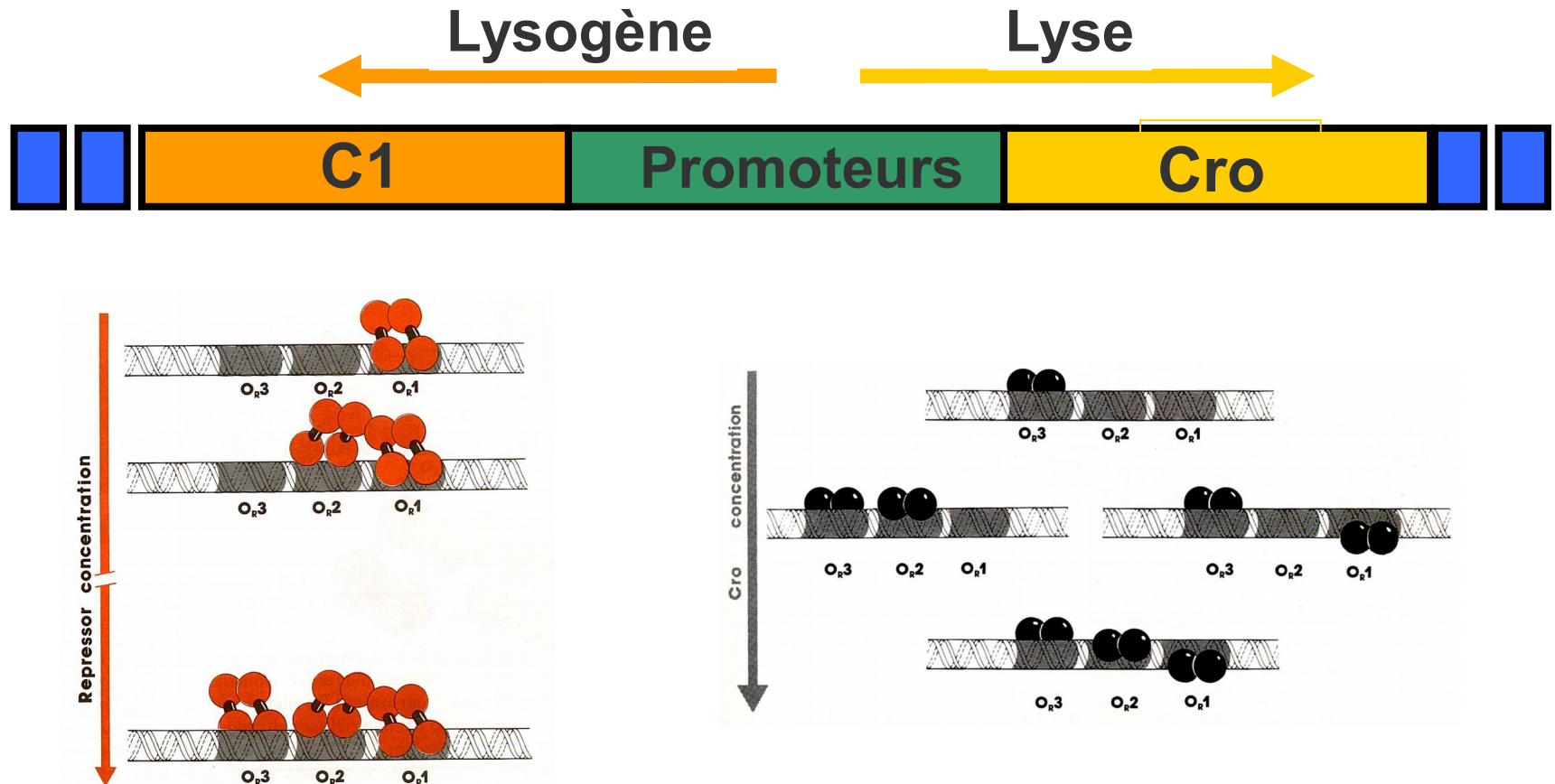
Figure 1.22. Cro bound to  $O_R$ . Cro dimers bind independently to each site in the tripartite operator.



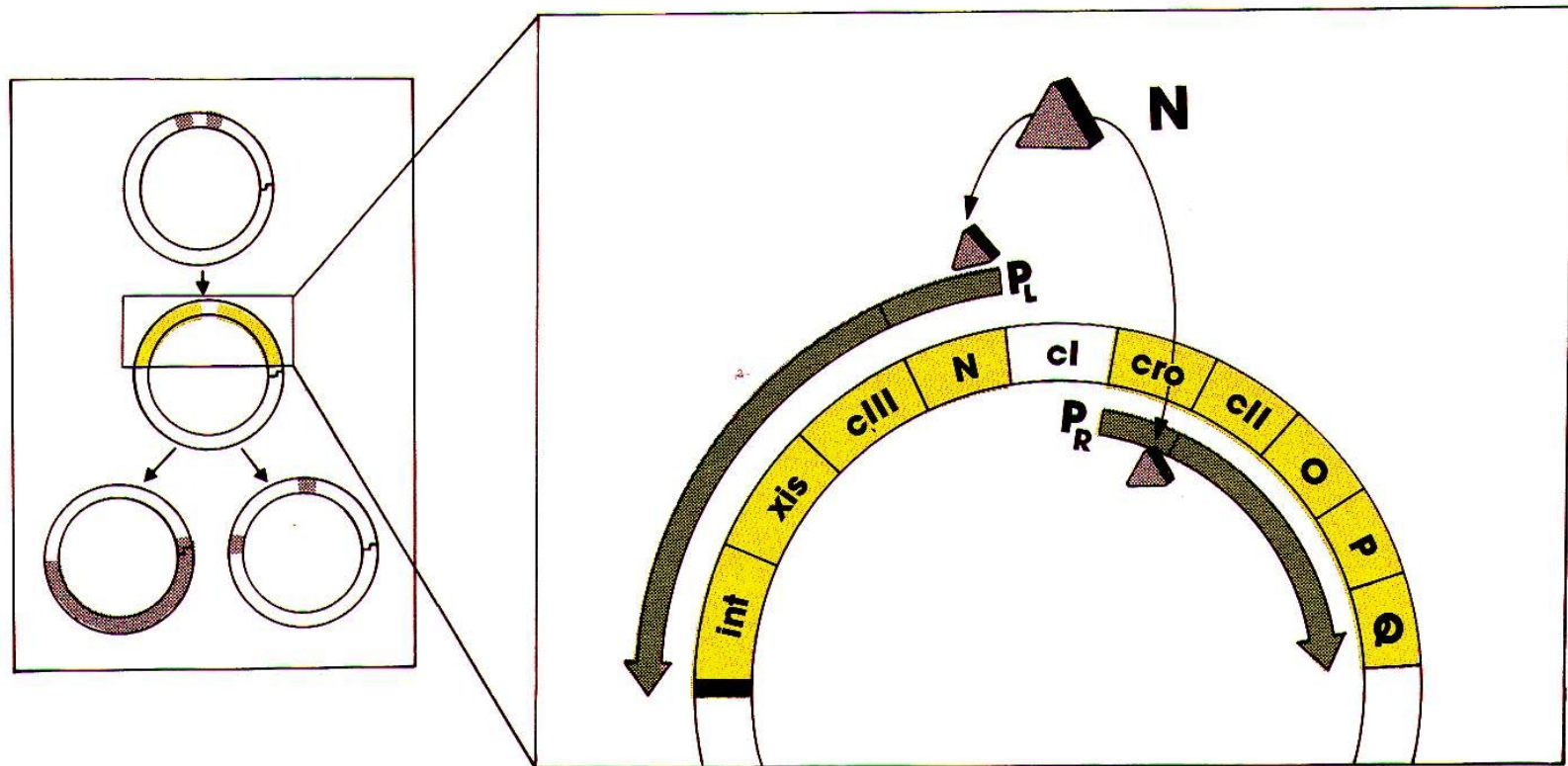
# Liaison de CI sur les opérateurs



# La décision lyse-lysogénie

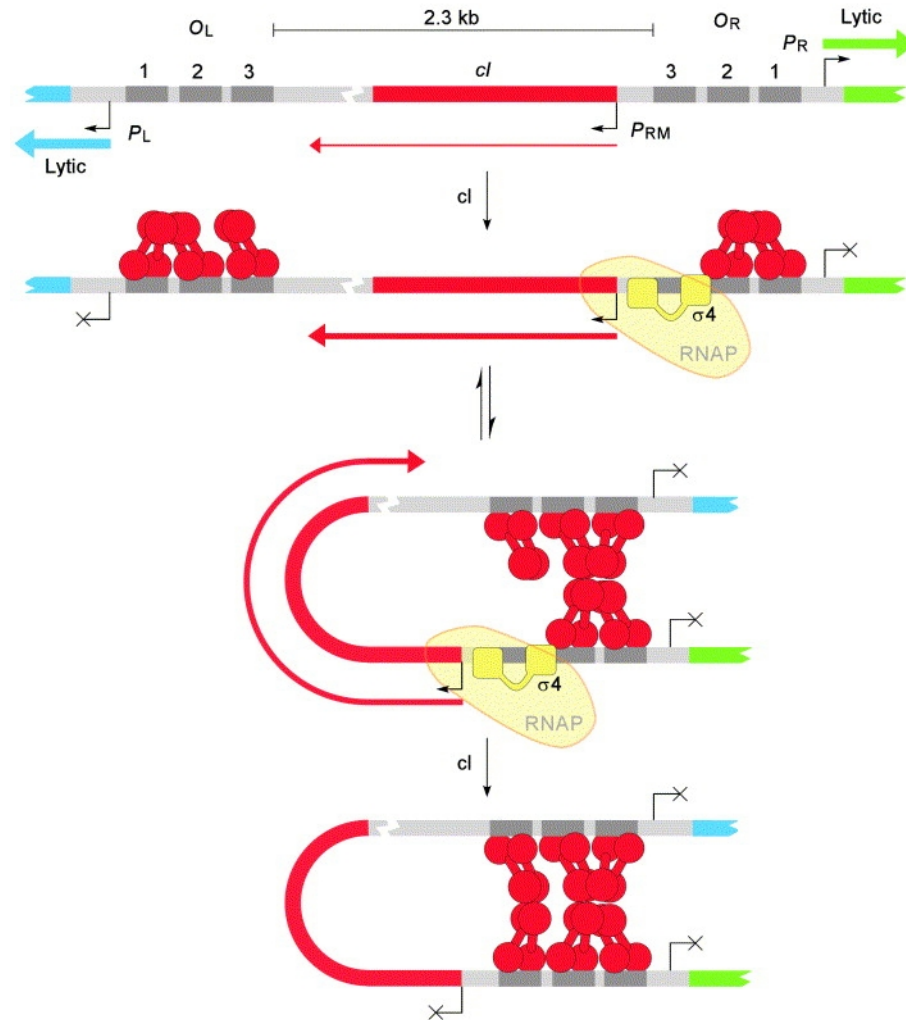


# Evénements précoce après l'infection



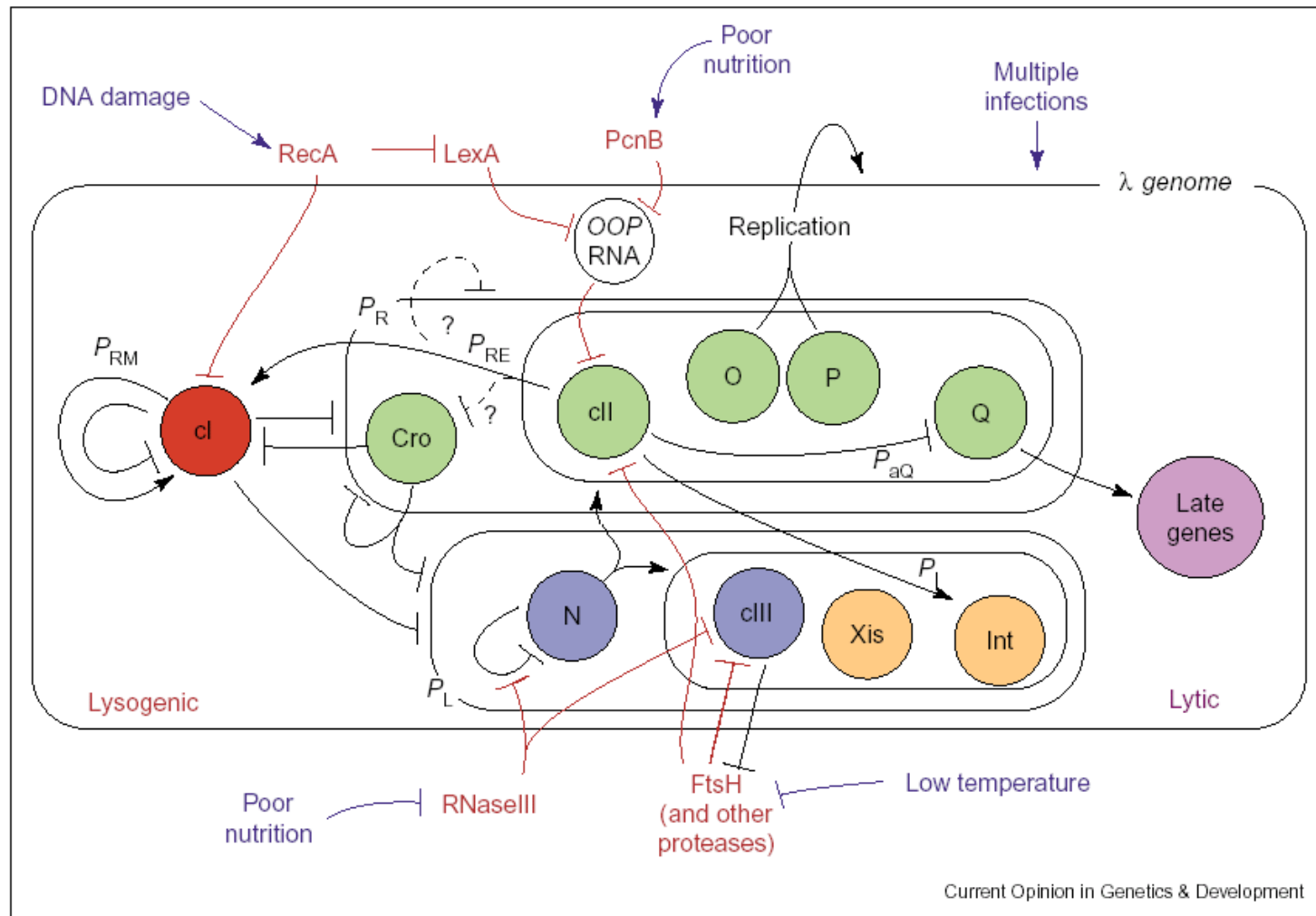
# Régulation de la transcription par Cl

- Cl participe à la régulation de la transcription aux promoteurs  $p_R$ ,  $p_L$  et  $p_{RM}$ .
- Coopérativité entre les dimères de Cl



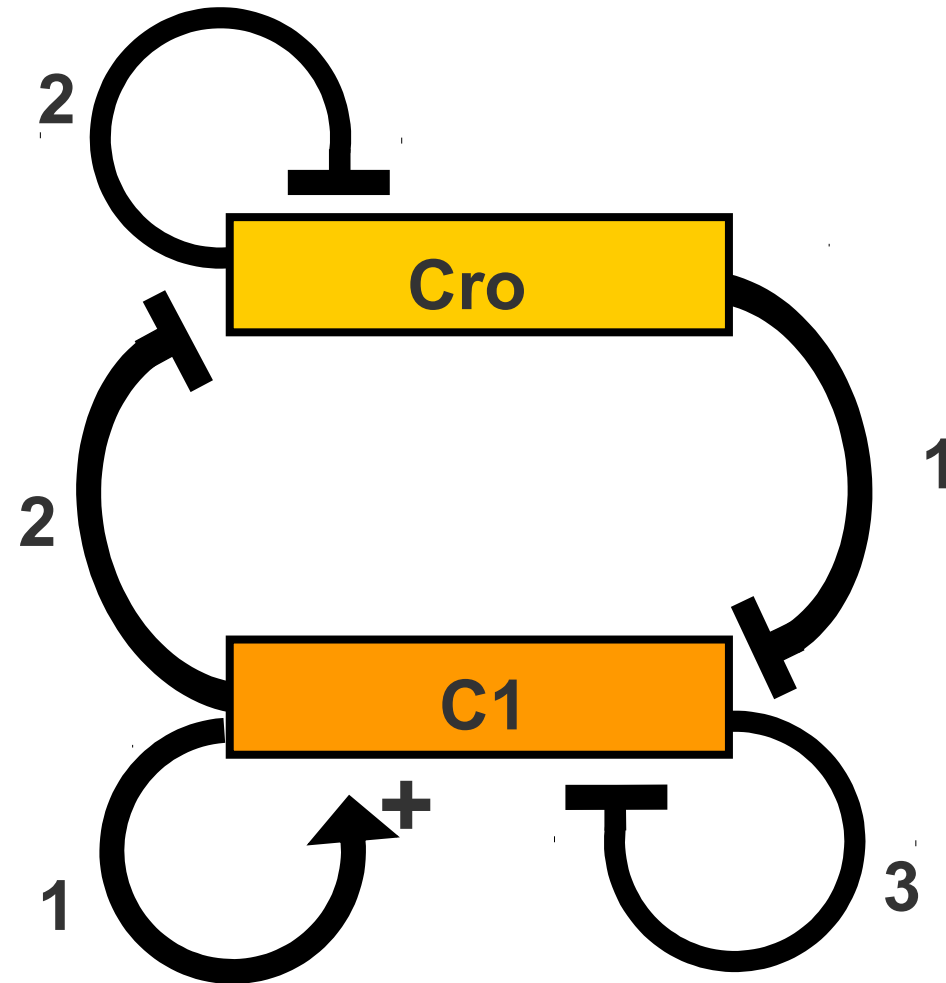
Dodd, I.B. et al. (2005).  
Curr.Op. Gen. Dev., 15, 145-152.

# Complexité du système de régulation du bactériophage $\lambda$

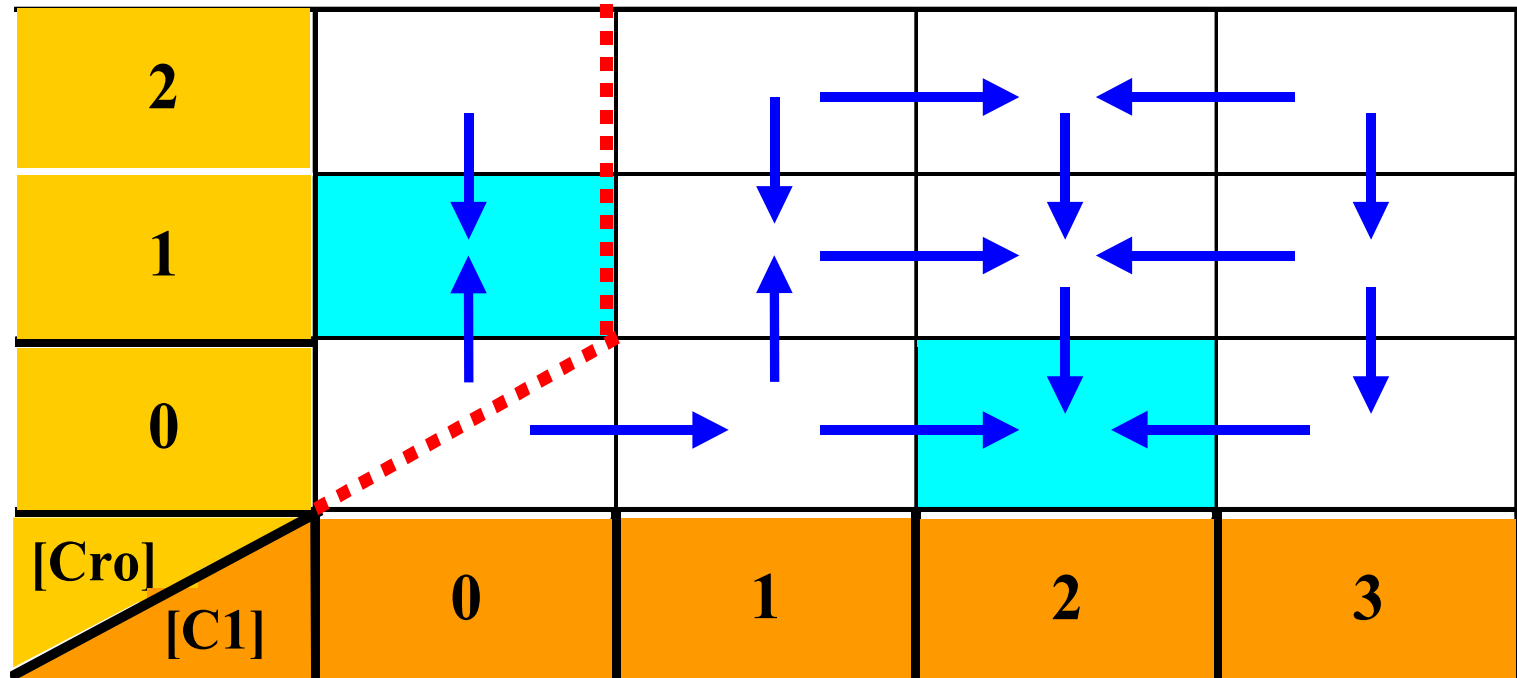


# Modèle simple de la décision lyse-lysogénie

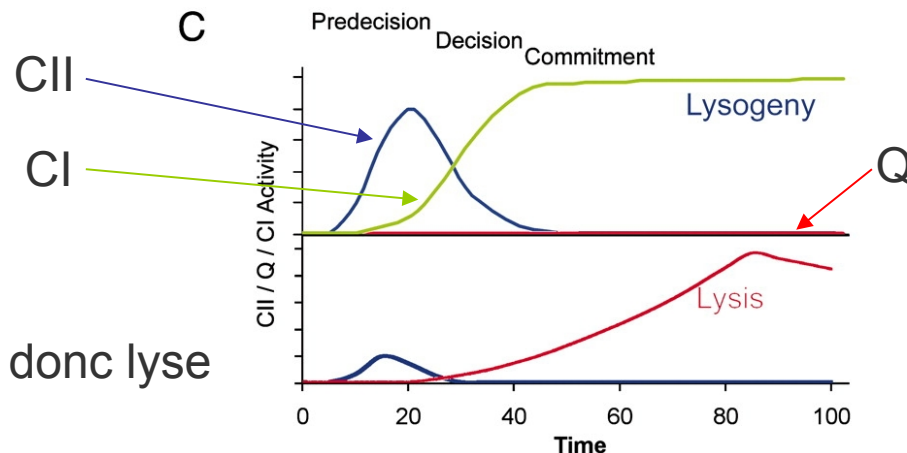
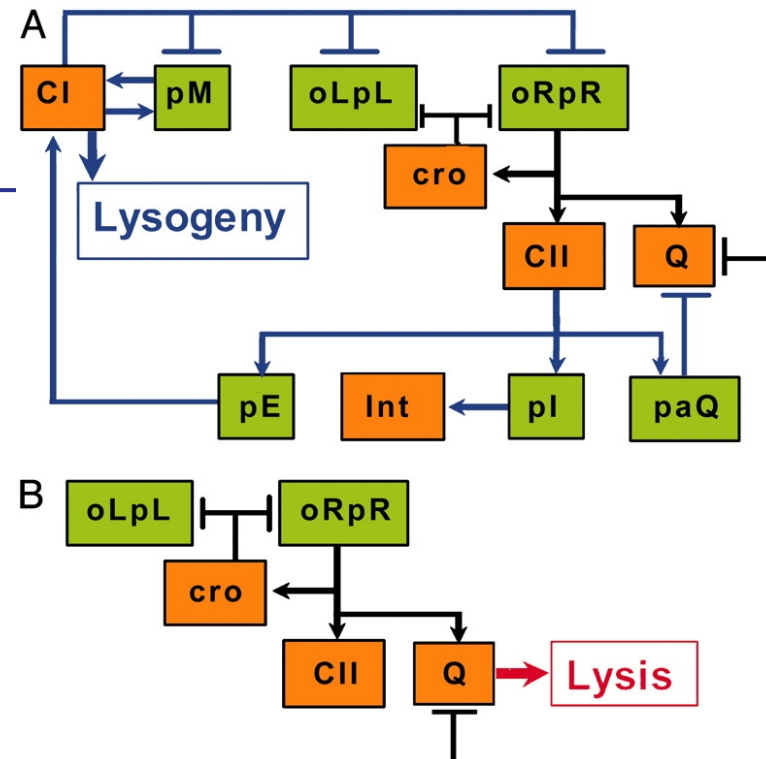
- La connectivité du réseau de régulation



# Dynamique qualitative du réseau de régulation



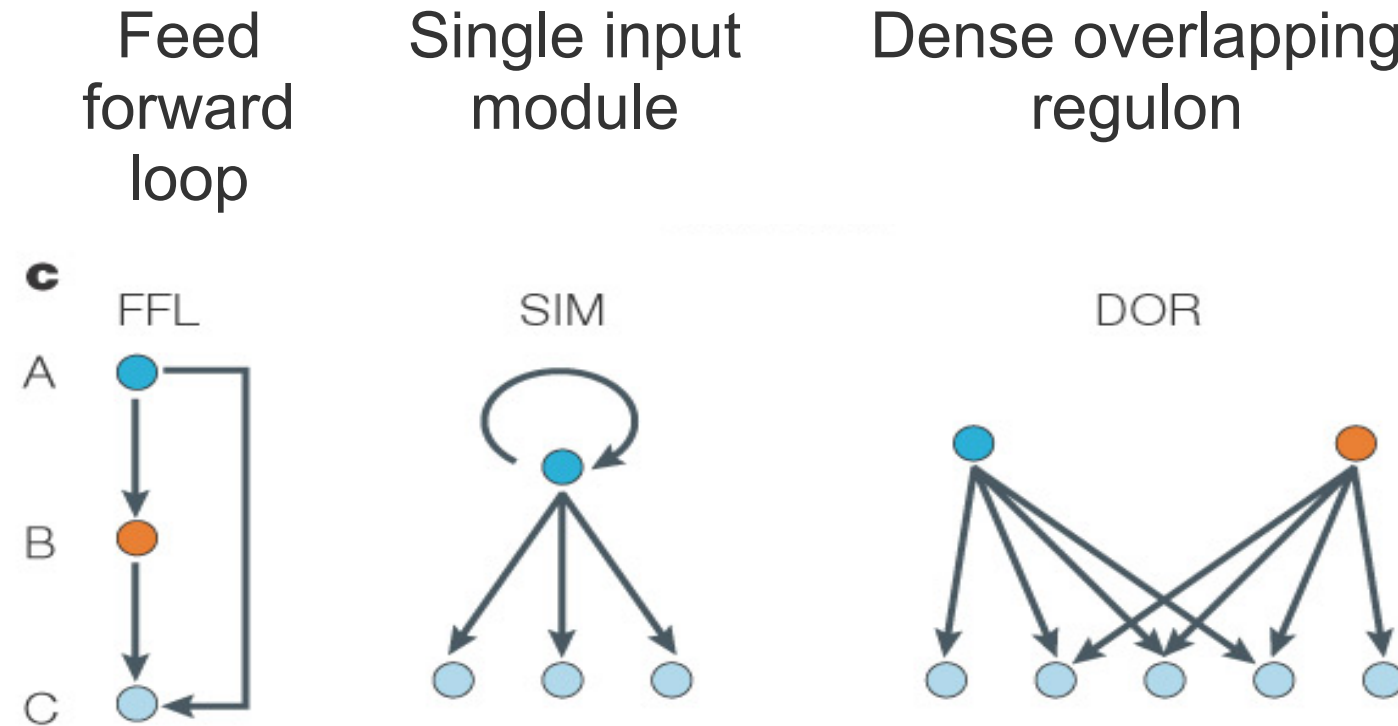
# Décision lyse-lysogénie



Trop peu de CII, donc lyse

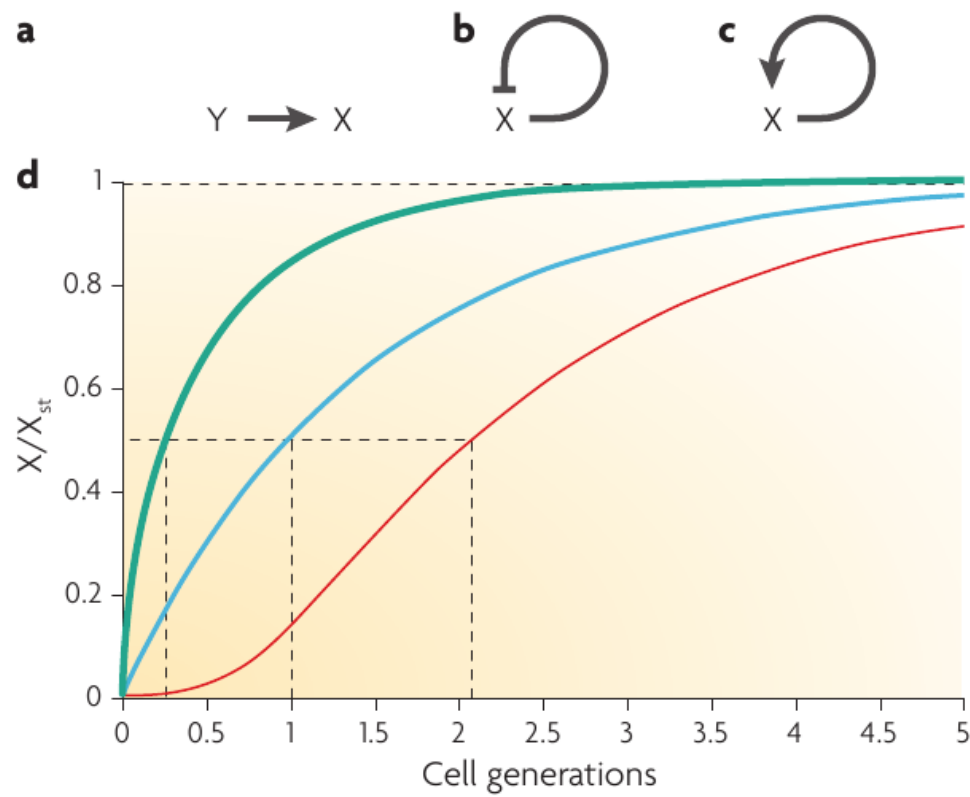
# Caractéristiques de réseaux de régulation transcriptionnelle

## ❖ Le motifs de connexion



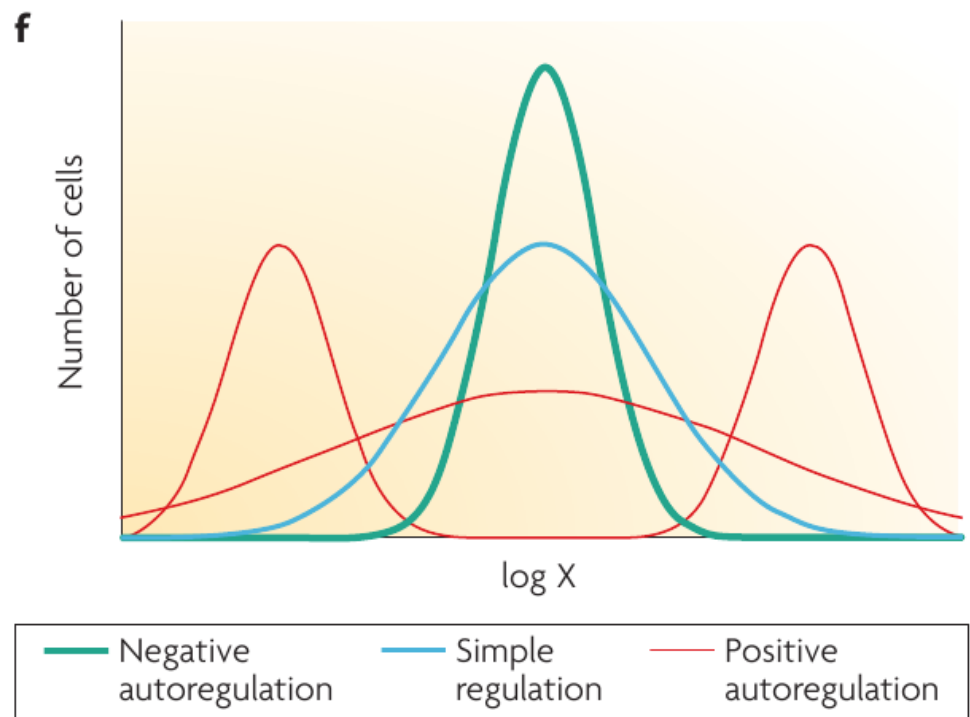
# Motifs de régulation simples

- ❖ La vitesse de réponse dépend de la connectivité



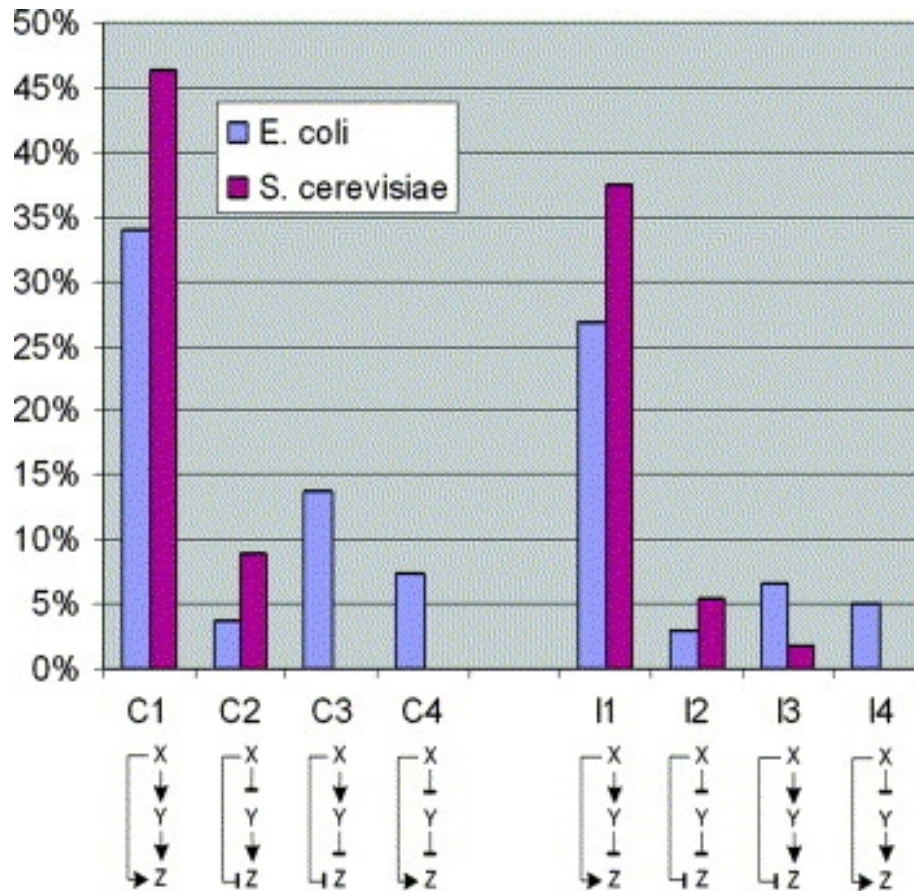
# Distribution des régulateurs

- ❖ La régulation négative produit des distributions étroites
- ❖ La régulation positive produit des distributions large (même bimodales)



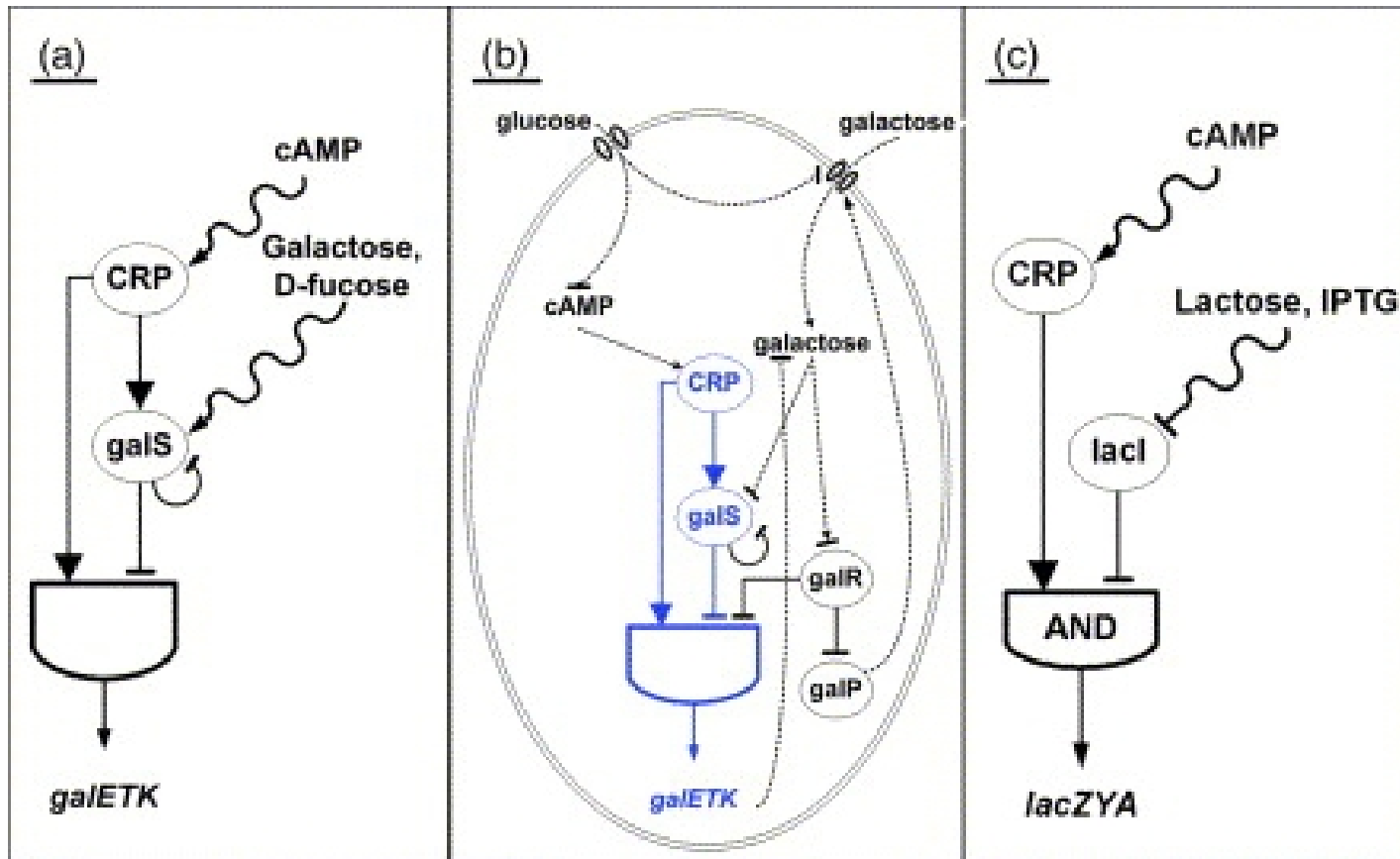
# Les huit types de FFL

❖ Distribution similaire chez *E. coli* et *S. cerevisiae*



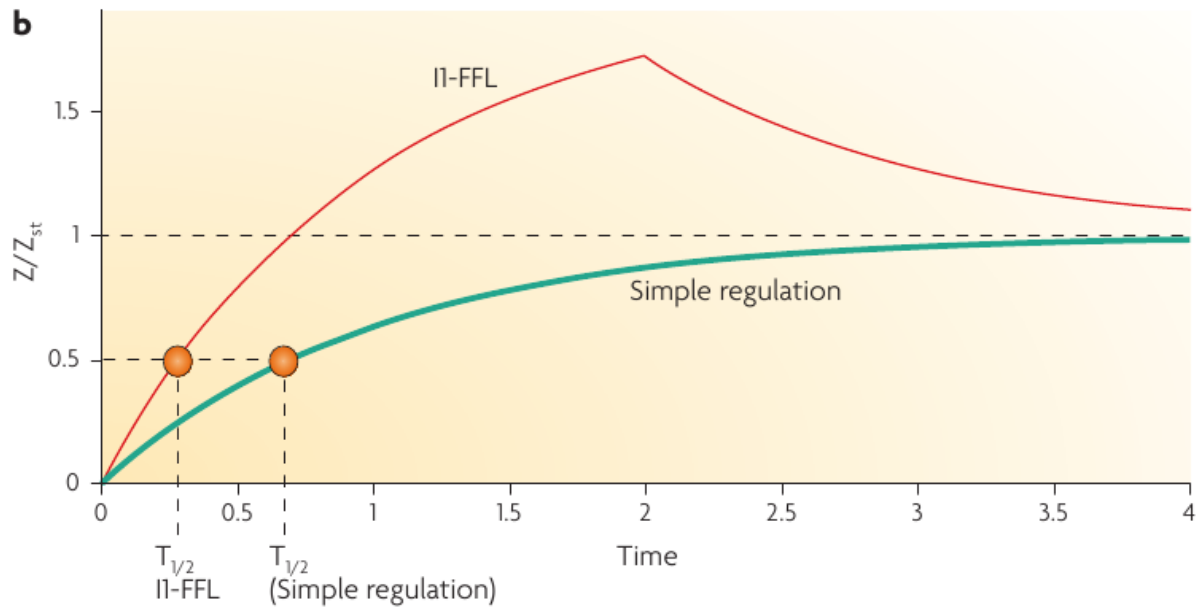
# The galactose and lactose systems of E. coli

## ❖ Les FFL



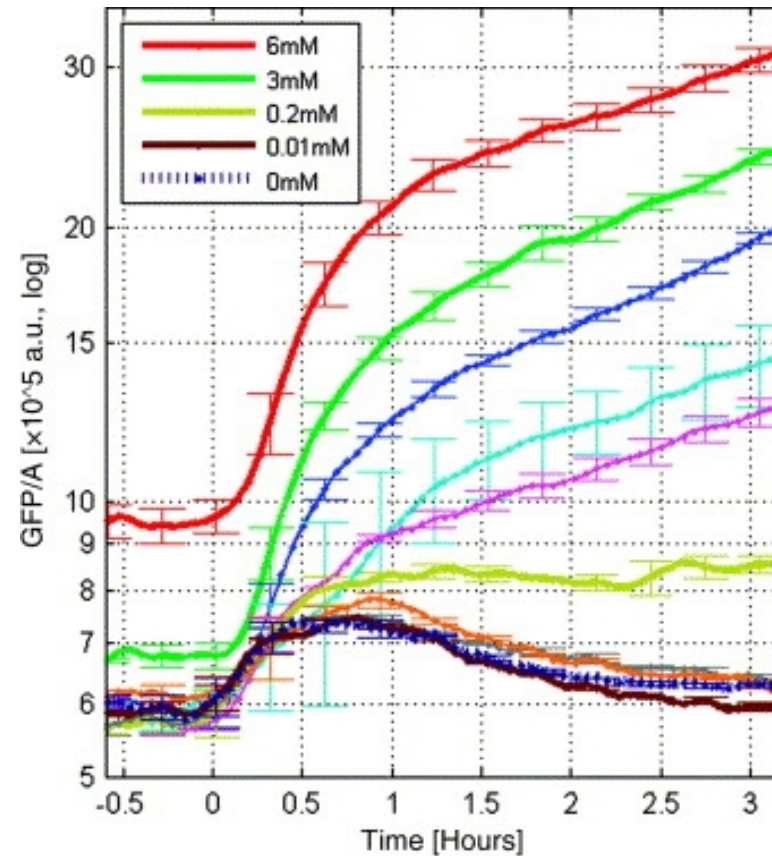
# Feed forward loop

## ❖ Réponse rapide (théorie)



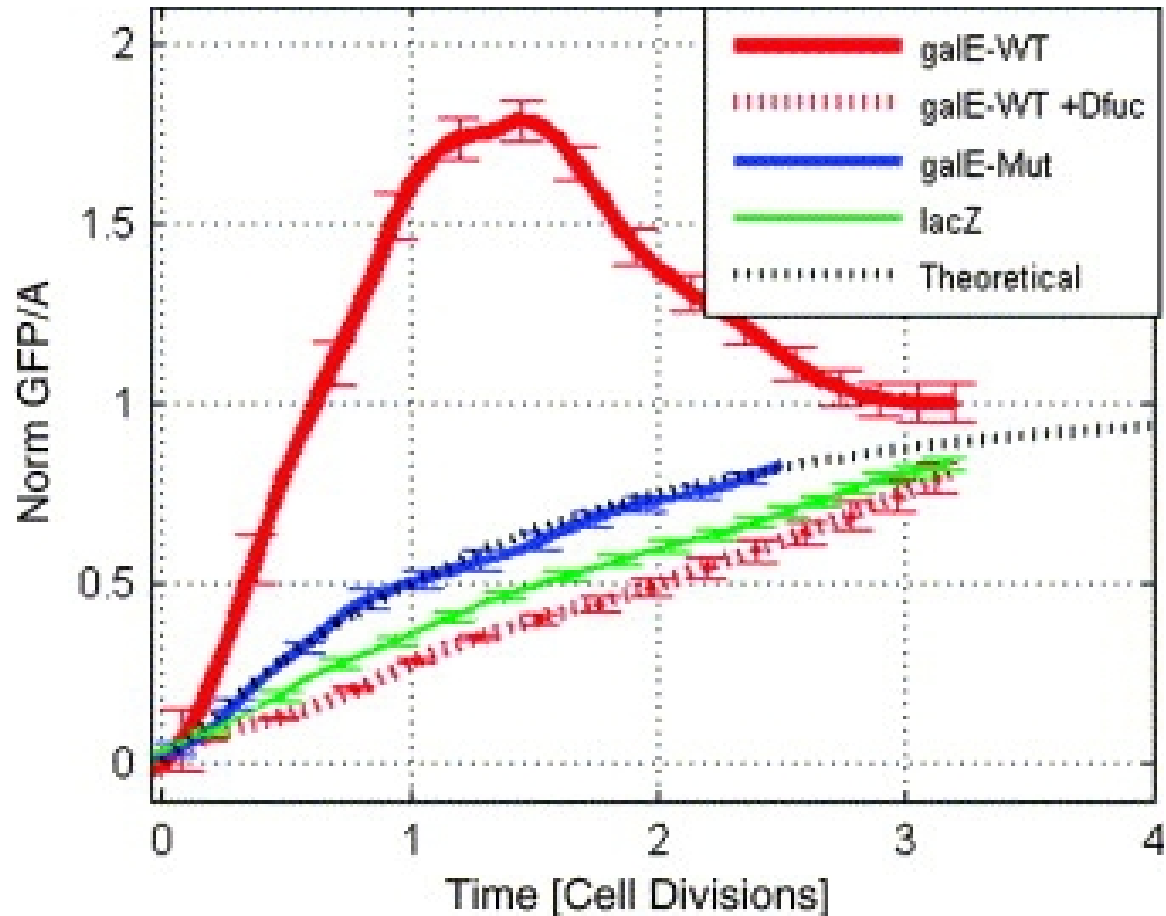
# Dynamique du promoteur *galE*

- ❖ Induction du promoteur *galE* par épuisement de glucose à temps zéro
- ❖ Différentes concentrations de l'inducteur non-métabolisable, d-fucose



# Expression du promoteur galE par rapport au steady state

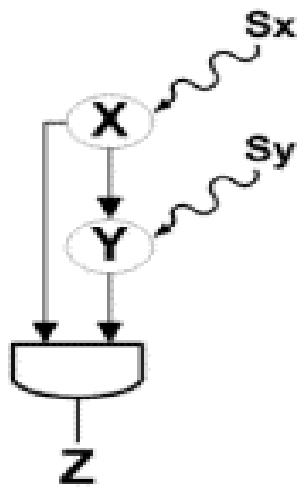
- ❖ Le glucose est épuisé à temps zéro



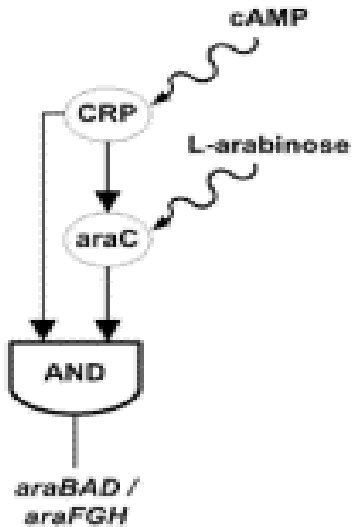
# Les FFL cohérents

- ❖ Le FFL cohérent avec ces inducteurs (ara)

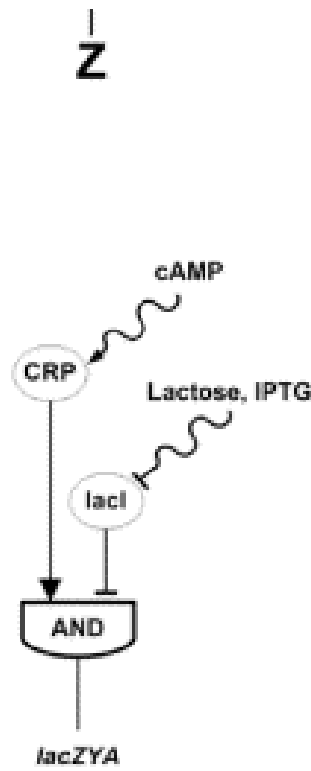
a)



b)



c)

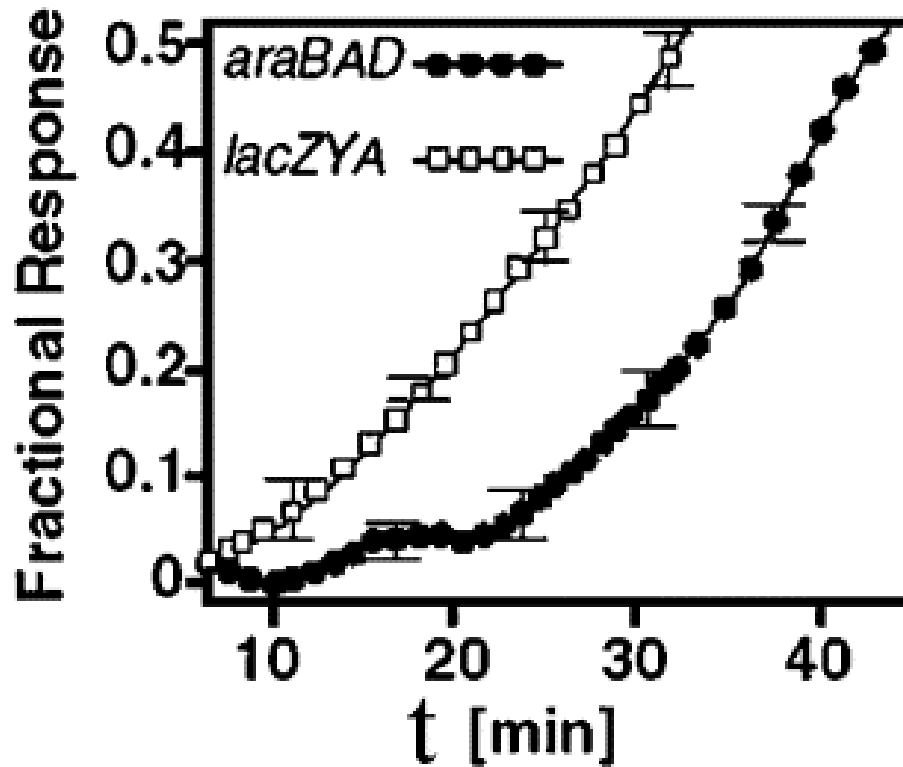


c)

d)

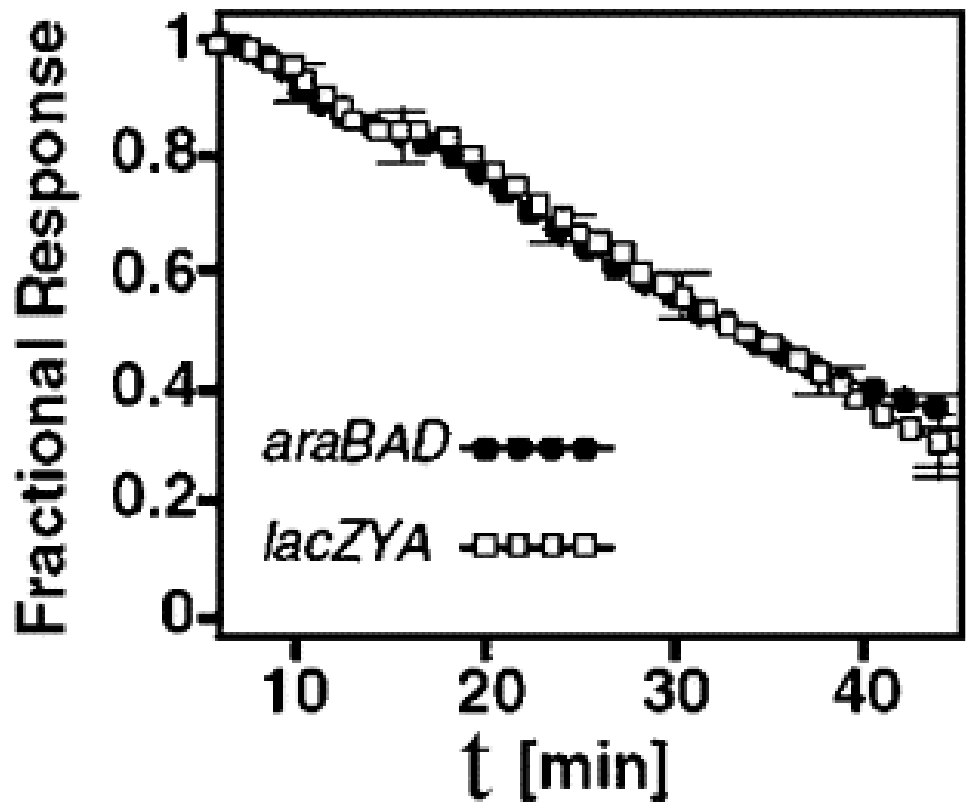
# Mesure de l'activité par la GFP

- ❖ 10 mM AMPc sont ajoutés à temps zéro
- ❖ Délai d'activation pour le FFL cohérent



# Enlever l'AMPc

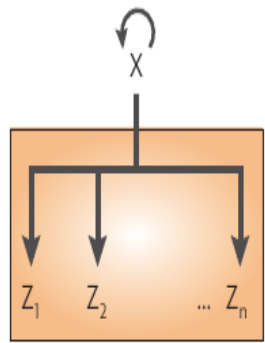
- ❖ Les bactéries poussent sur glycérol et glucose est rajouté à temps zéro
- ❖ Pas de délai pour arrêt de l'induction



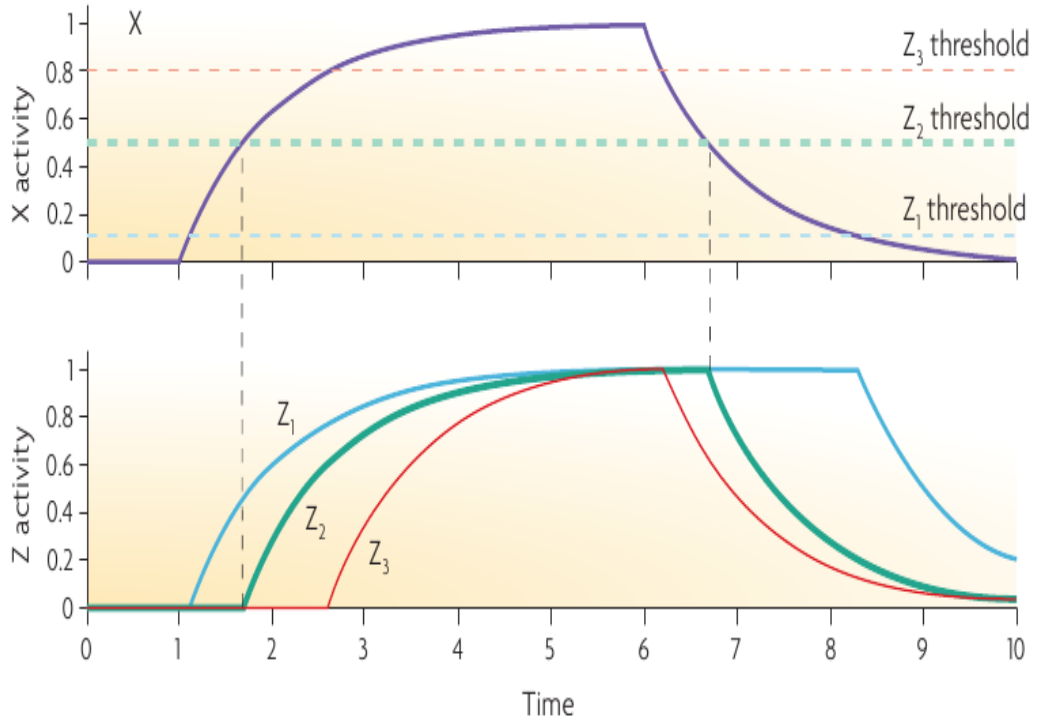
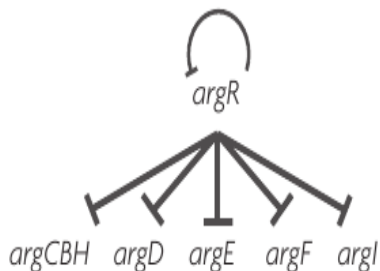
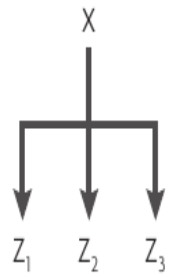
# Single Input Module

## ❖ Activation séquentielle

a

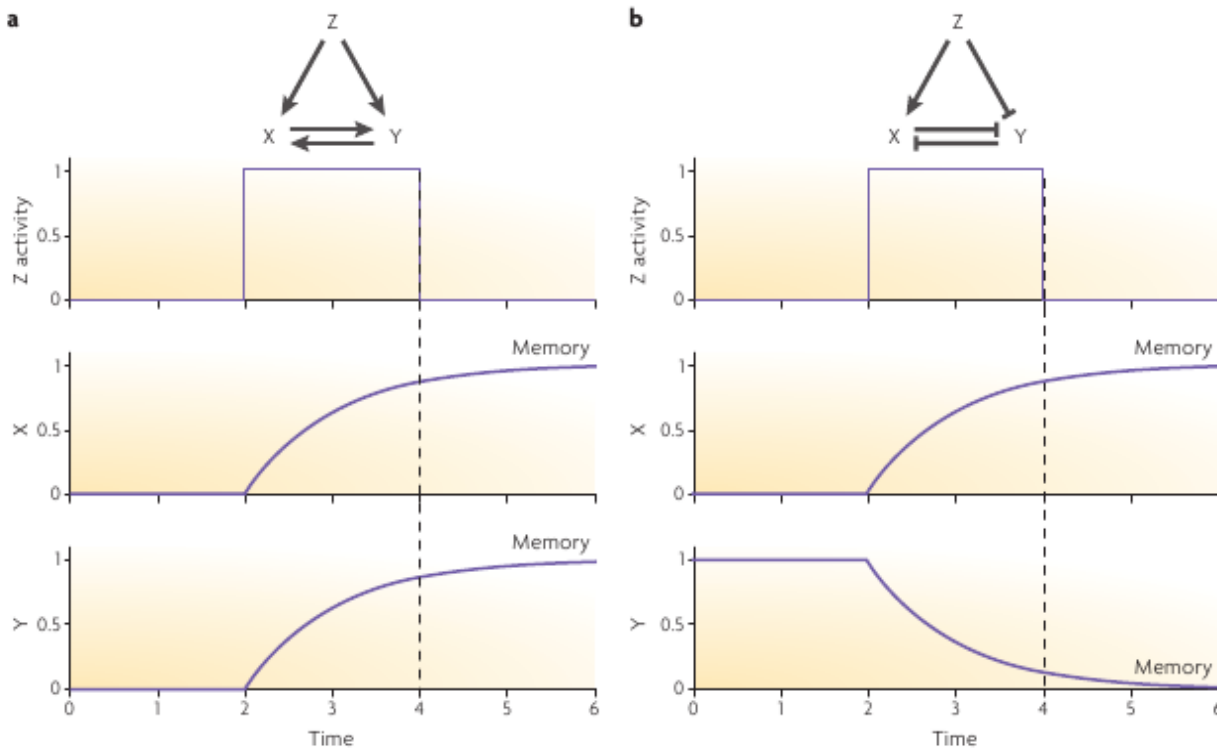


b



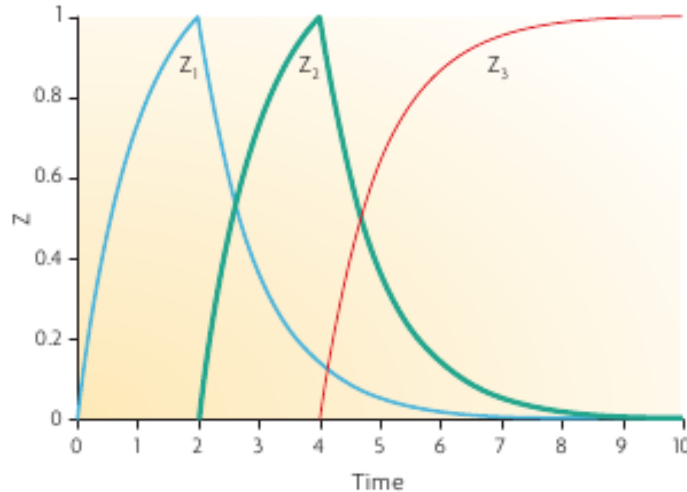
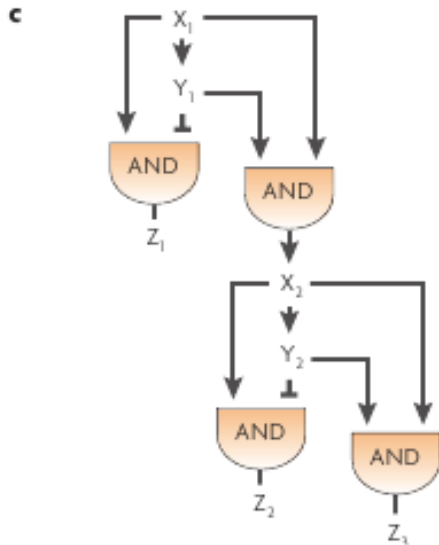
# Les réseaux de régulation dans le développement

## ❖ Un signal initial est mémorisé

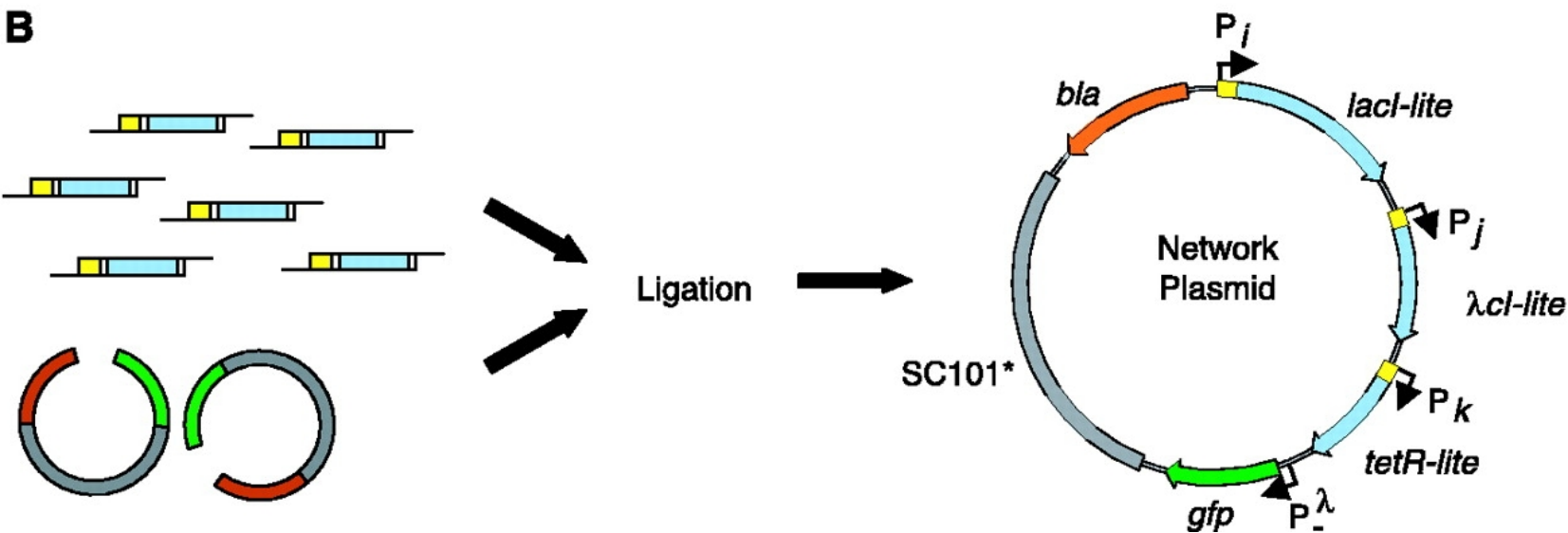
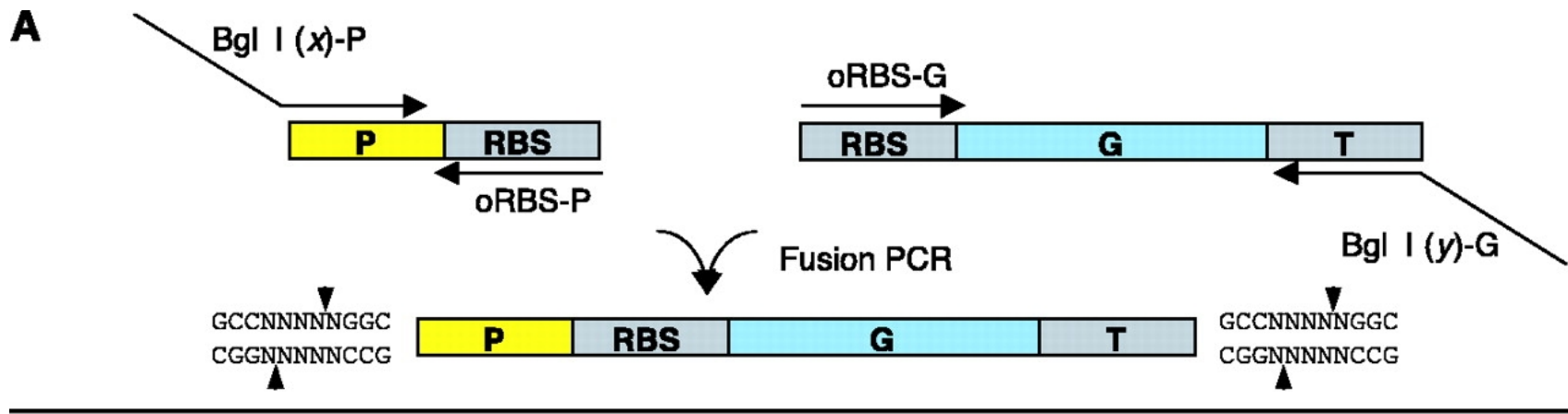


# Les réseaux de régulation dans le développement

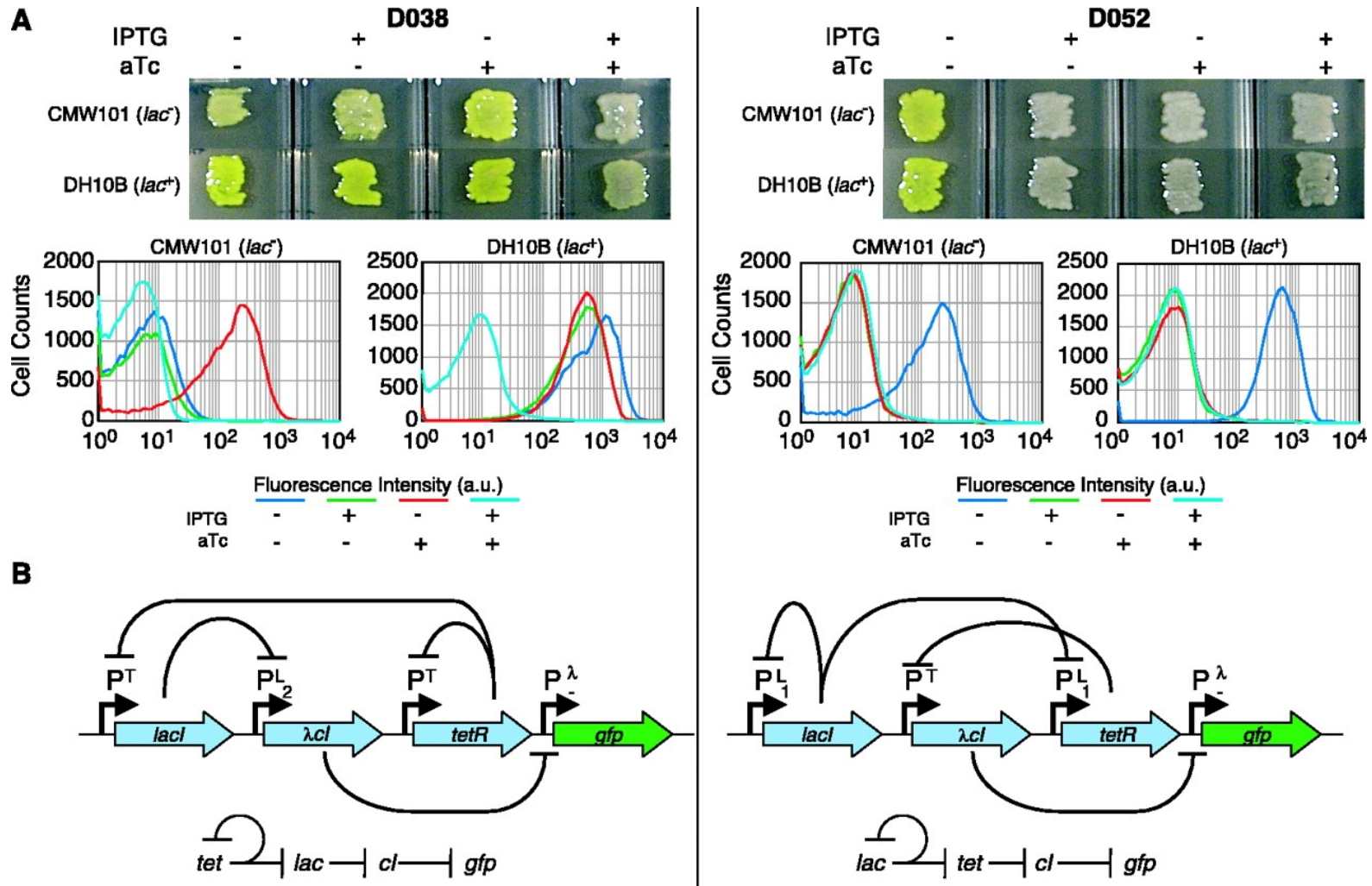
- ❖ Les connectivités plus compliquées conduisent à une activation séquentielle



# Combinatorial construction of gene regulatory networks



# Two examples of logical circuits: NOR NAND

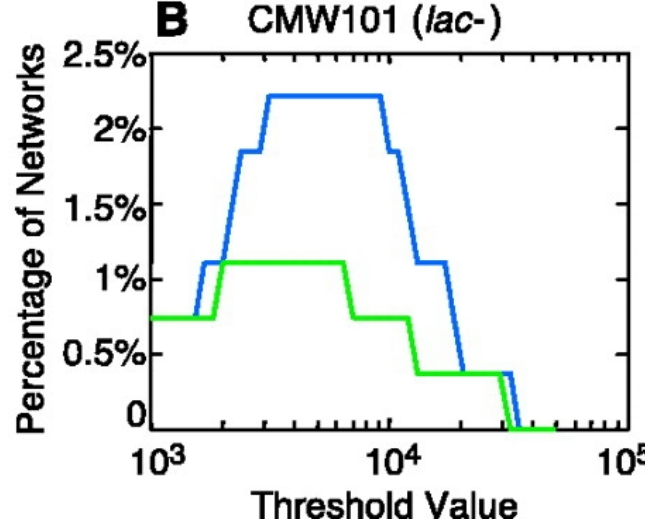


# Proportion of binary logical networks in the two different cell types

**A**

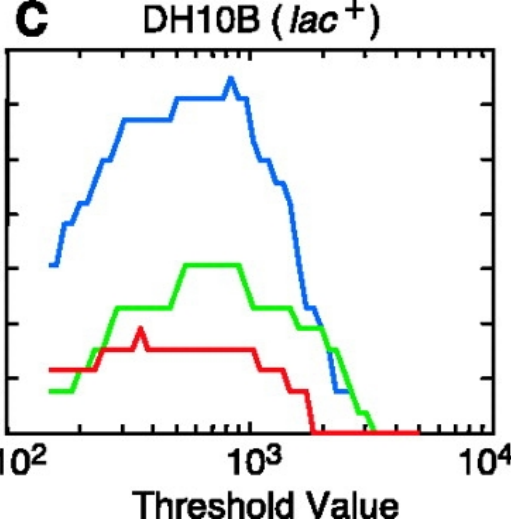
IPTG	-	+	-	+
aTc	-	-	+	+
<b>NOR</b>	On	Off	Off	Off
<b>NOT IF</b>	Off	On	Off	Off
<b>NAND</b>	On	On	On	Off

**B CMW101 (*lac-*)**

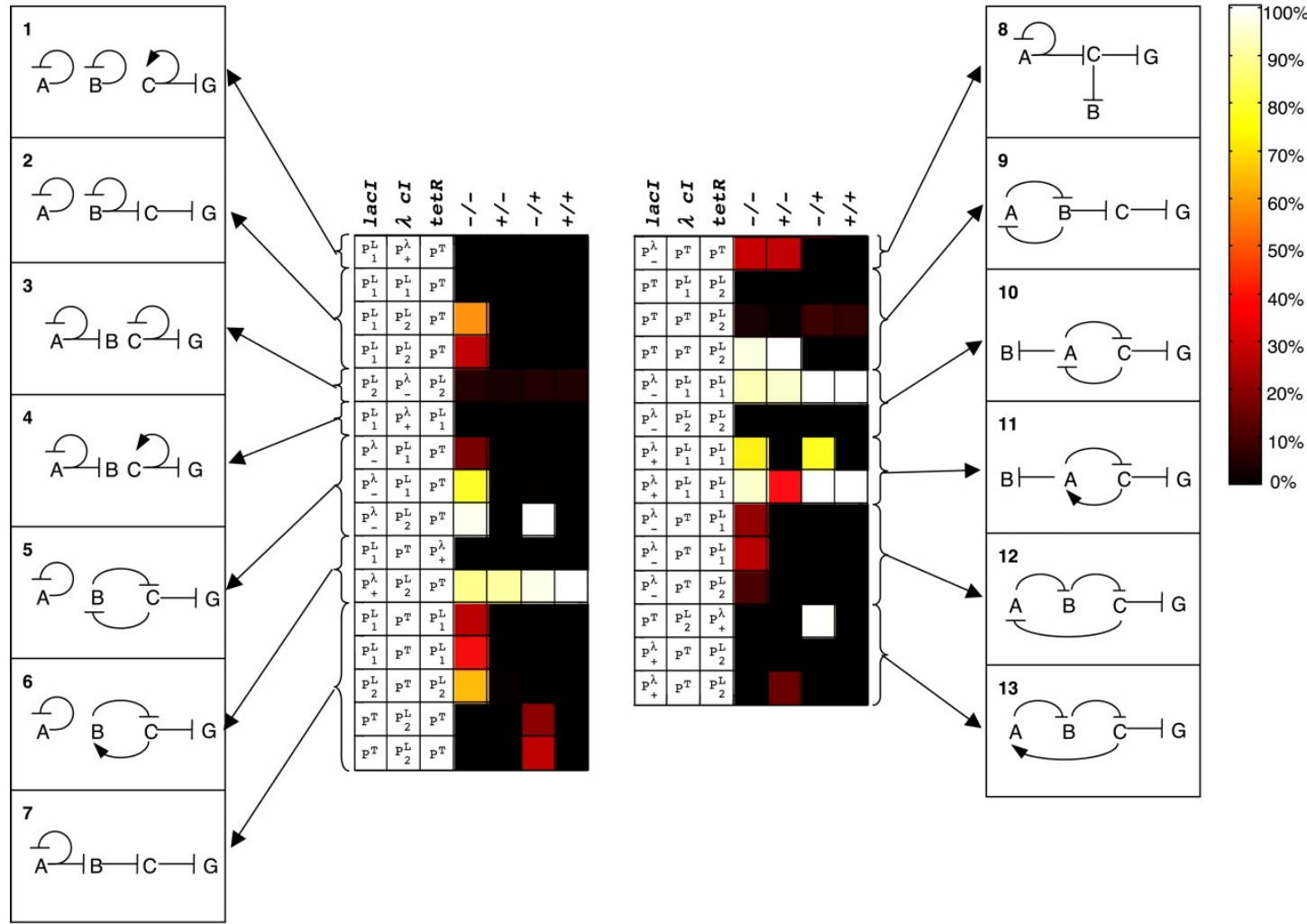


**C**

**DH10B (*lac<sup>+</sup>*)**



# Dependence of phenotypic behavior on network connectivity



# Comportement dynamique des réseaux

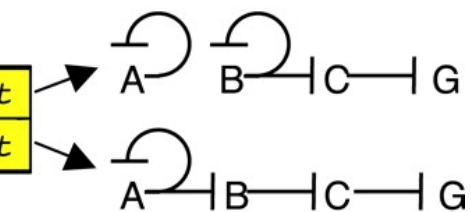
- ❖ Small changes in the network lead to very different behaviors
- ❖ The same behavior can be achieved by different networks

**A** Strain: CMW101 (*lac<sup>-</sup>*)

Plasmid	D133					P <sup>L</sup> <sub>+</sub>	lac	P <sup>L</sup> <sub>2</sub>	λ cI	P <sup>T</sup>	tet
						P <sup>T</sup>	lac	P <sup>L</sup> <sub>2</sub>	λ cI	P <sup>T</sup>	tet
D038						P <sup>T</sup>	lac	P <sup>L</sup> <sub>2</sub>	λ cI	P <sup>T</sup>	tet
D016						P <sup>L</sup> <sub>1</sub>	lac	P <sup>L</sup> <sub>2</sub>	λ cI	P <sup>T</sup>	tet
IPTG	-	+	-	+		-	+	-	+		
aTc	-	-	+	+		-	-	+	+		

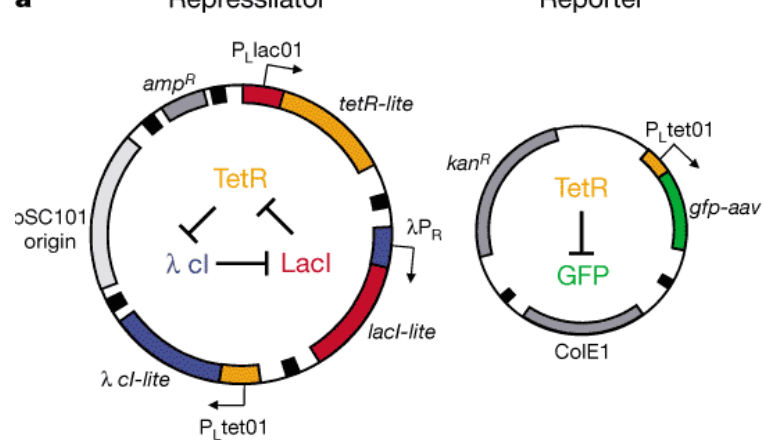
**B** Strain: CMW101 (*lac<sup>-</sup>*)

Plasmid	D016					P <sup>L</sup> <sub>1</sub>	lac	P <sup>L</sup> <sub>2</sub>	λ cI	P <sup>T</sup>	tet
						P <sup>L</sup> <sub>1</sub>	lac	P <sup>L</sup> <sub>2</sub>	λ cI	P <sup>T</sup>	tet
D052						P <sup>L</sup> <sub>1</sub>	lac	P <sup>T</sup>	λ cI	P <sup>L</sup> <sub>1</sub>	tet
IPTG	-	+	-	+		-	+	-	+		
aTc	-	-	+	+		-	-	+	+		

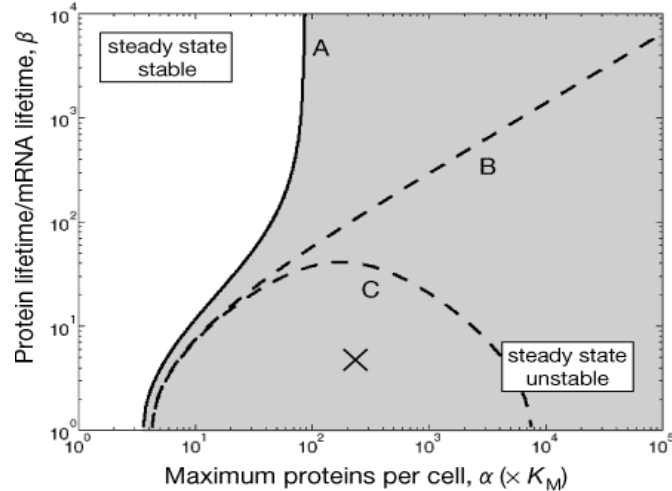


# A synthetic oscillator

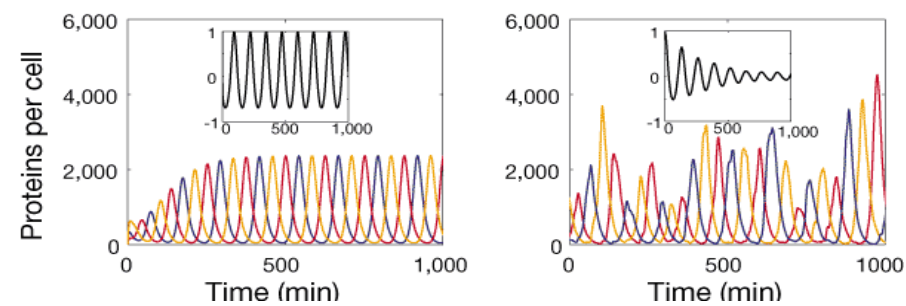
a Repressor



b



c



# Synthetic oscillator

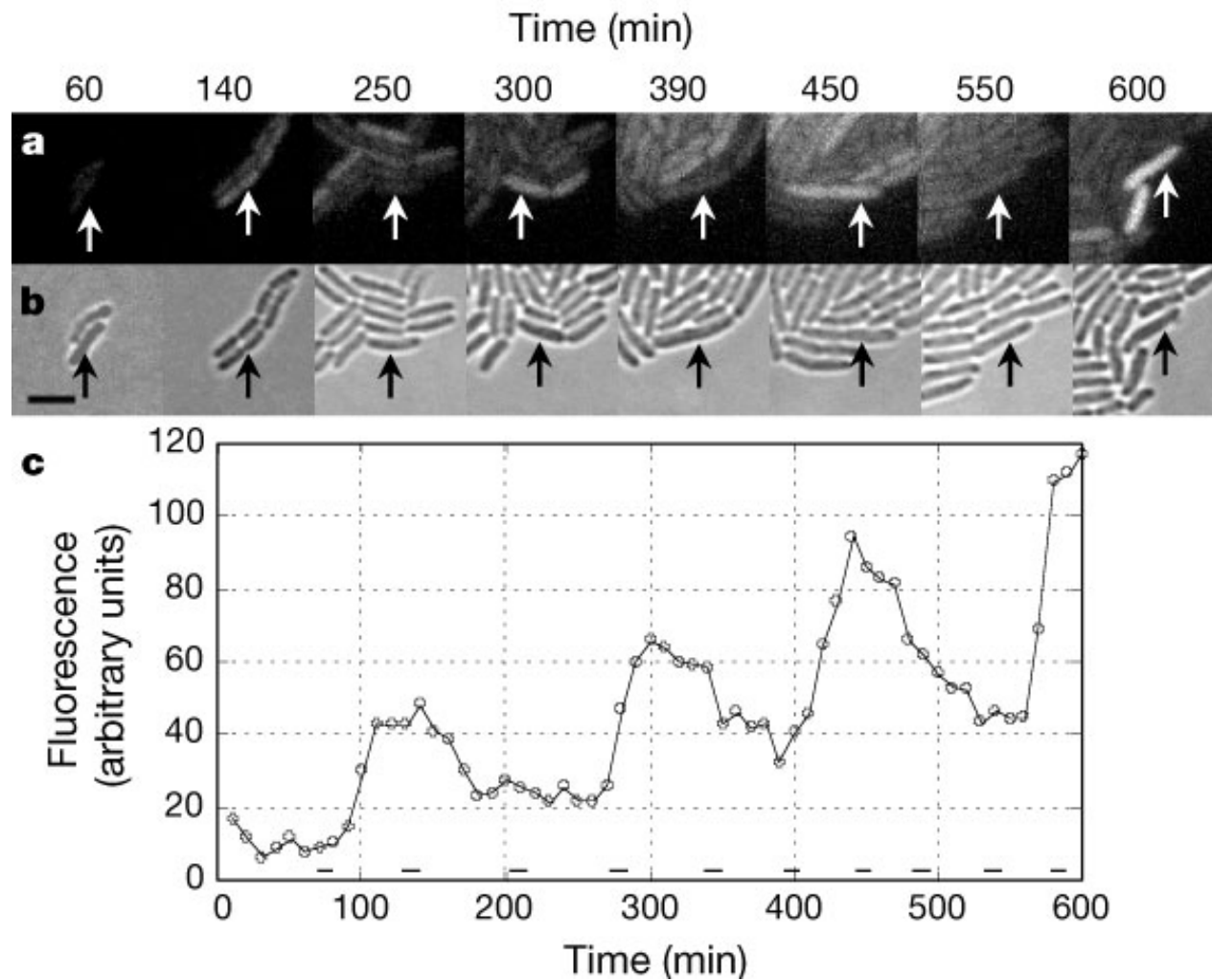
---

$$\frac{dm_i}{dt} = -m_i + \frac{\alpha}{1 + p_j^n} + \alpha_0$$

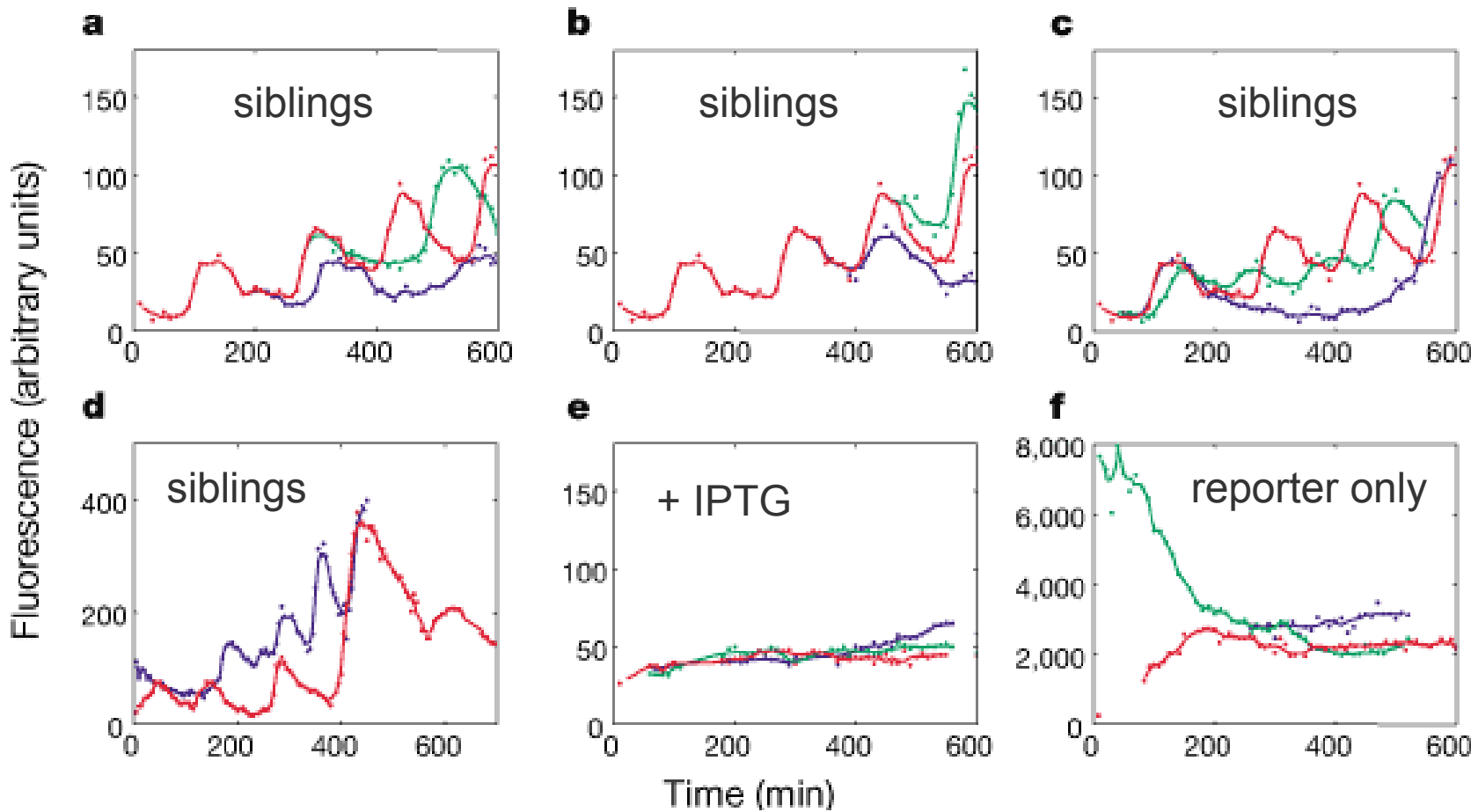
$$\frac{dp_i}{dt} = -\beta \times (p_i - m_i)$$

(  
  i = lacI, tetR, cl  
  j = cl, lacI, tetR  
)

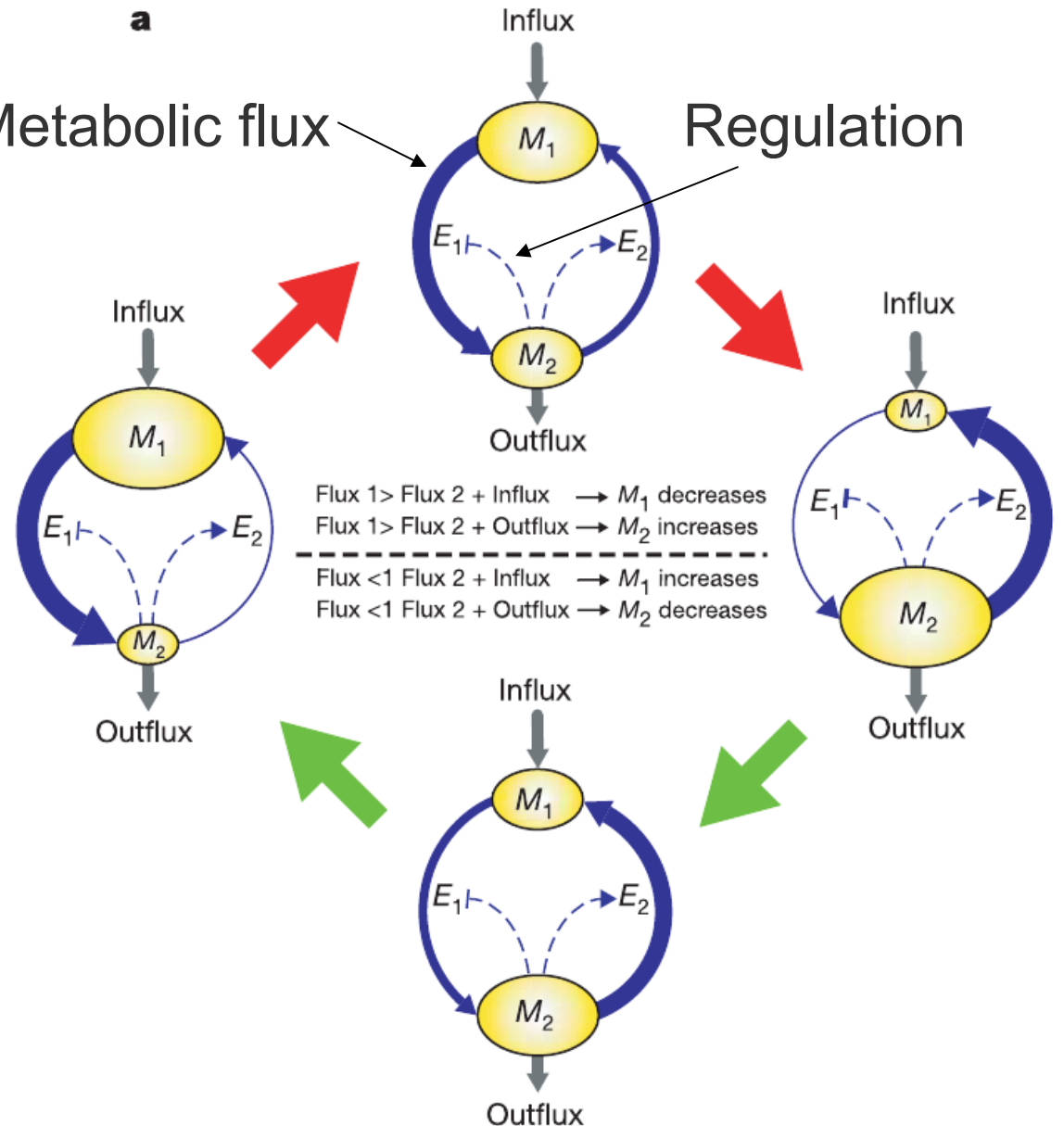
# Oscillations are maintained through cell division



# Examples of oscillatory behavior



# Construction of a metabolic oscillator



Two metabolites,  
 $M_1$  and  $M_2$ , and  
their control by  
enzymes  $E_1$  and  $E_2$

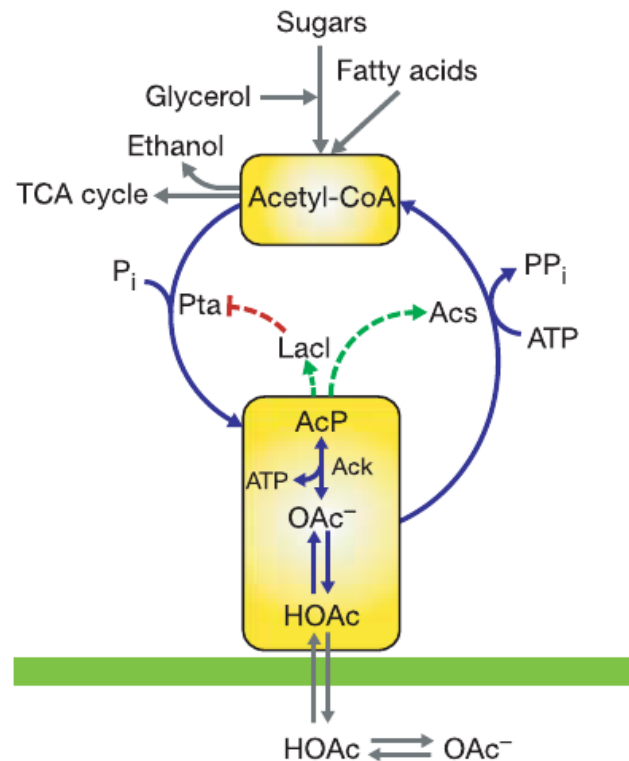
# Construction in *Escherichia coli*

- Use acetyl-CoA and acetyl-phosphate as metabolites

Pta: phosphate acetyltransferase

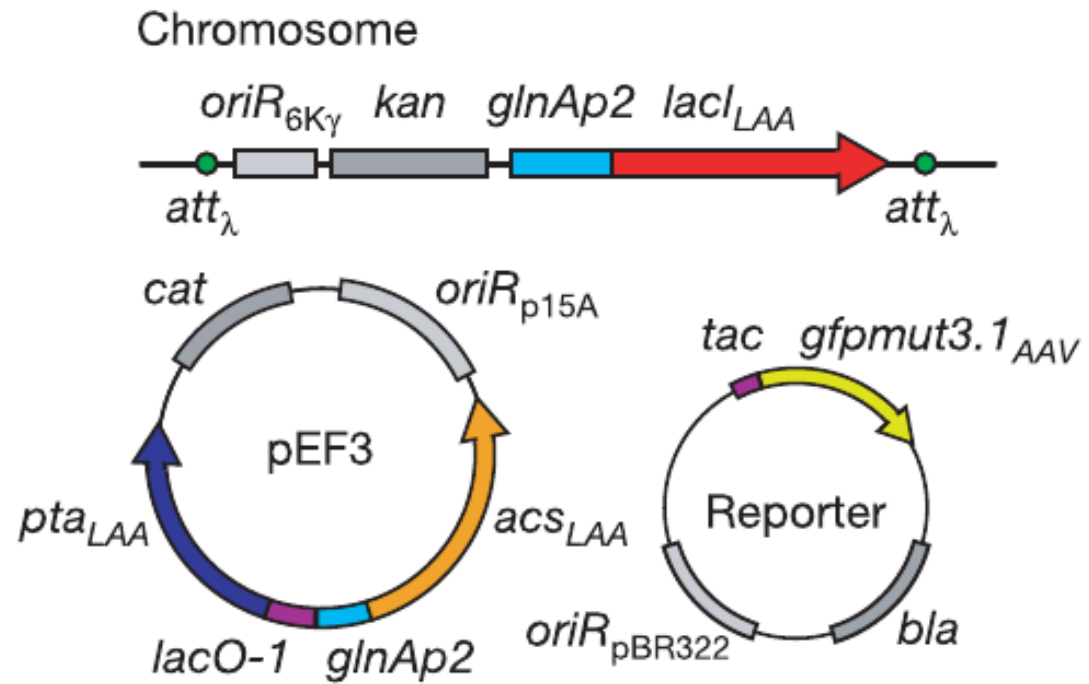
Acs: Acetyl-CoA synthetase

Ack: Acetate kinase



# Change the regulation of the enzymes

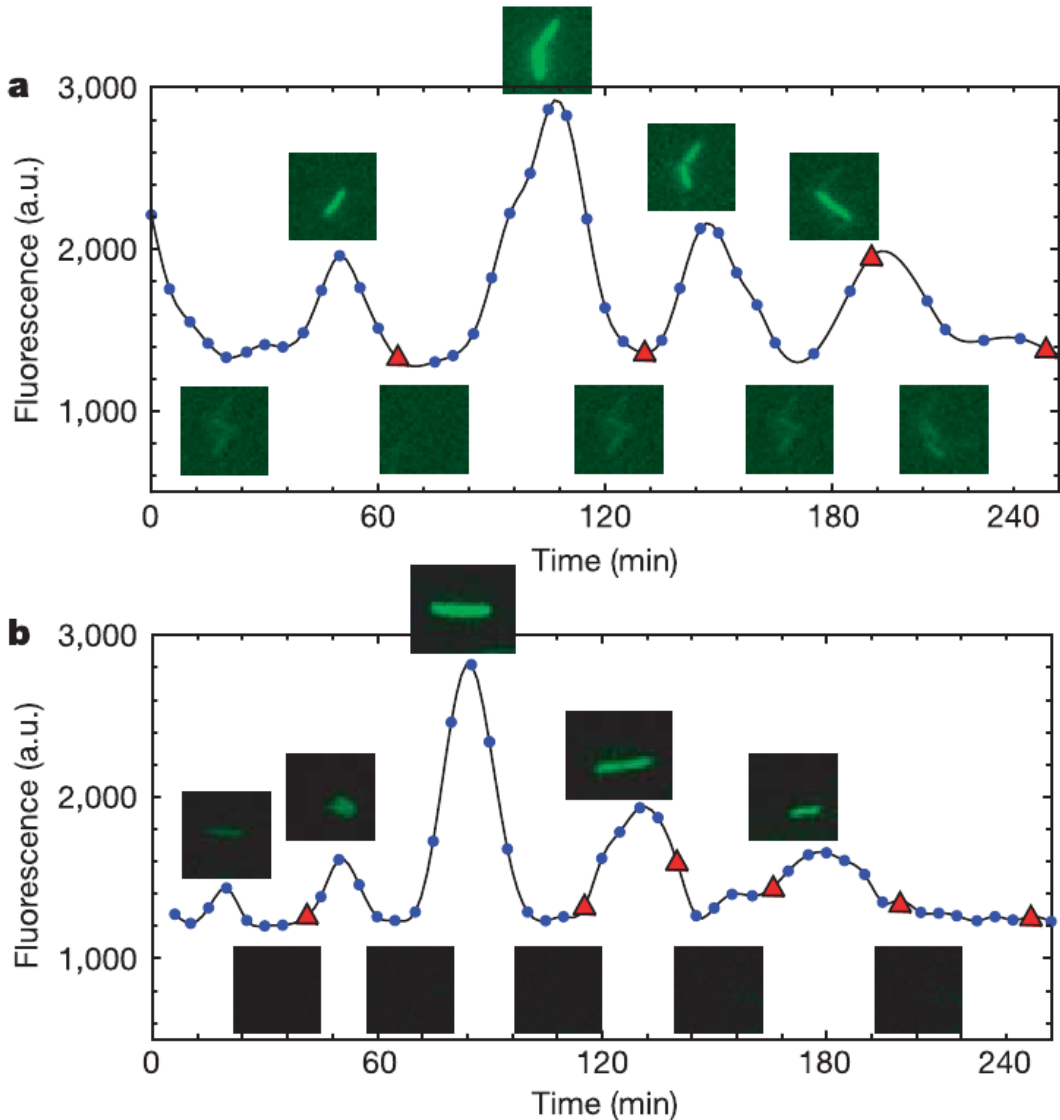
- **Ac-P**  
phosphorylates NRI  
and activates  
*glnAp2*. Put ***acs***  
downstream.
- **Pta** is expressed  
from a lac promoter.
- **Lac repressor** is  
under the control of  
*glnAp2*.



Enzyme half-lives are reduced by an ssrA-tag

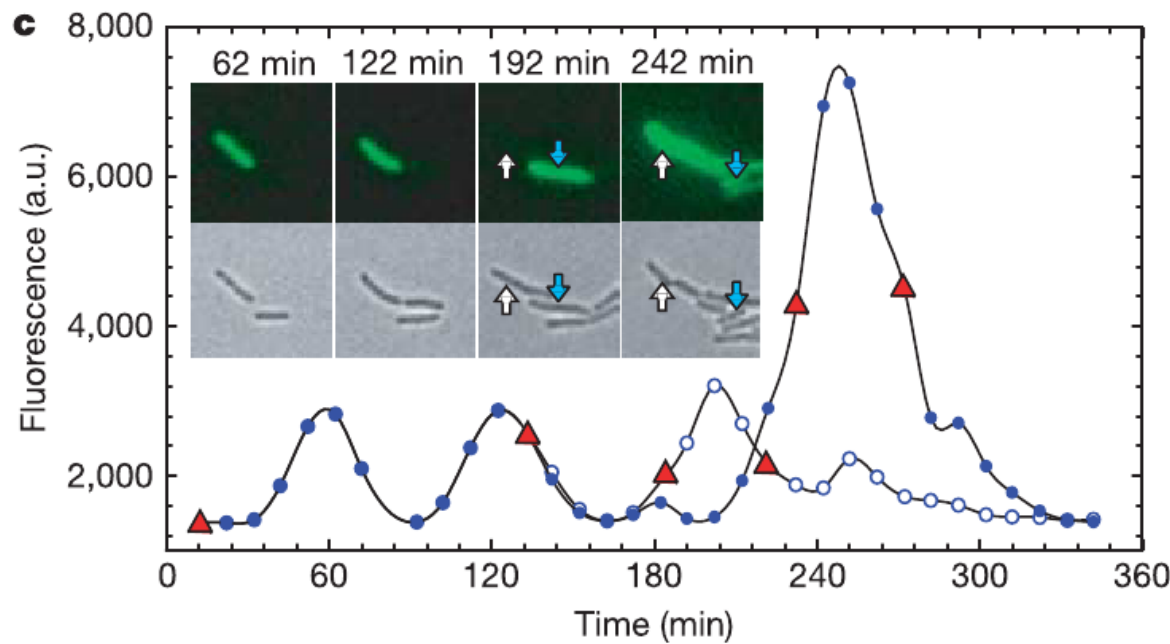
# Oscillations in single cells

- Oscillation in 60% of cells
- Period: 40 min.
- Doubling time: 60 min.



# Oscillations in single cells

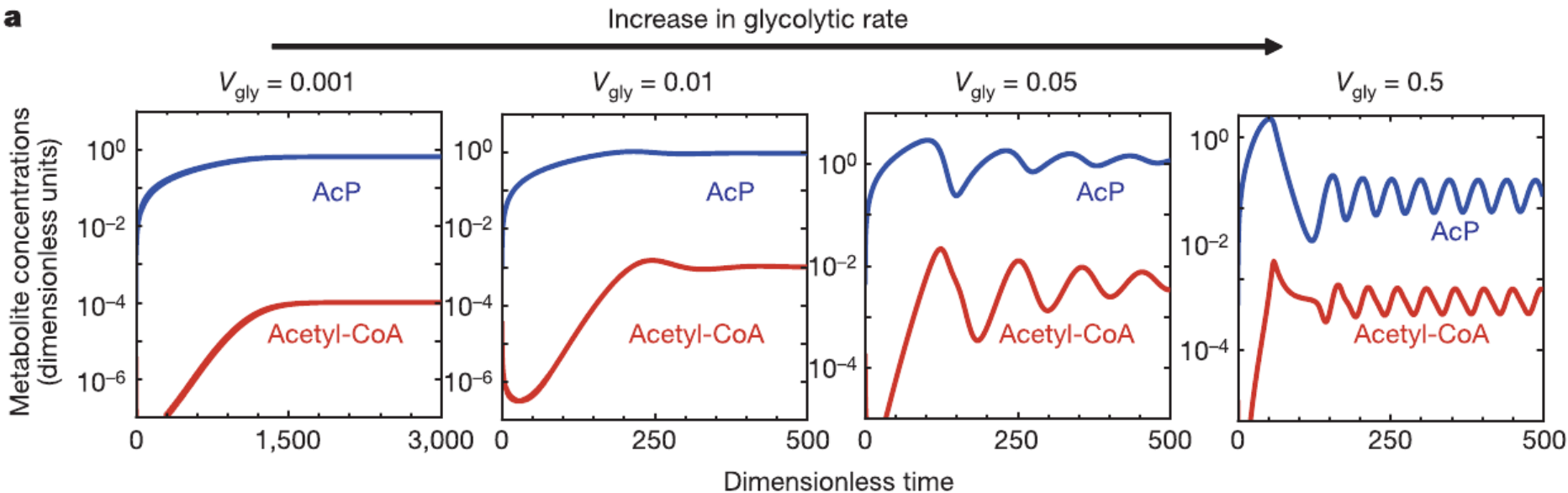
- The oscillation is transmitted (more or less faithfully) to daughter cells



# Modeling the oscillator

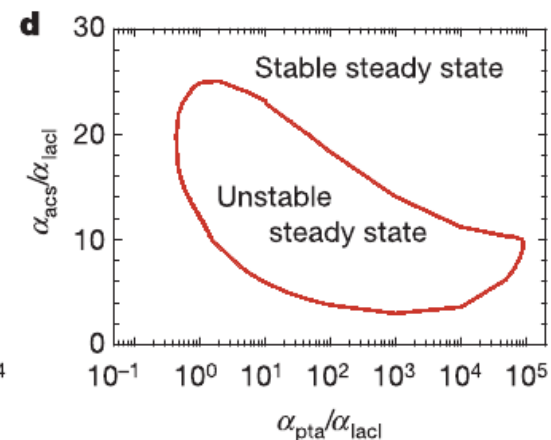
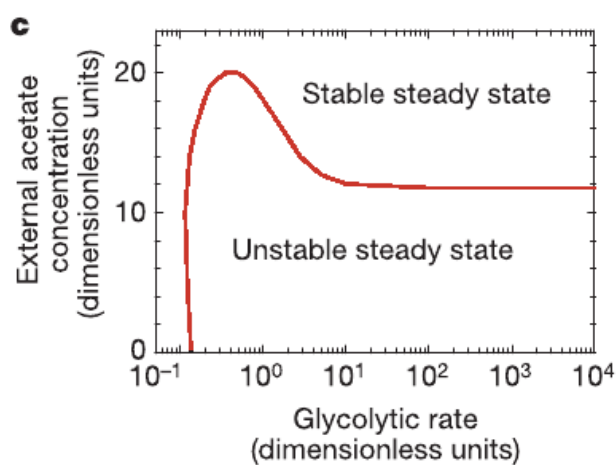
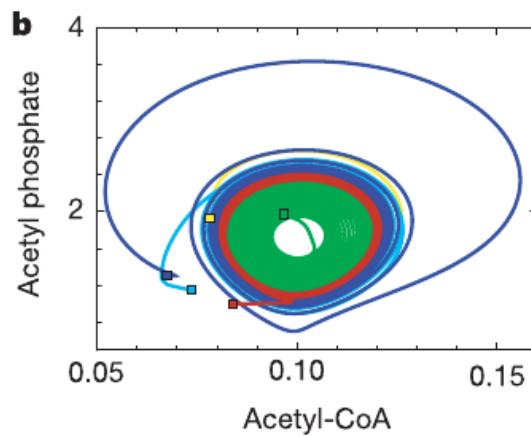
- Use Michaelis-Menten for the enzyme kinetics and Hill functions for the gene regulation
- Oscillations are predicted at high glucose flux

a



# Modeling the oscillator

- The oscillator is a limit cycle
- External acetate stabilizes the system
- The enzyme concentrations have to be in the right range



# Test theoretical predictions

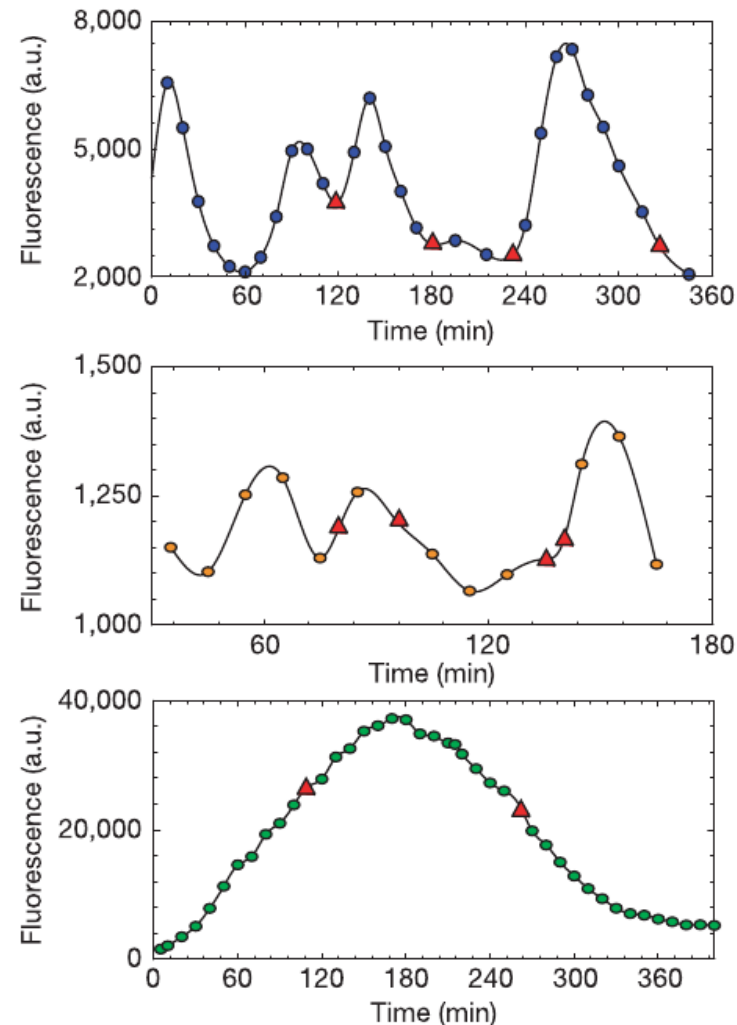
- Change the glycolytic flux by changing carbon source

fructose

mannose

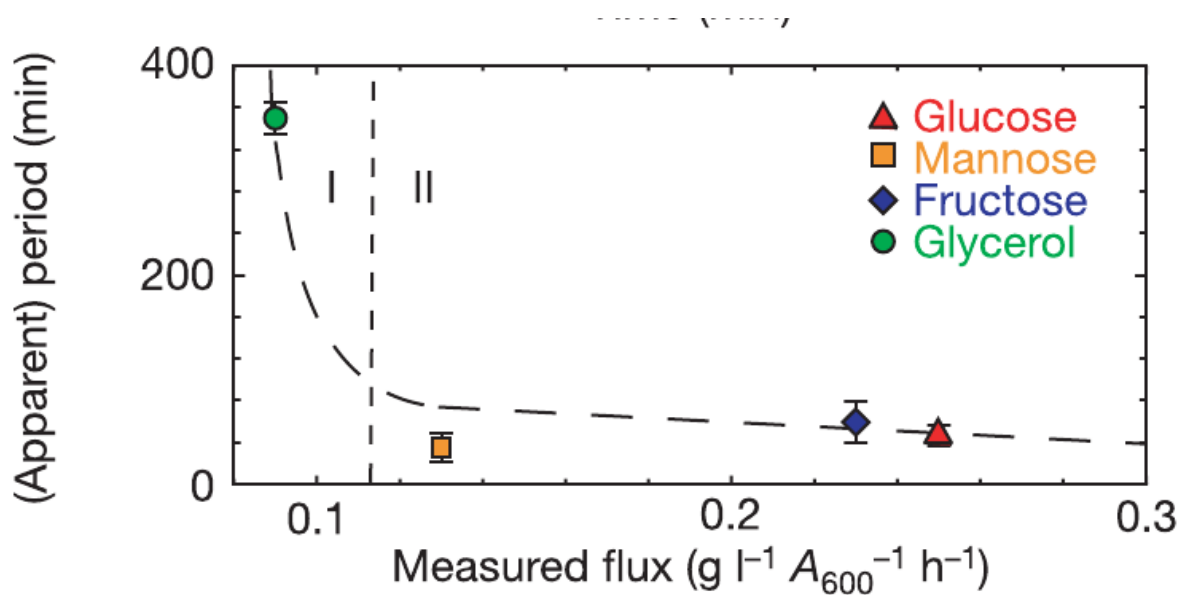
glycerol

Red triangle:  
cell division



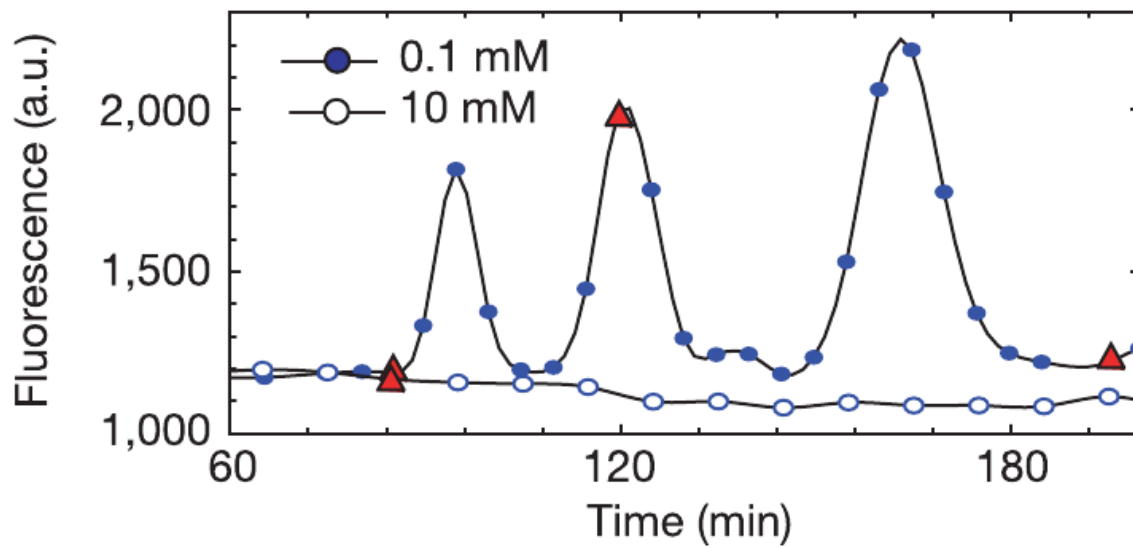
# Test theoretical predictions

- Different carbon flux leads to different periods of the oscillation (apparent oscillation for glycerol)



# Test theoretical predictions

- External acetate suppresses the oscillation

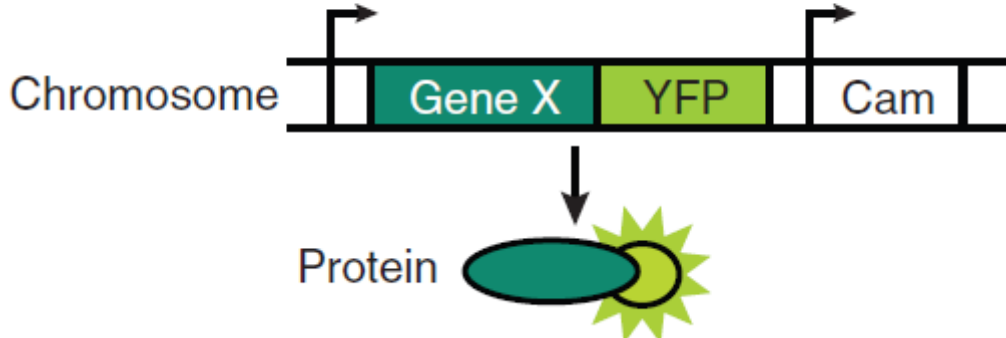


# Single cell imaging of fusion proteins

- Measure fluorescence of fusion proteins

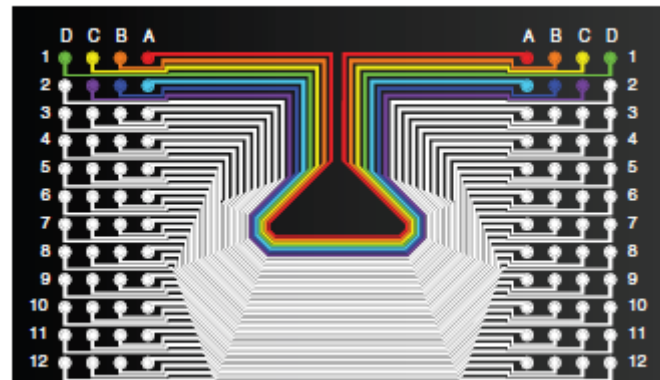
A

Chromosomal YFP-protein fusion library



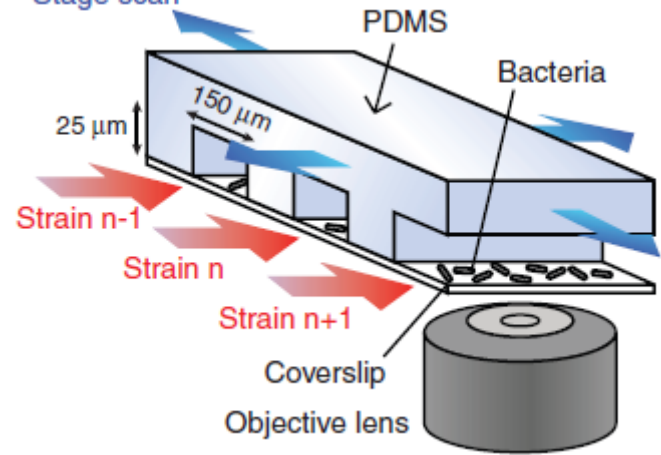
B

Top view



Stage scan

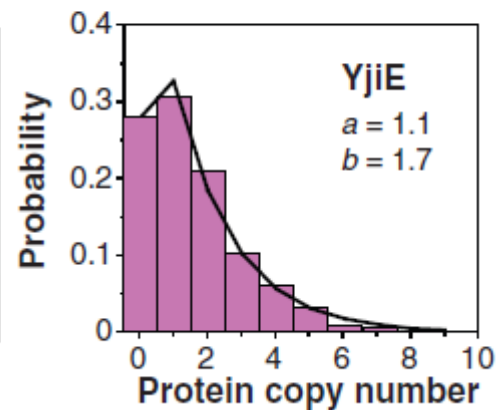
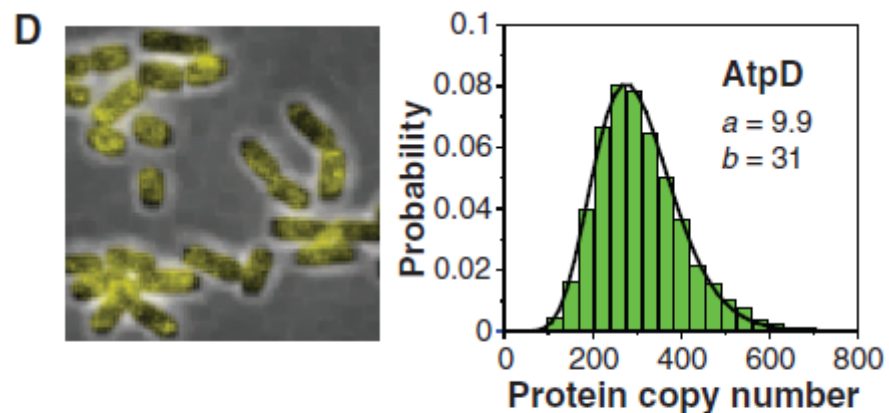
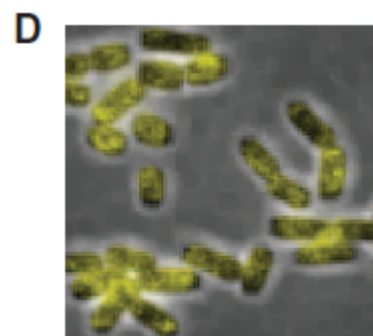
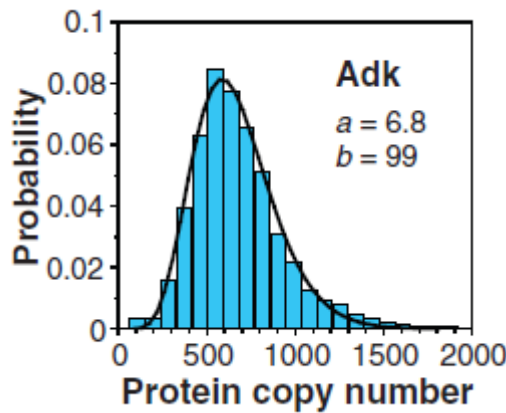
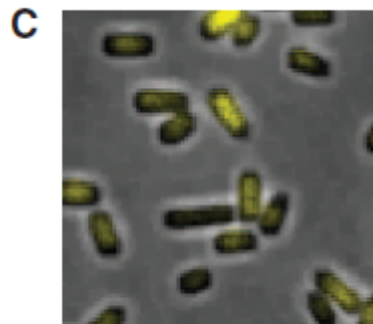
Side view



# The number of proteins is gamma distributed

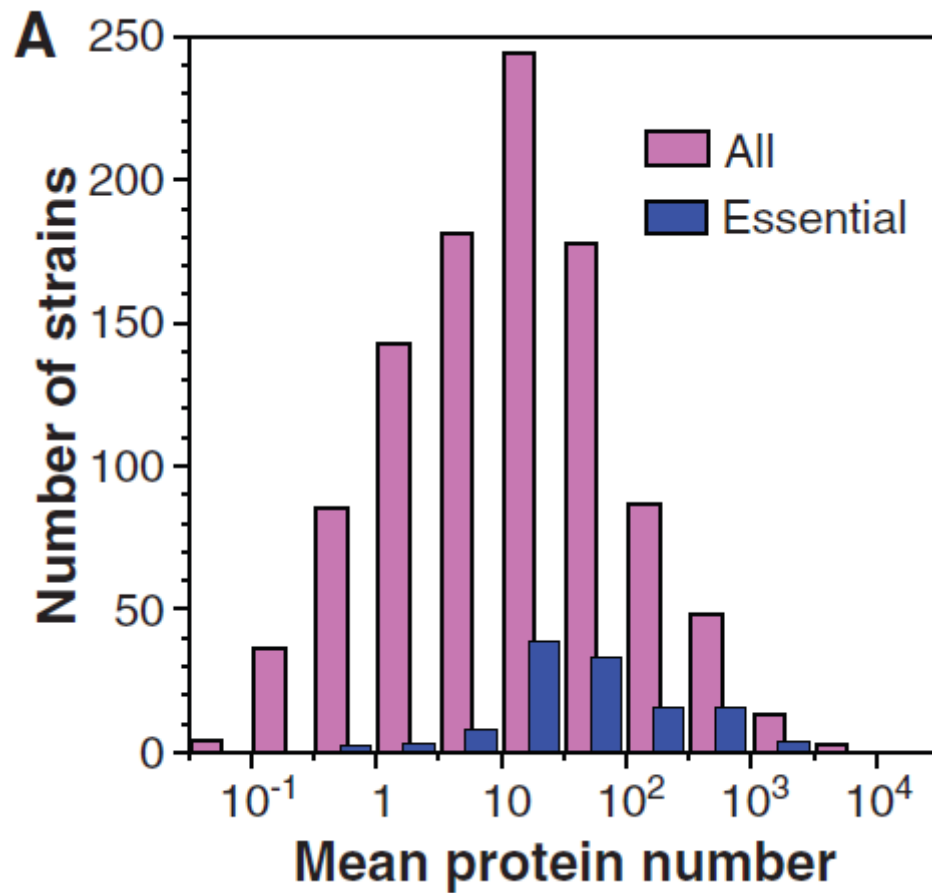
- Examples of protein distributions

$$p(x) = \frac{x^{a-1} e^{-x/b}}{\Gamma(a)b^a}$$



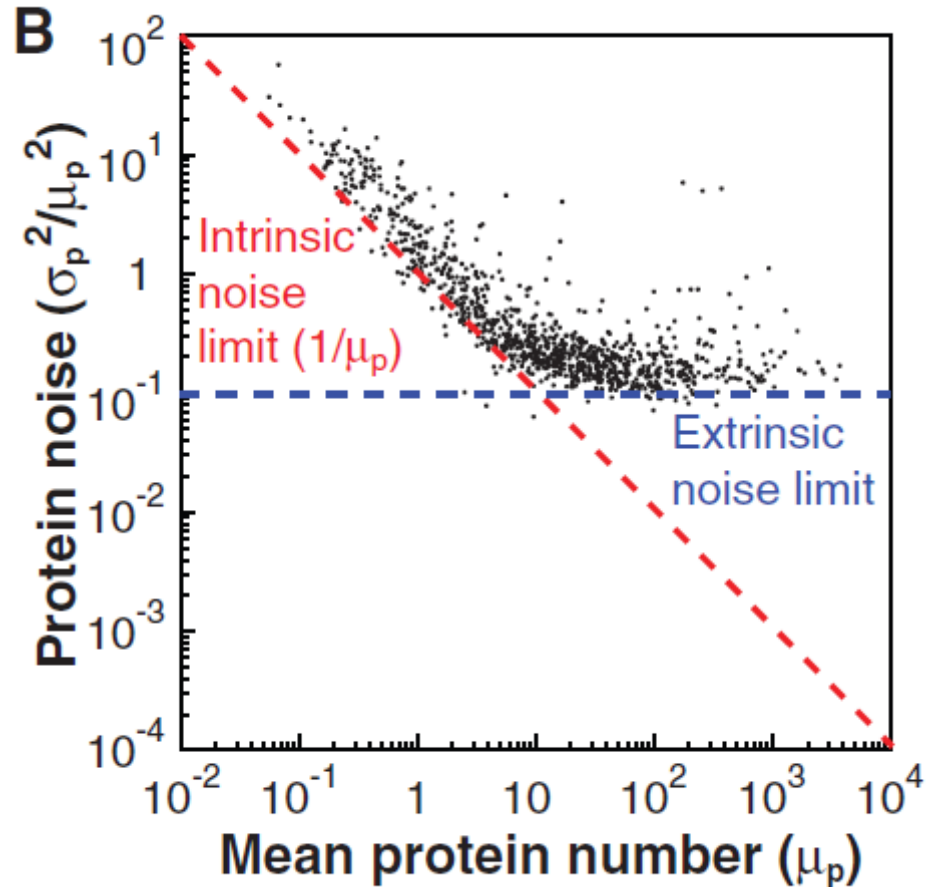
# Essential proteins are more abundant

- Many proteins are present in low abundance



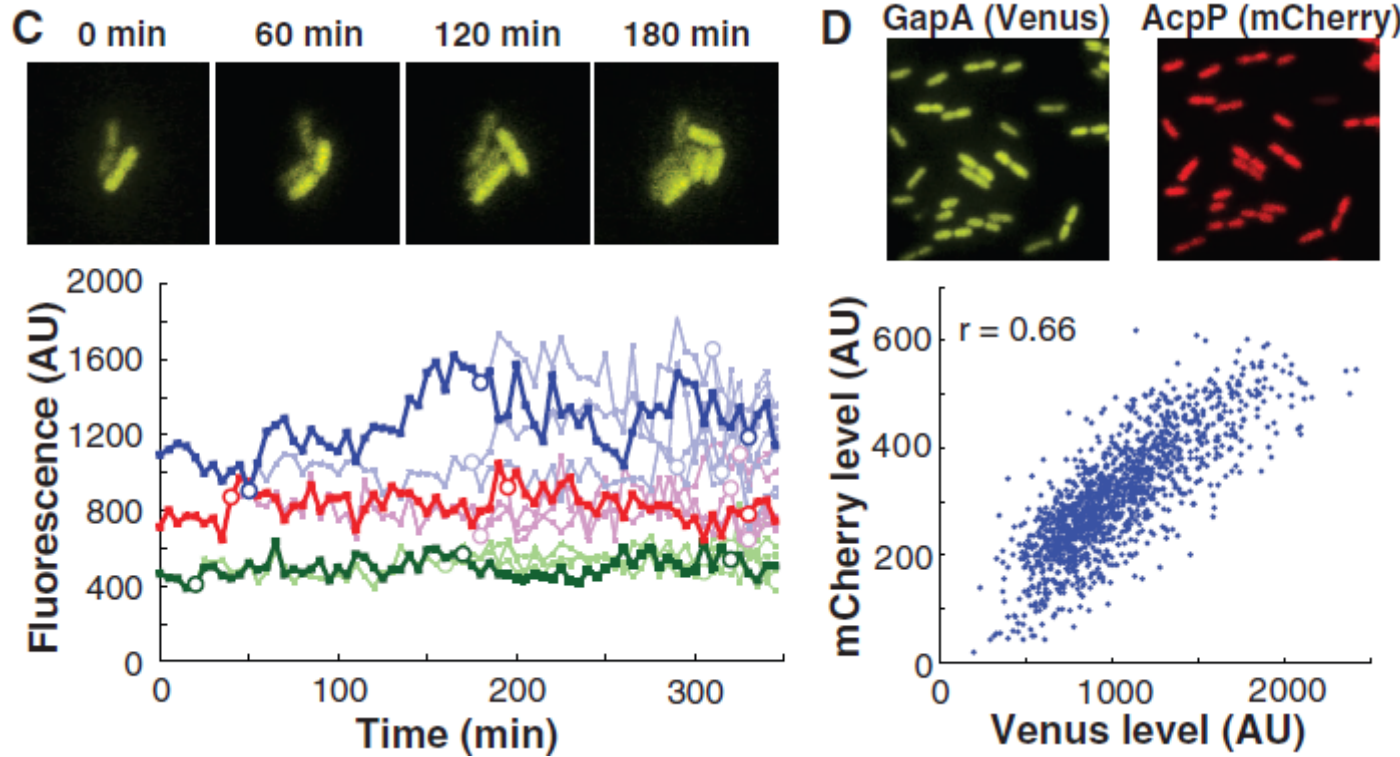
# Noise of protein expression

- Noise  $\eta_p^2 \equiv \sigma_p^2 / \mu_p^2$
- is equal to the gamma parameter  $a$
- proportional to protein abundance for  $N < 10$  proteins per cell. This indicates intrinsic noise



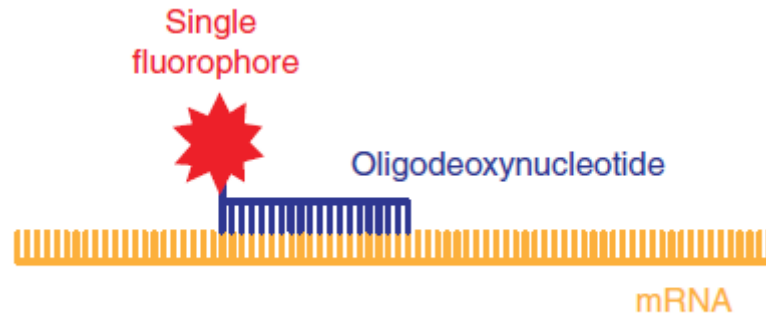
# Fluctuations in protein levels are slow

- The extrinsic noise of highly expressed proteins is correlated (global factors, cellular component, such as ribosomes, etc.)

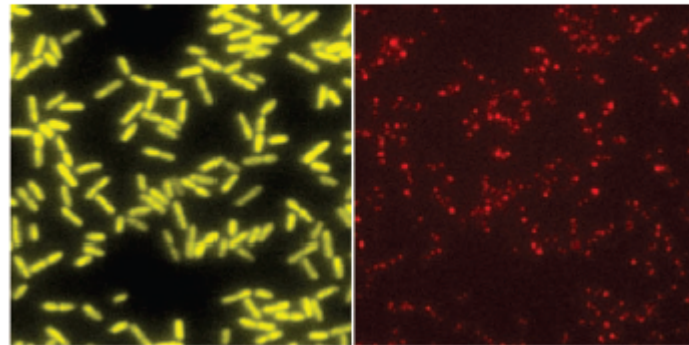


# Measuring RNA molecules by FISH

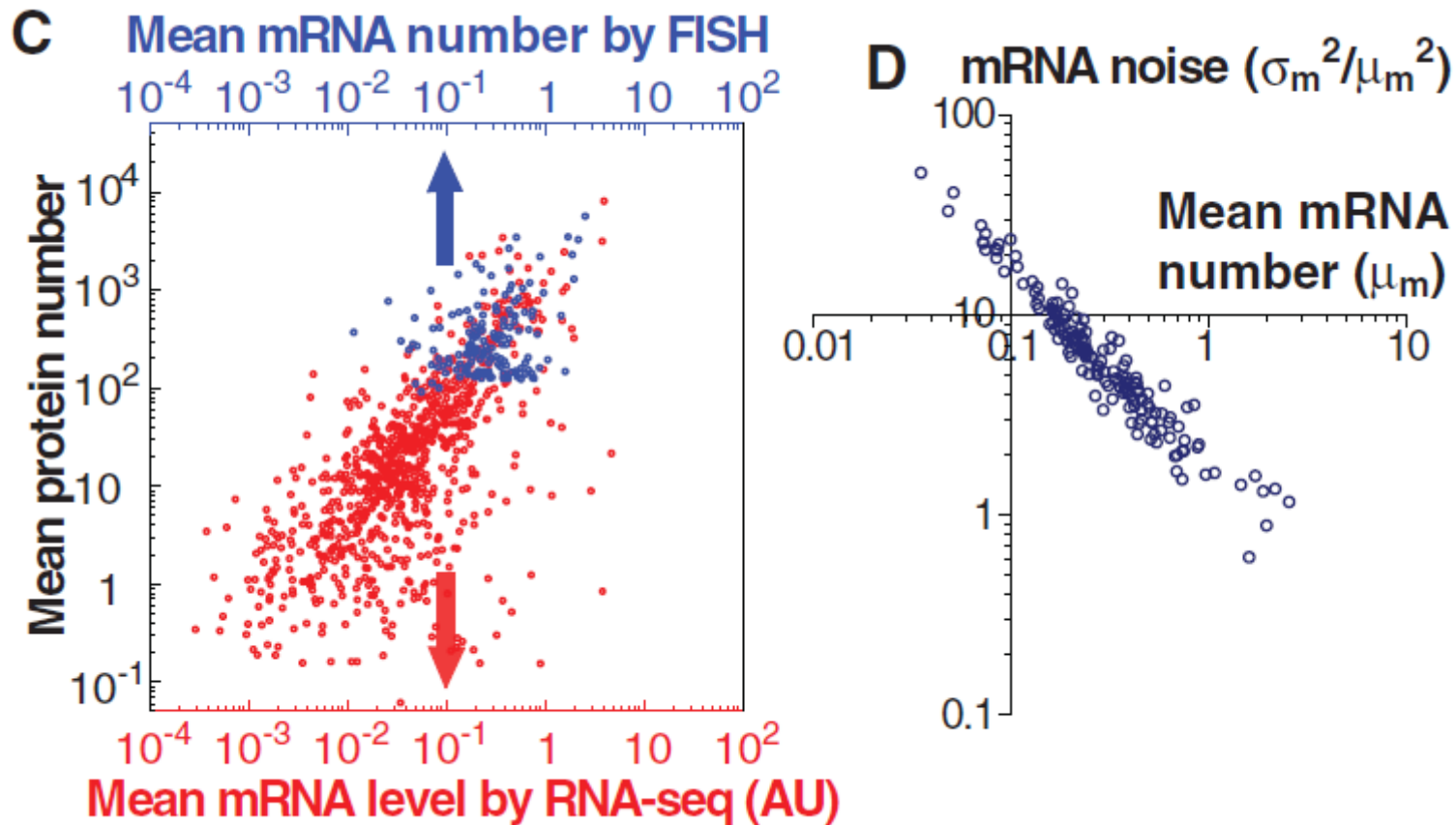
- target yfp RNA



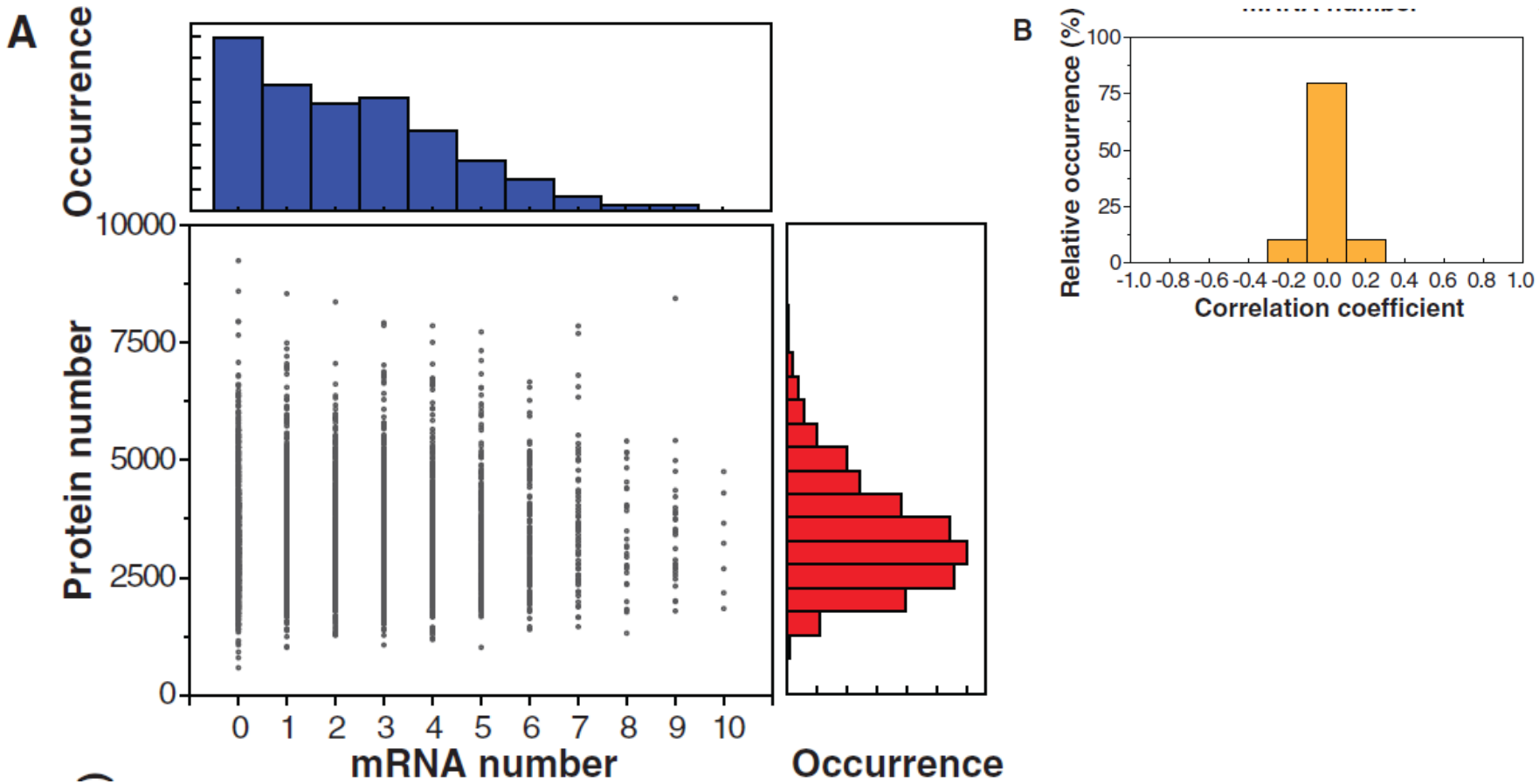
YFP fluorescence  
514 nm ex.  
*yfp* mRNA  
with Atto 594 probe  
580 nm ex.



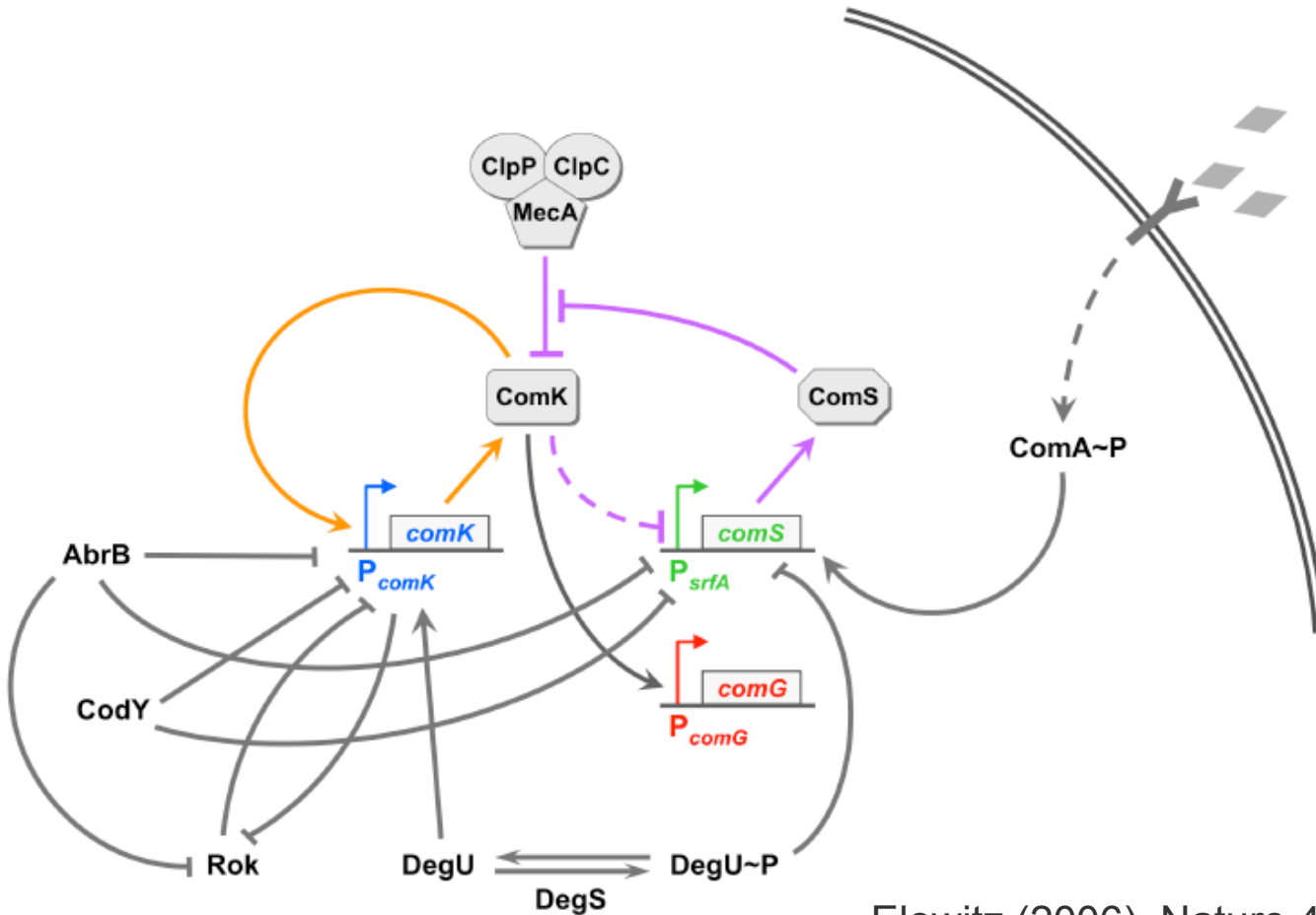
# General correlation between mRNA and protein concentrations and random noise



# No correlation between mRNA and protein level in a single cell



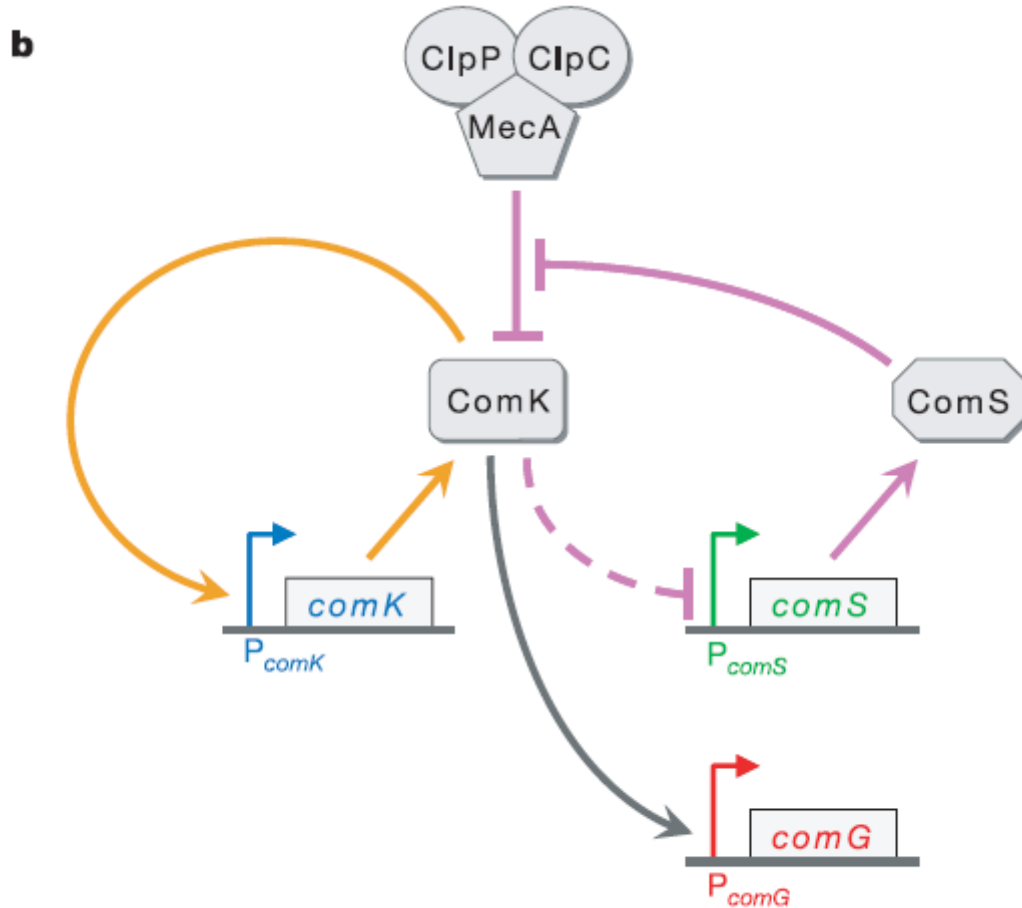
# Regulation of competence



Elowitz (2006), Nature 440, 545-550

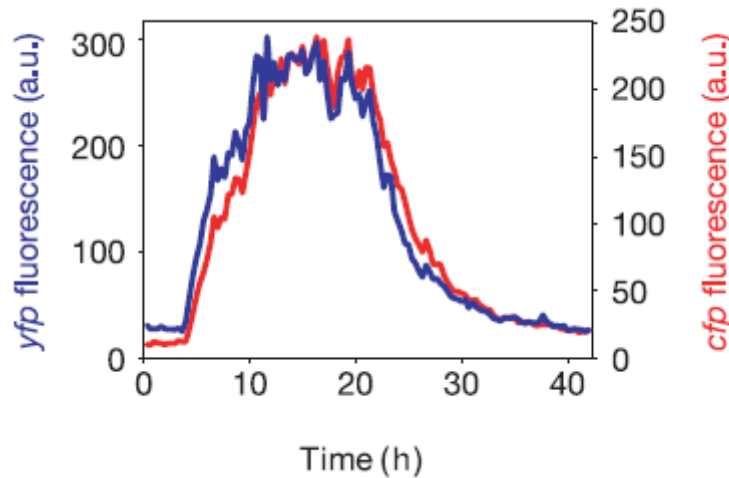
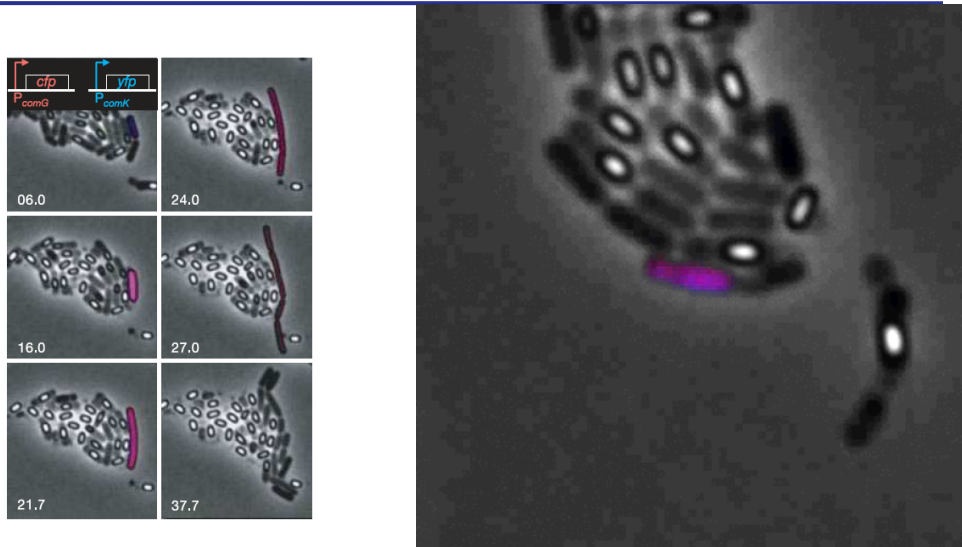
# Simplified MeKS model

- Focus on the essential system components

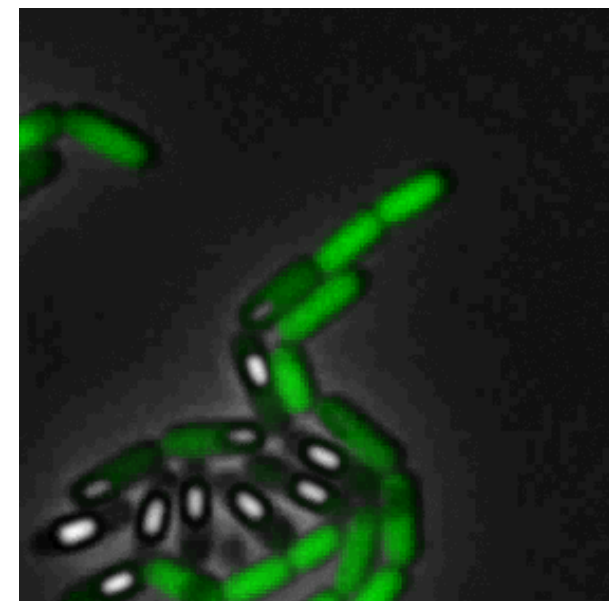
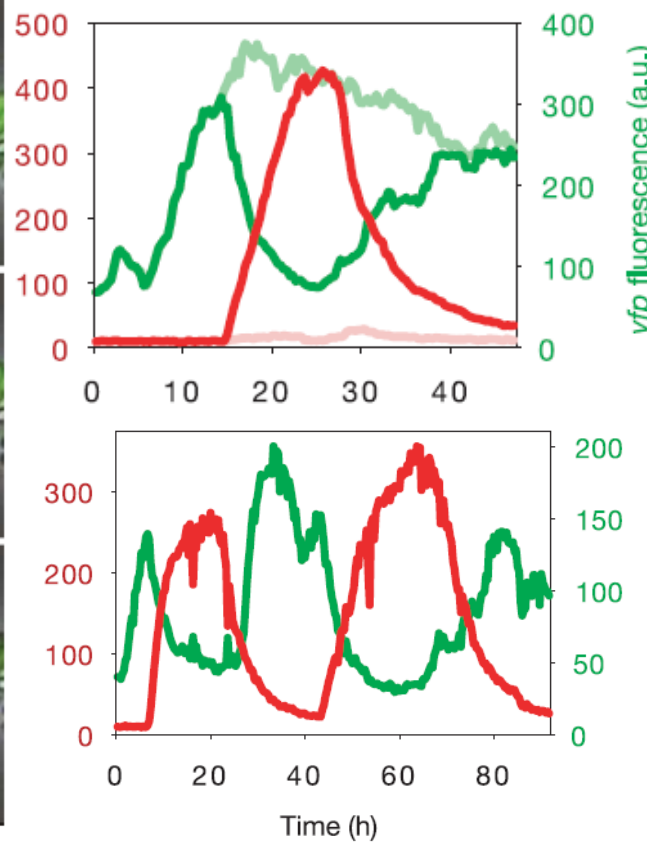
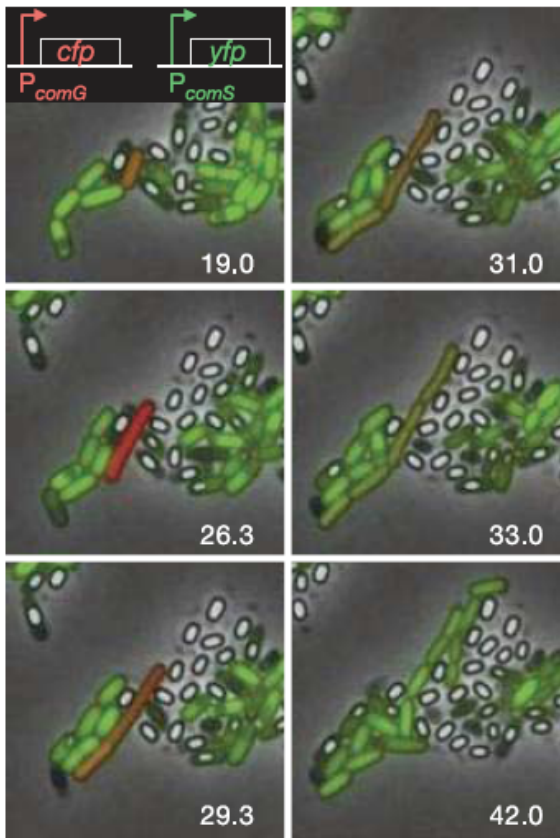


# $P_{comG}$ and $P_{comK}$ activities are highly correlated

- $comG$  is a target of ComK
- $comK$  is a target of ComK, but many other genes regulate  $comK$
- If the activities of  $P_{comK}$  and  $P_{comG}$  are correlated, the other influences on comK are less important



# Activities of the *comG* and *comS* promoters



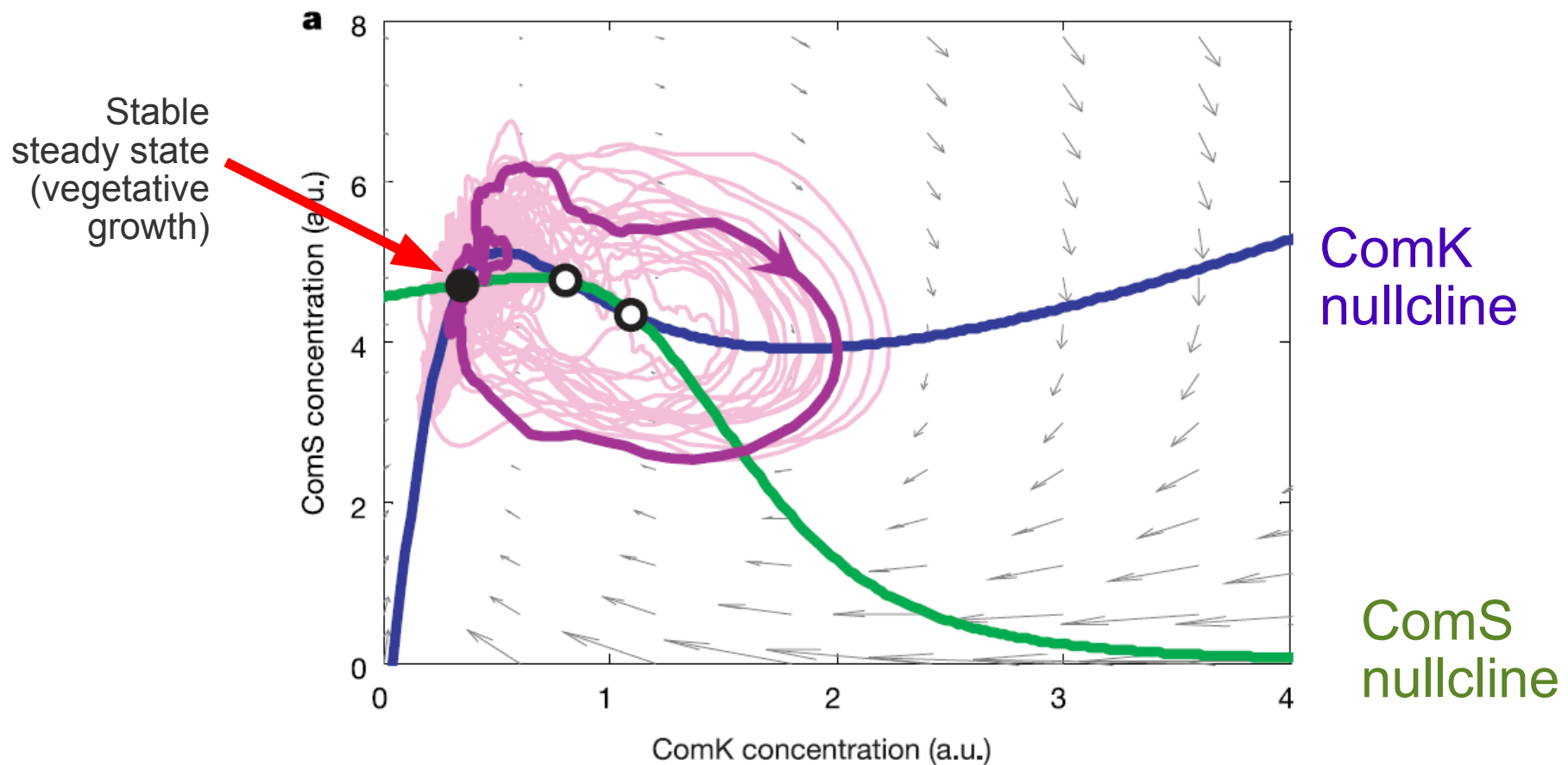
Faint: non-competent sister cell

# Model of the MeKS system

	Auto- activation	Competitive inhibition
$\frac{dK}{dt} = a_k + \frac{b_k K^n}{k_0^n + K^n} - \frac{K}{1 + K + S}$		
$\frac{dS}{dt} = \frac{b_s}{1 + (K/k_1)^p} - \frac{S}{1 + K + S} + \xi(t)$	Inhibition	noise

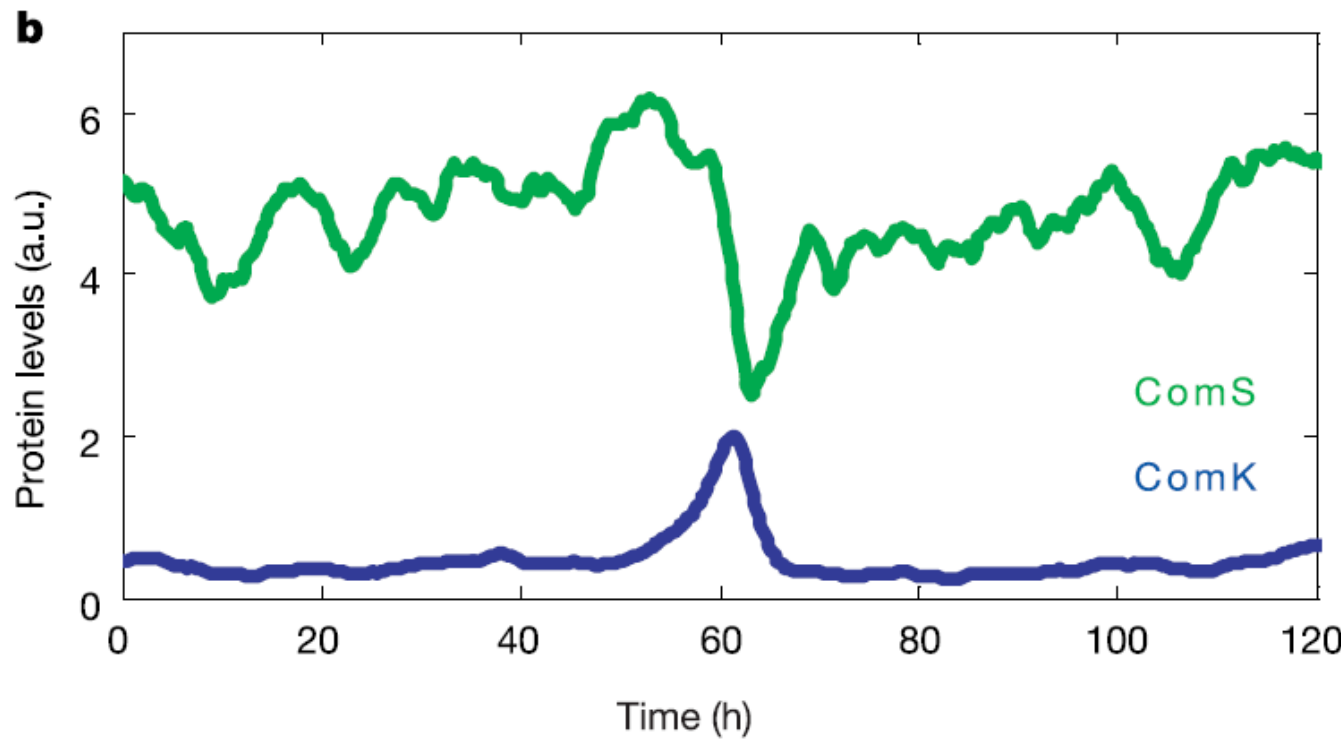
# Analysis of the dynamical system

- Phase plane diagram for ComK and ComS



# Simulation of ComK and ComS trajectories

- Excursion triggered by noise
- Anticorrelation between ComK and ComS



# Dynamics of system functioning

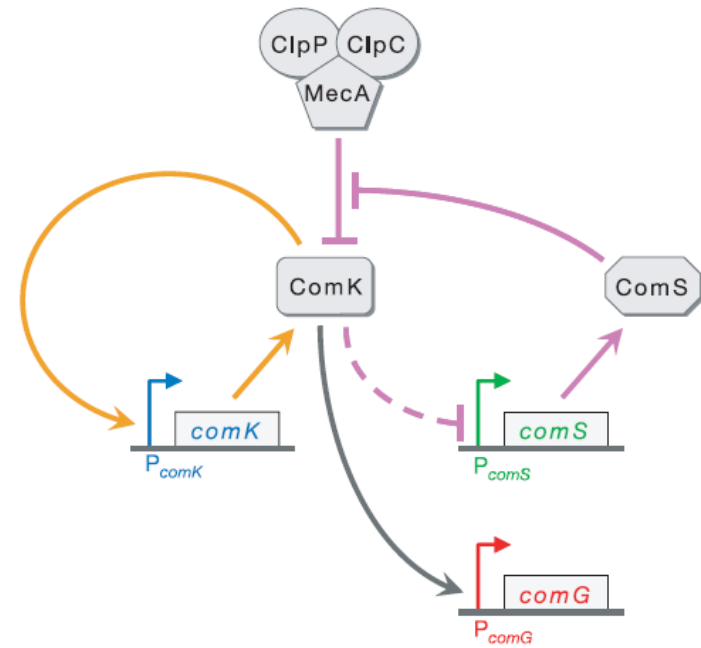
---

- After a transient excursion, the **fast**, positive feedback loop of ComK on itself leads to competence
- On a slower timescale, this initiates the ComS mediated negative feedback loop
- Increase in ComS concentration eventually shuts the system back “off” through increased ComK degradation

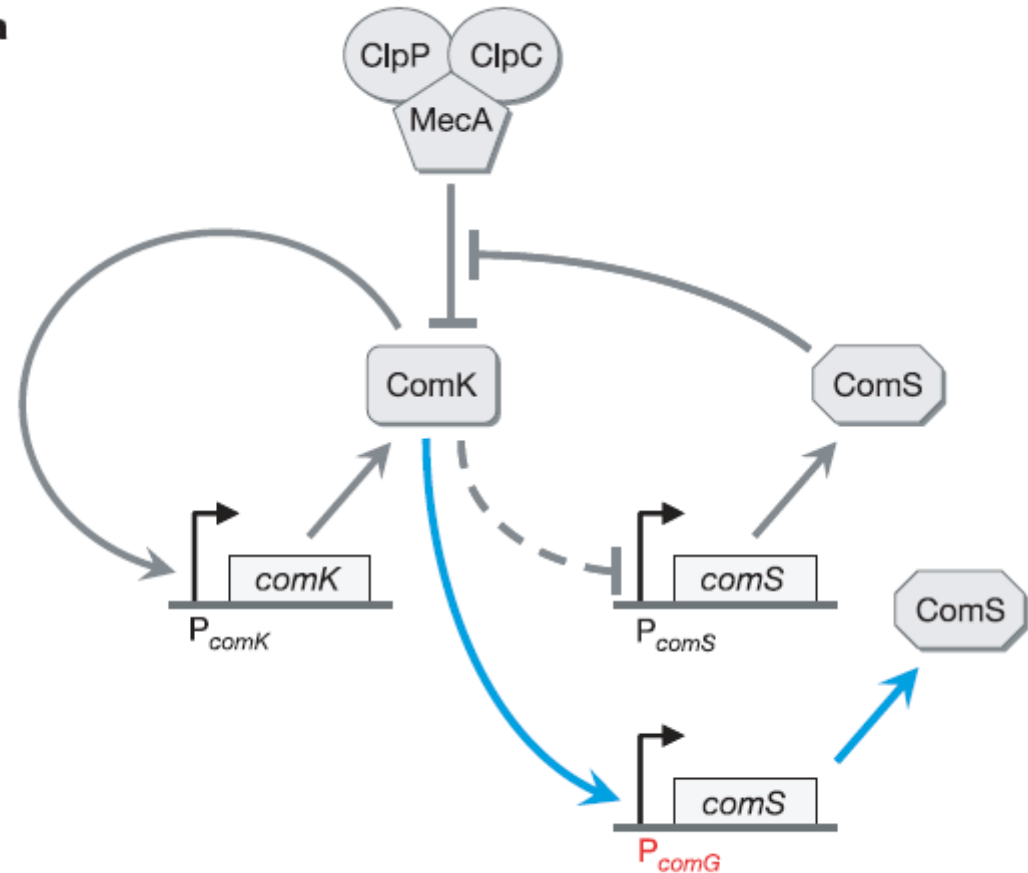
# Locking the system into competence mode

- Modify a connection to keep ComS during competence

b

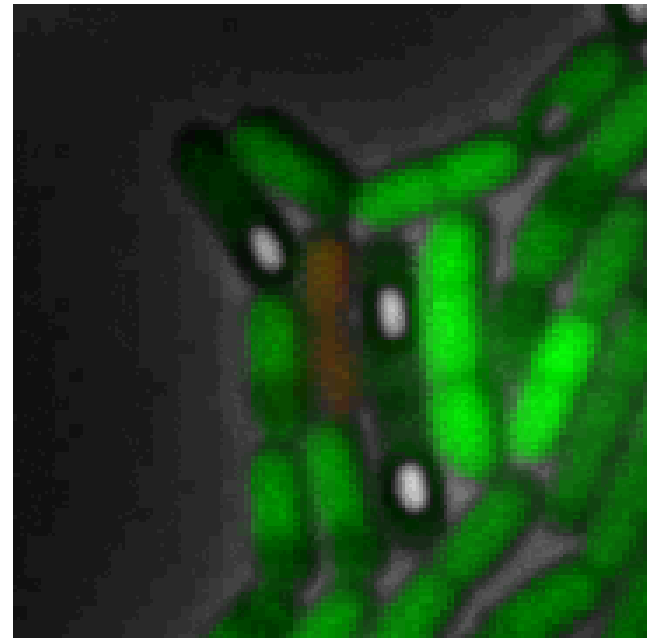
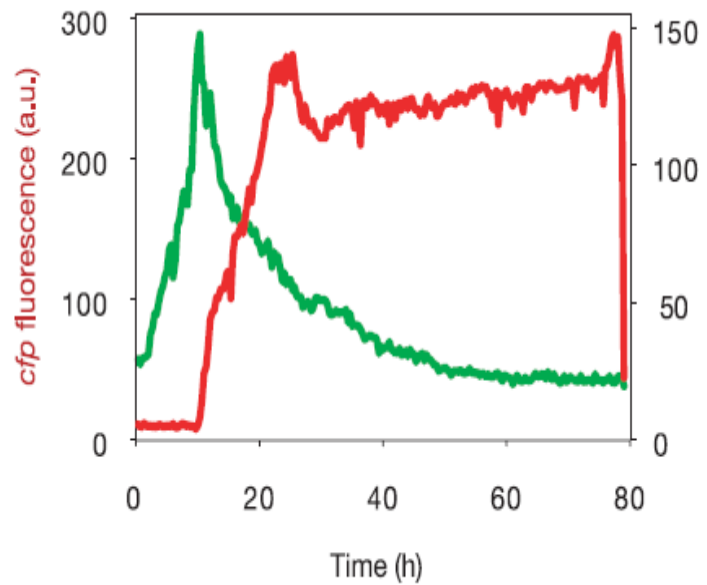
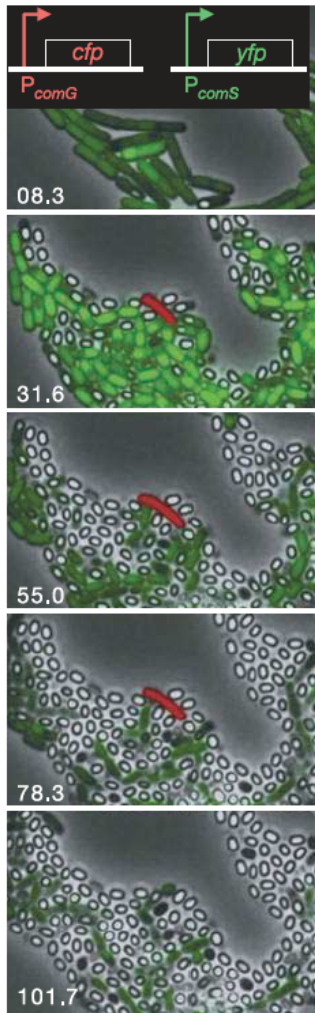


a



b

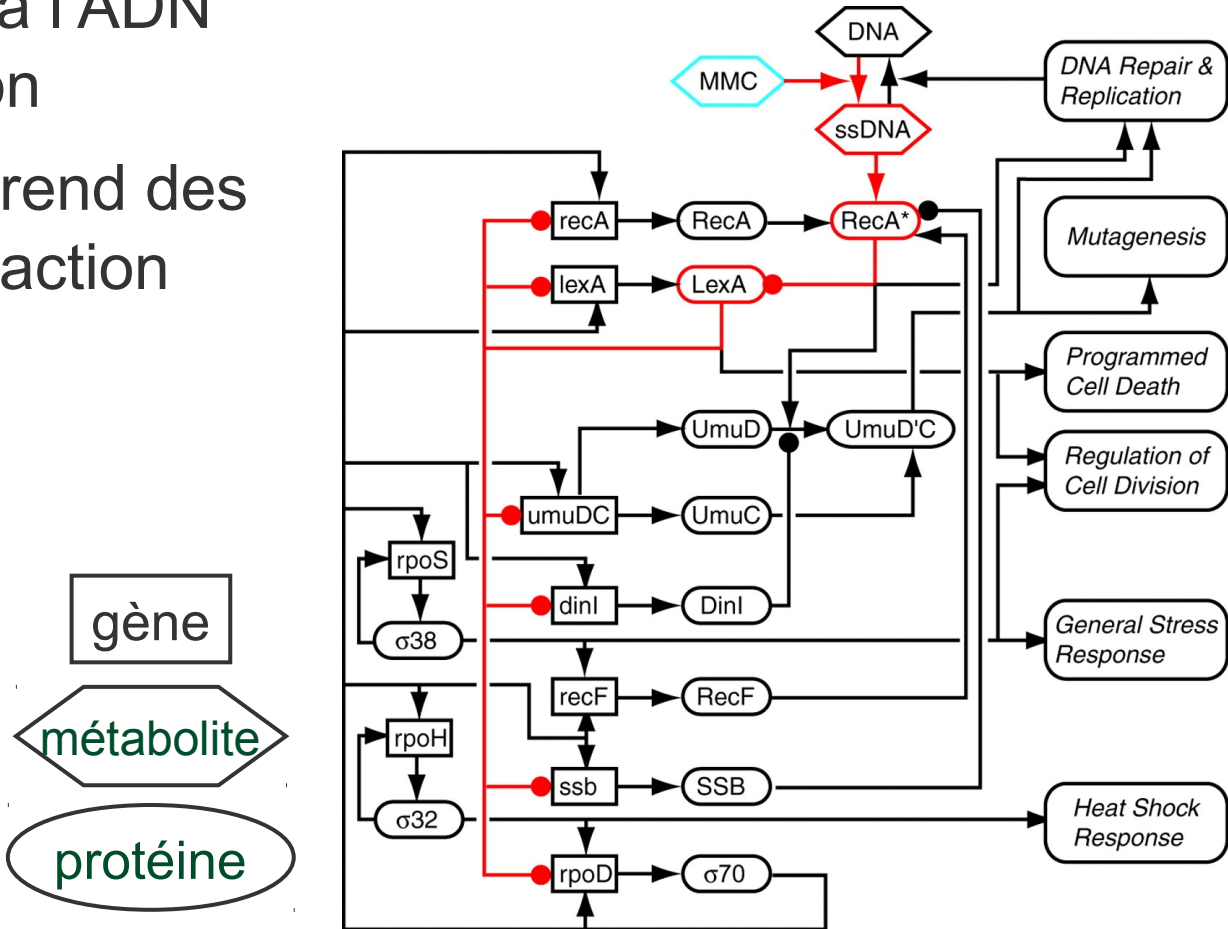
# The modified system can not escape from competence



# Le régulon SOS (version un peu plus complète)

- Les dommages à l'ADN induisent l'opéron
  - Le réseau comprend des boucles de rétroaction

## Interactions principales



# Reconstruction du réseau de régulation à partir de données d'expression

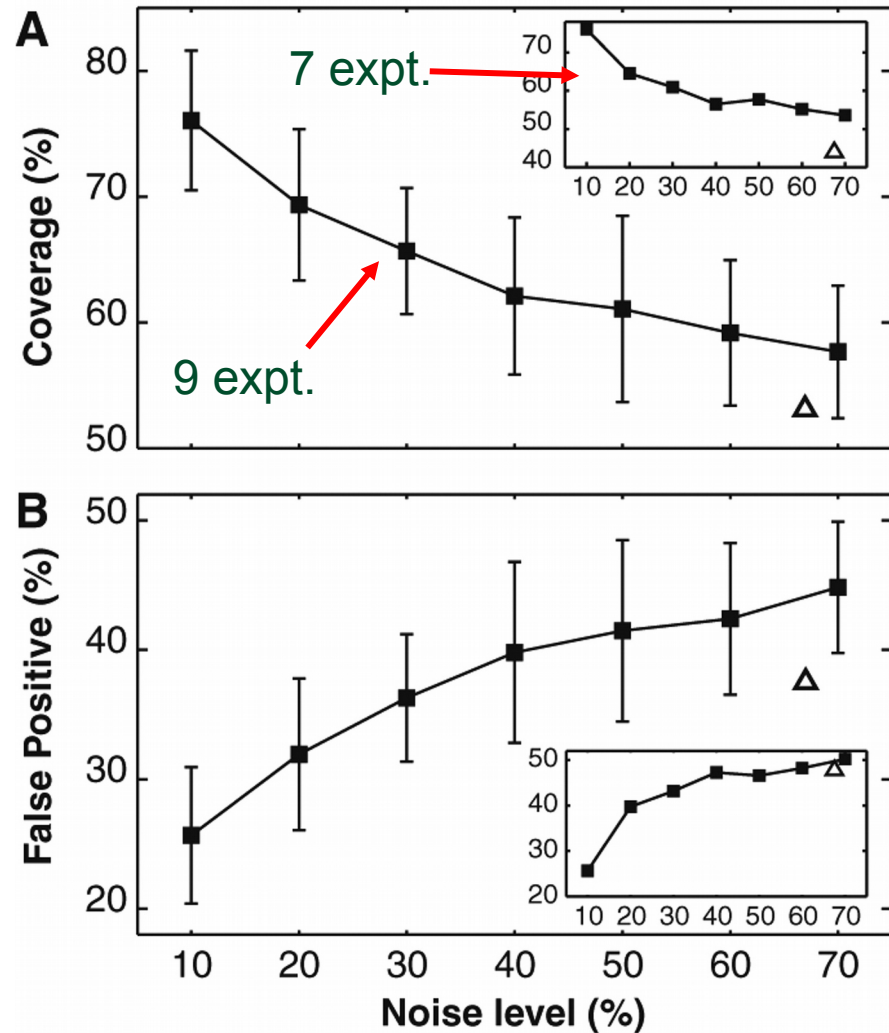
---

- Mesurer la concentration d'ARNm des 9 principaux composants du réseau de régulation
- Perturber le réseau : surexpression d'un des neuf gènes
- Mesurer le nouvel état stationnaire du système
- Simplifier les interactions entre gènes à des interactions linéaires
- Trouver le jeu de paramètres qui décrit le mieux les changements observés

# La reconstruction des interactions dans un réseau de régulation est très sensible aux erreurs expérimentales

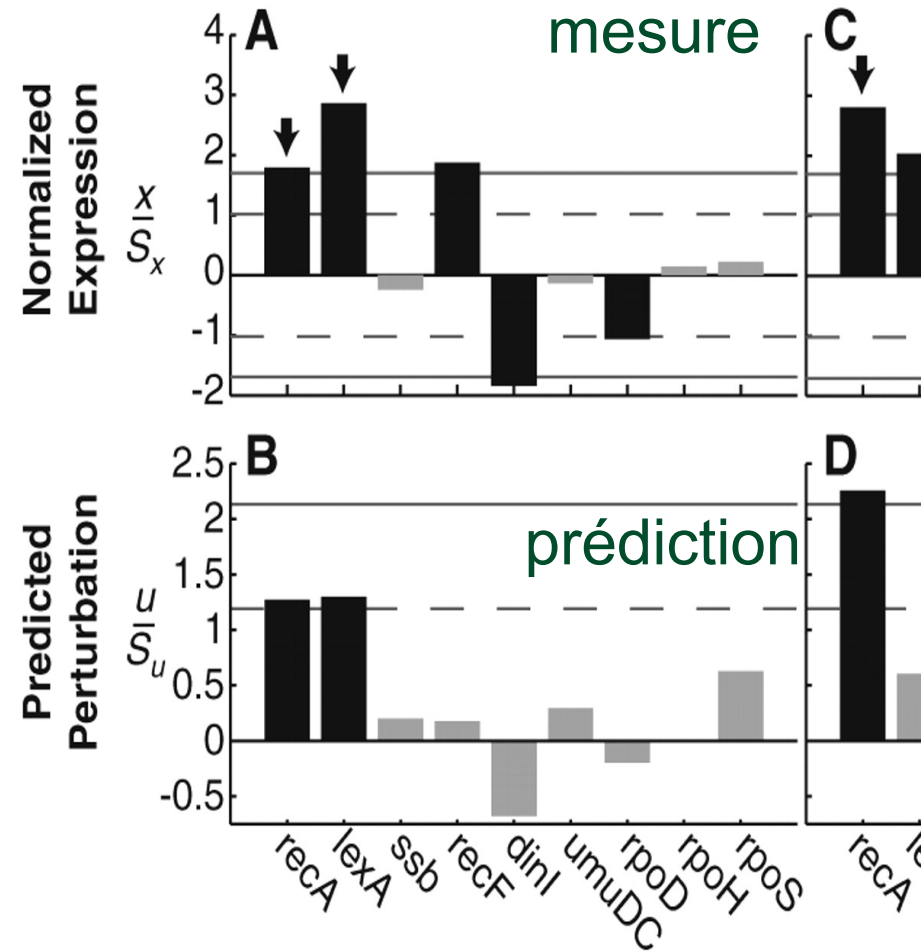
- Simulation d'un réseau de neuf gènes
- Rajouter un bruit expérimental
- Reconstruire le réseau
- Evaluer le nombre de bonnes et mauvaises connexions trouvées

Bruit expérimental : 68%



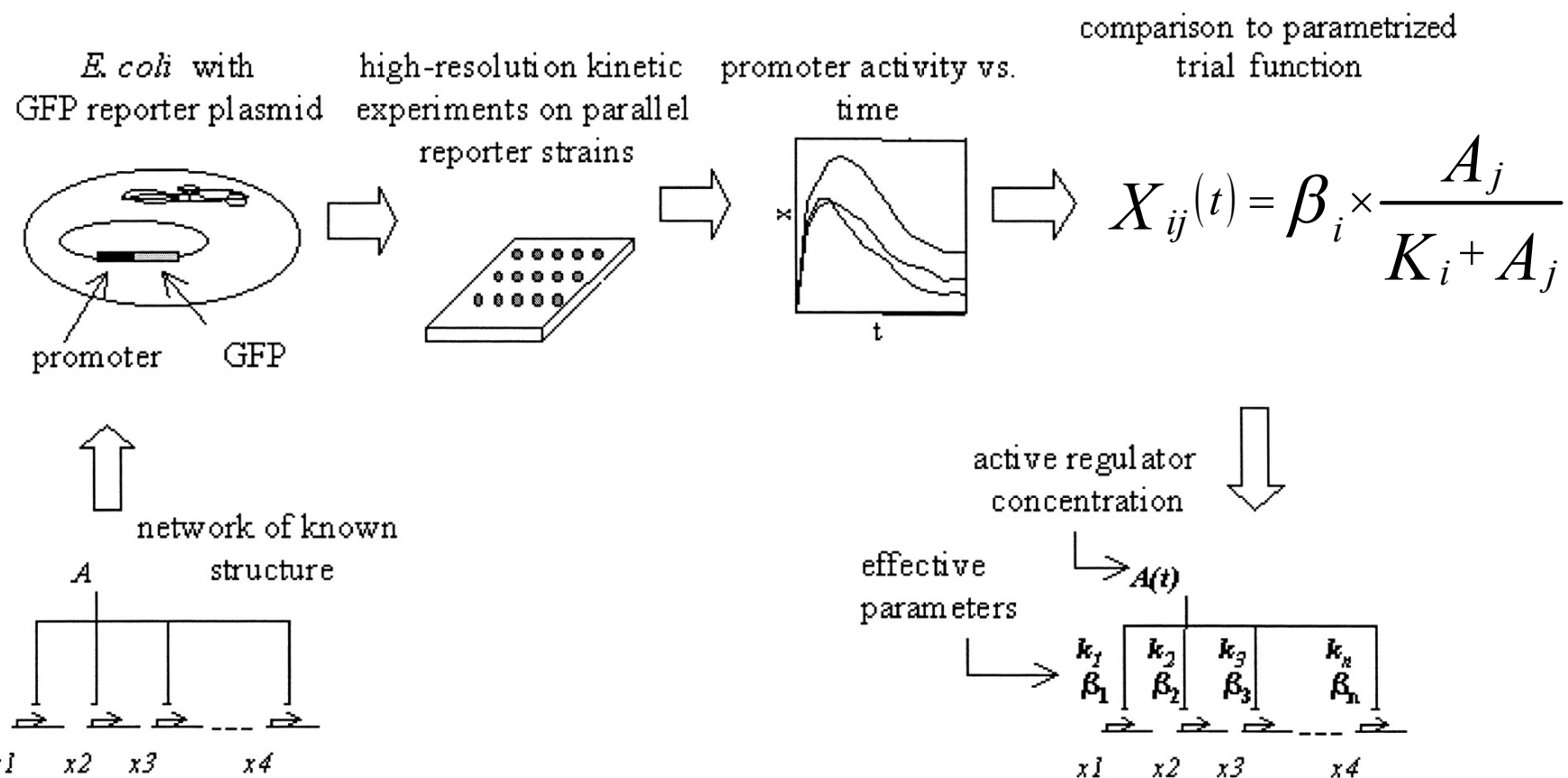
# Prédiction de l'effet d'une double perturbation

- Les gènes *recA* et *lexA* sont surexprimés simultanément
- Le réseau d'interaction est utilisé pour prédire le changement d'expression des neuf gènes
- Le résultat compare bien avec les mesures



# Déterminer les paramètres cinétiques d'un réseau d'interactions connu

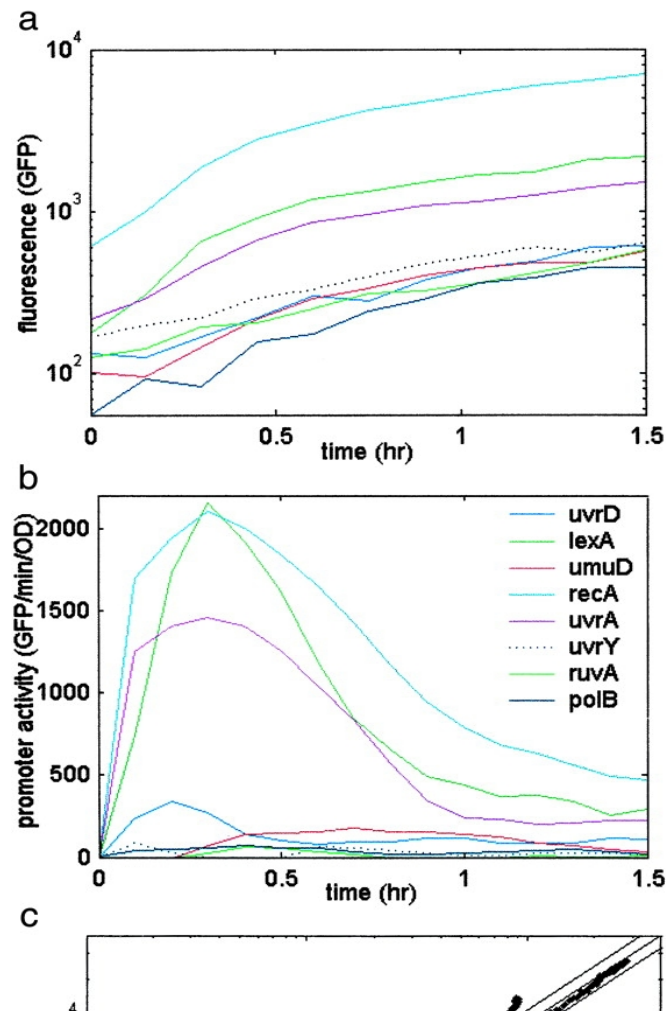
- Approche expérimentale



# L'utilisation d'un gène rapporteur permet de mesurer une série temporelle avec une bonne précision

- Mesure de la fluorescence tous les minutes pour tous les gènes

L'activité du promoteur est la dérivé de la courbe de fluorescence



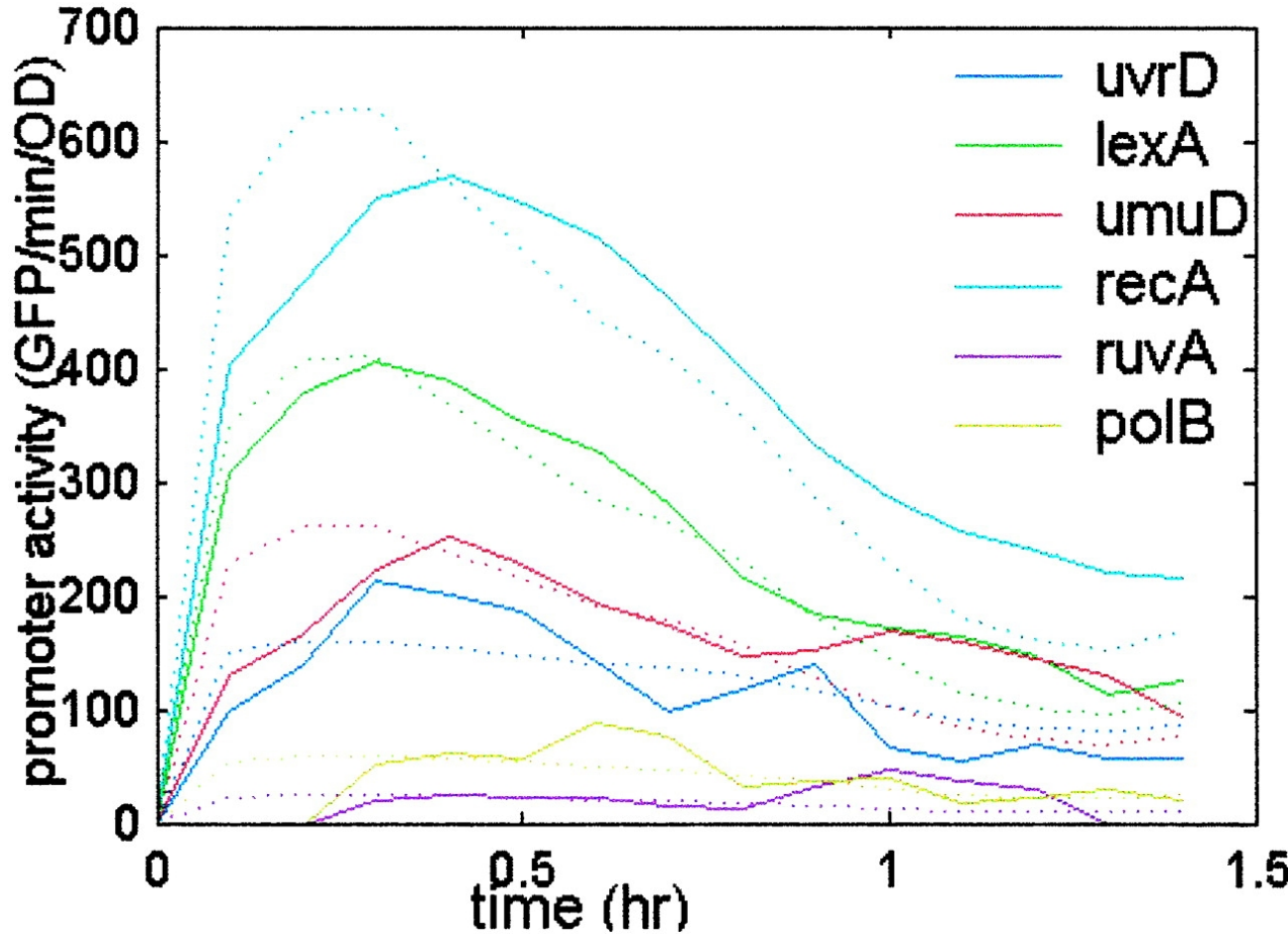
# Le fitting permet de déduire les paramètres

Table 1. The effective kinetic parameters for the SOS system ( $\pm$ SD)

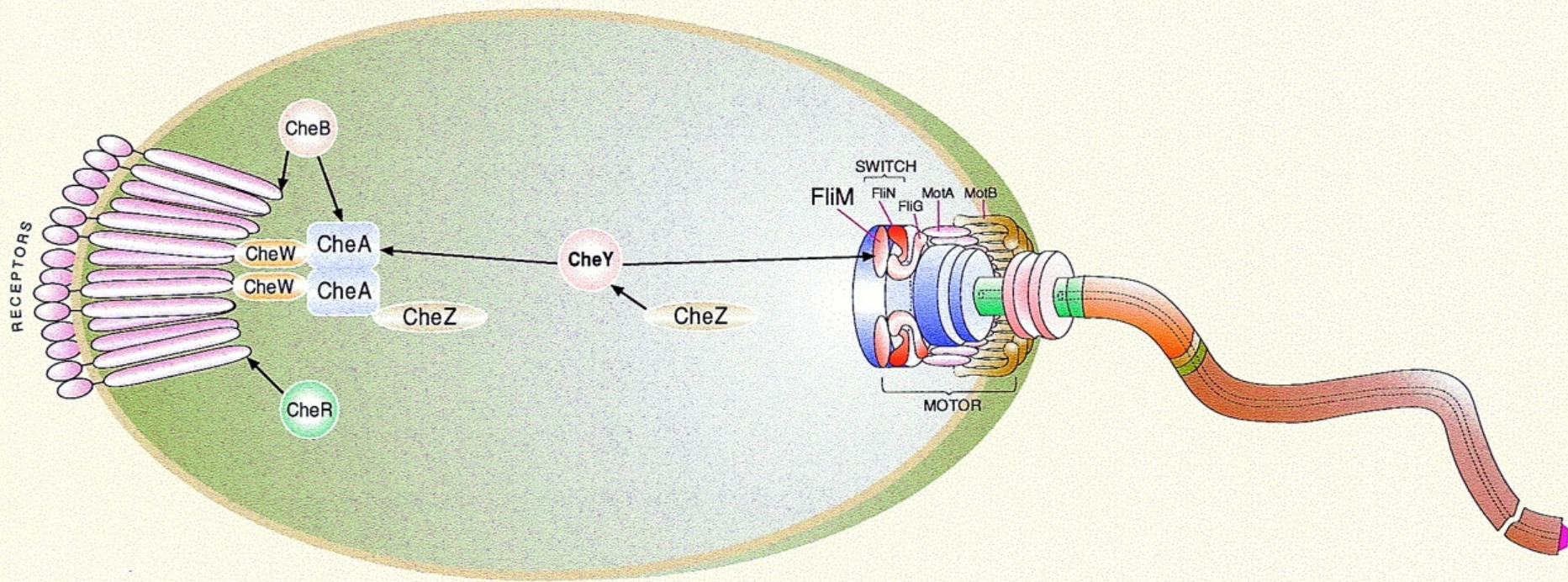
Gene	$k$	$\beta$	$E$	Function
<i>uvrA</i>	$0.09 \pm 0.04$	$2,800 \pm 300$	0.14	Nucleotide excision repair
<i>lexA</i>	$0.15 \pm 0.08$	$2,200 \pm 100$	0.10	Transcriptional repressor
<i>recA</i>	$0.16 \pm 0.07$	$3,300 \pm 200$	0.12	Mediates LexA autocleavage, blocks replication forks
<i>umuD</i>	$0.19 \pm 0.1$	$330 \pm 30$	0.21	Mutagenesis repair
<i>polB</i>	$0.35 \pm 0.15$	$70 \pm 10$	0.31	Trans-lesion DNA synthesis, replication fork recovery
<i>ruvA</i>	$0.37 \pm 0.1$	$30 \pm 2$	0.22	Double-strand break repair
<i>uvrD</i>	$0.65 \pm 0.3$	$170 \pm 20$	0.20	Nucleotide excision repair, recombinational repair
<i>uvrY</i>	$0.51 \pm 0.25$	$300 \pm 200$	0.45	SOS operon of unknown function, additional roles in two-component signaling
<i>lacZ</i>	—	—	1.53	Unrelated to SOS system

$E$  is the mean error for the promoter activity prediction (see *Methods*).

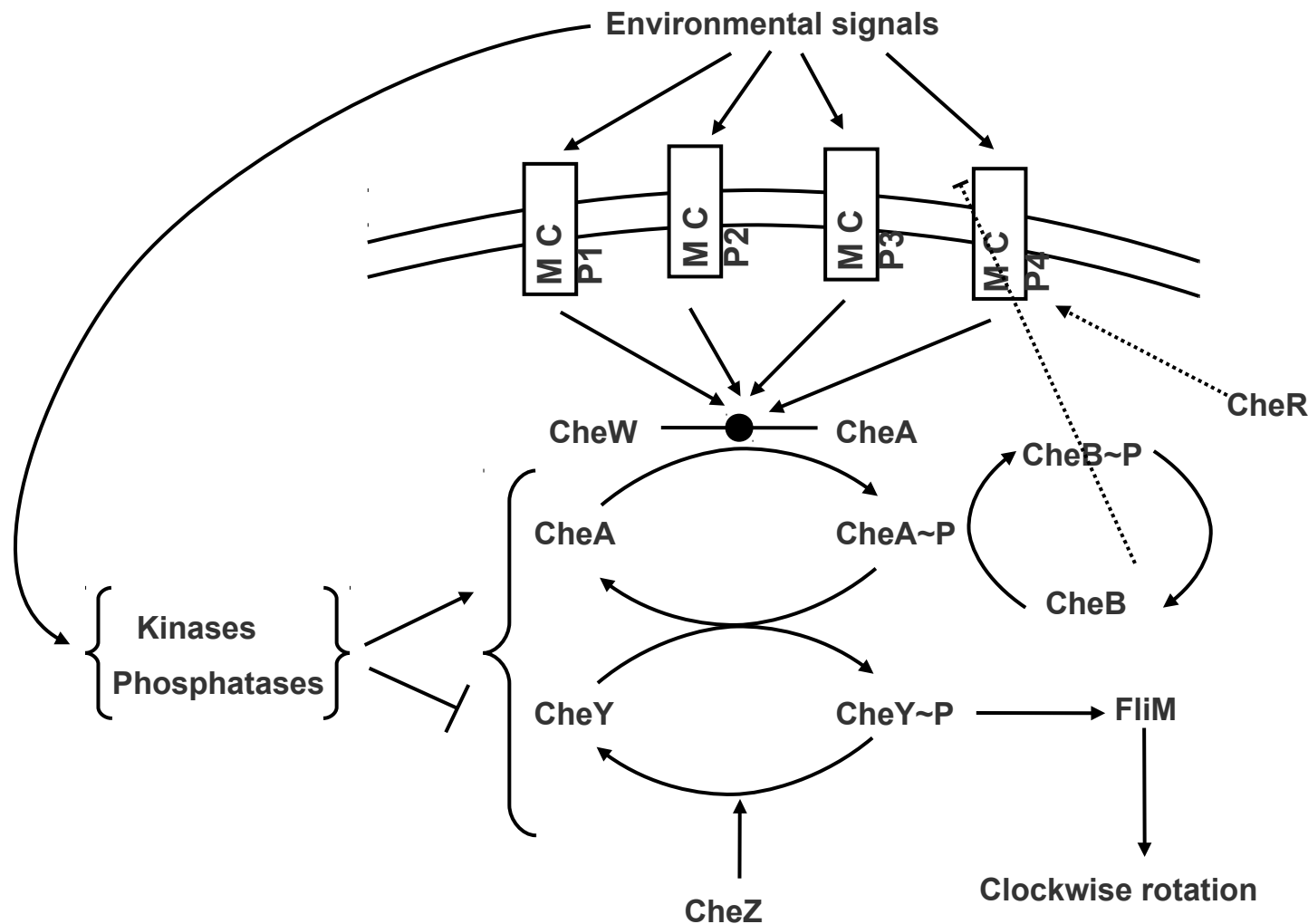
# Les paramètres prédisent correctement le comportement du système



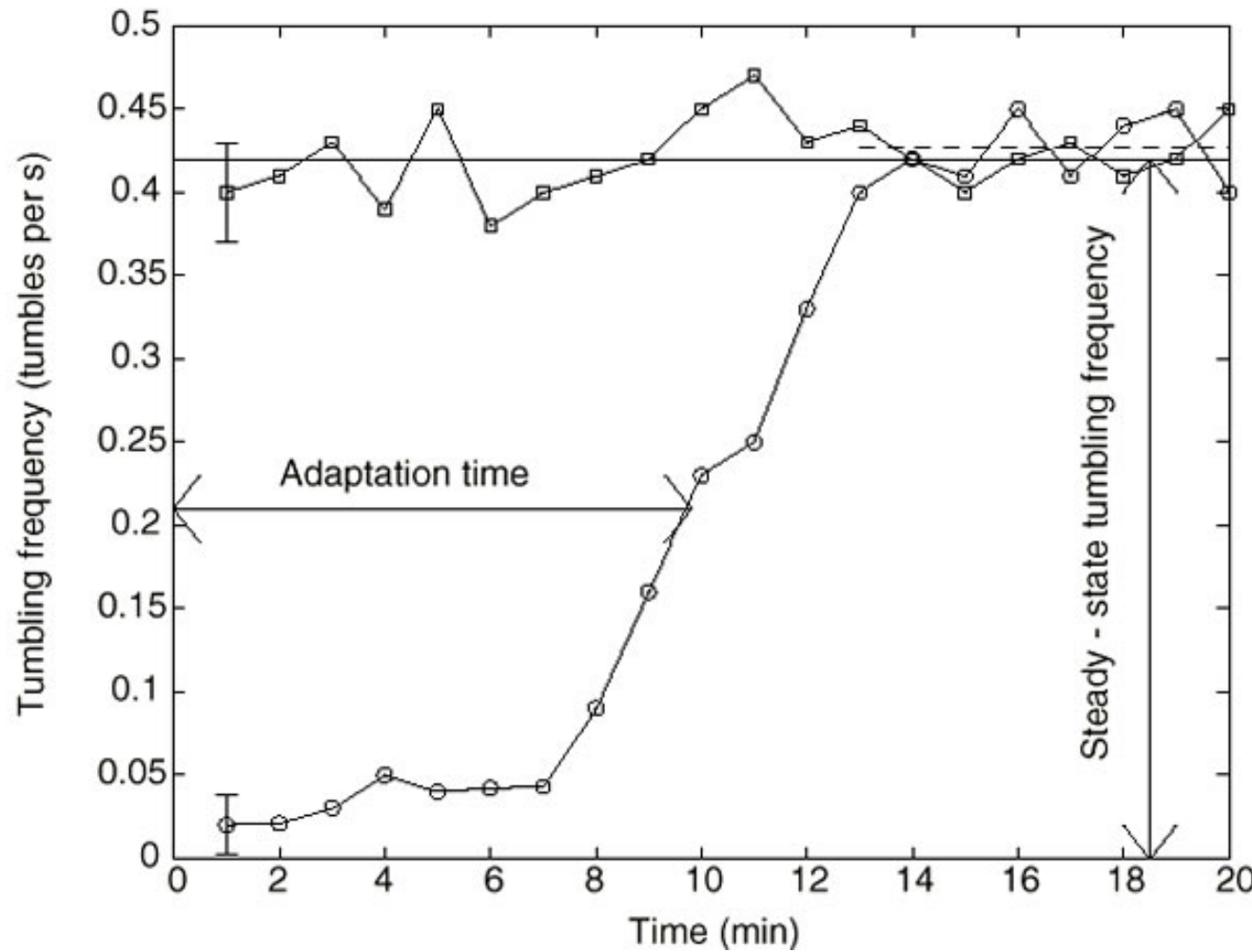
# Bacterial chemotaxis



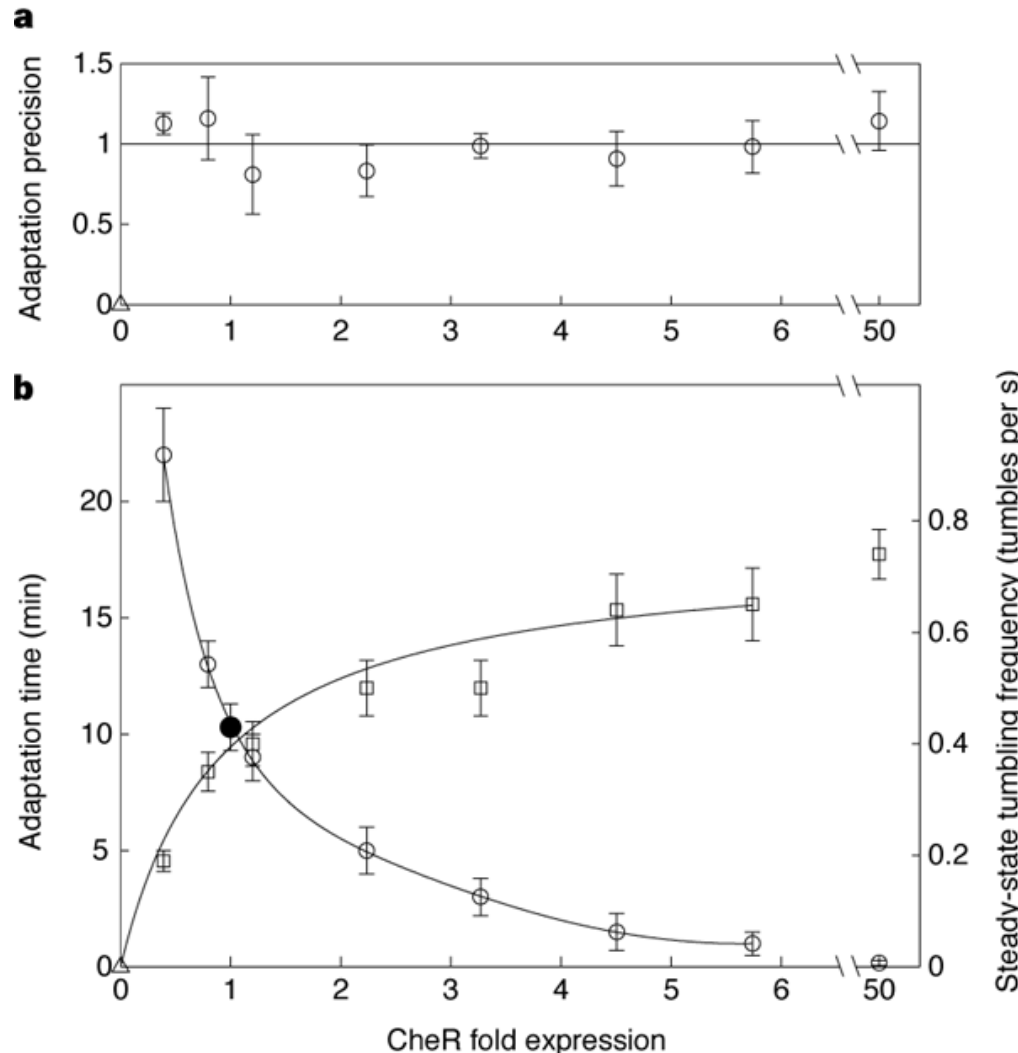
# Basic chemotaxis regulation network



# Robustness in bacterial chemotaxis



# Robustness in bacterial chemotaxis

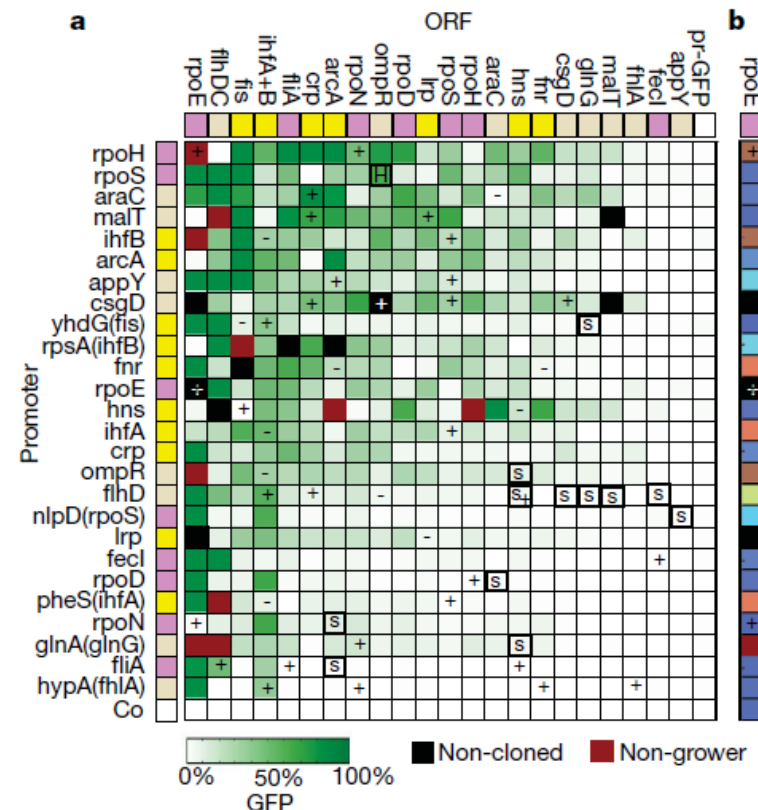
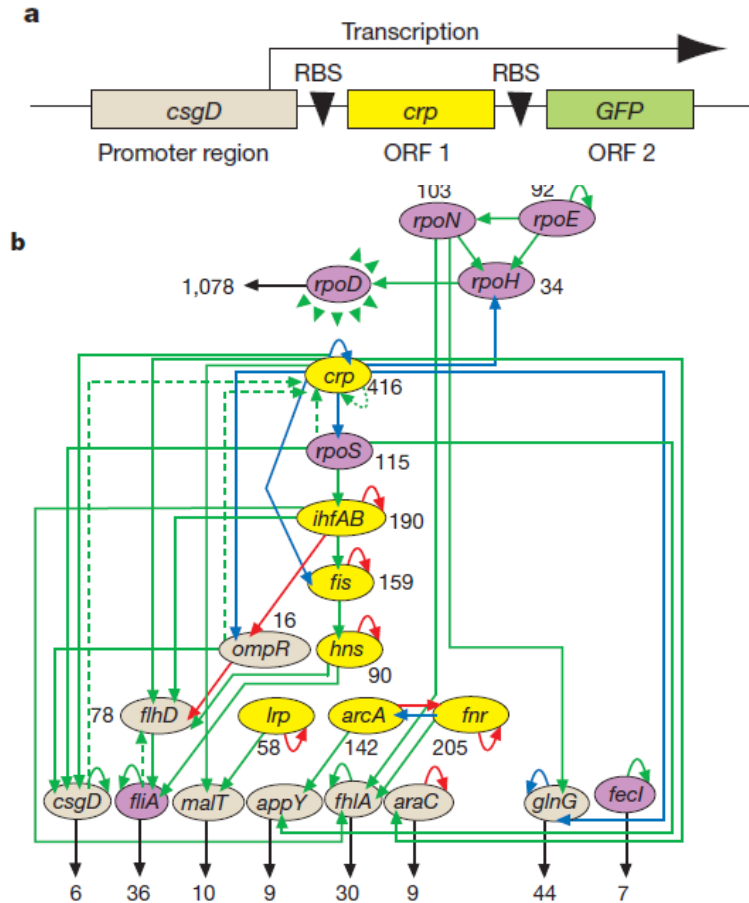


# Robustness of adaptation precision

Protein varied	Fold expression	Strain background	Steady-state tumbling frequency ( $s^{-1}$ )	Adaptation time (min)	Precision of adaptation
Wild type	1.0	Wild type	$0.44 \pm 0.03$	$10 \pm 1$	$0.98 \pm 0.05$
CheB*	$0.4 \pm 0.1$	$\Delta$ CheB	$0.66 \pm 0.05$	$7 \pm 1$	$0.98 \pm 0.12$
CheB*	$12 \pm 3$	$\Delta$ CheB	$0.14 \pm 0.02$	$15 \pm 1$	$1.09 \pm 0.11$
CheBc	$\sim 1$	$\Delta$ CheB	$0.74 \pm 0.06$	$9 \pm 2$	$0.90 \pm 0.13$
CheY	$0.2 \pm 0.1$	$\Delta$ CheY,Z	$0.24 \pm 0.04$	$11 \pm 3$	$1.04 \pm 0.08$
CheZ	0	$\Delta$ CheZ	$1.6 \pm 0.1$	$10 \pm 2$	$1.1 \pm 0.14$
Tar, Tap, CheR,B,Y,Z	$5 \pm 2$	Wild type	$0.30 \pm 0.06$	$3 \pm 1$	$1.04 \pm 0.07$

# Rewiring a cellular network

- Almost all network variants grow well



# New connections provide “improved” properties

- Selection of advantageous connections by repeated exposure to a particular stress

